

チャシャ地区IP測定データ

A18	8	9	3	4	4	1.20	-57.43	1.22	1.14	1.07	1.01	0.95	0.87	0.78	0.71	0.63	0.57	14	1804
A18	6	7	4	5	1	0.70	-618.77	7.77	7.38	6.92	6.51	6.00	5.60	5.06	4.55	4.29	4.02	9	1666
A18	7	8	4	5	2	1.00	-214.78	2.11	1.94	1.79	1.69	1.54	1.38	1.27	1.15	0.99	0.92	6	1619
A18	8	9	4	5	3	1.20	-143.85	3.38	3.18	2.99	2.81	2.64	2.42	2.20	1.98	1.79	1.64	16	2260
A18	9	10	4	5	4	0.80	-38.72	2.01	1.92	1.85	1.80	1.68	1.51	1.41	1.31	1.23	1.16	38	1825
A18	7	8	5	6	1	1.00	-628.91	5.20	4.77	4.39	4.13	3.77	3.30	3.01	2.70	2.30	2.10	5	1185
A18	8	9	5	6	2	1.20	-271.15	5.28	4.94	4.63	4.36	4.08	3.73	3.38	3.03	2.71	2.45	13	1704
A18	9	10	5	6	3	0.80	-64.30	3.16	3.03	2.89	2.78	2.60	2.38	2.24	2.10	1.97	1.85	36	1515
A18	10	11	5	6	4	0.90	-30.16	1.73	1.66	1.58	1.52	1.42	1.32	1.23	1.15	1.07	0.99	43	1263
A18	8	9	6	7	1	1.20	-344.03	6.37	5.98	5.60	5.26	4.89	4.47	4.07	3.63	3.24	2.92	12	540
A18	9	10	6	7	2	0.80	-34.81	1.50	1.43	1.36	1.30	1.21	1.12	1.04	0.96	0.90	0.84	31	328
A18	10	11	6	7	3	0.90	-12.12	0.28	0.25	0.23	0.21	0.18	0.15	0.11	0.08	0.06	0.04	11	254
A18	11	12	6	7	4	1.00	-80.50	4.56	4.32	4.11	3.95	3.67	3.37	3.15	2.90	2.66	2.49	41	3035
A18	9	10	7	8	1	0.80	-117.04	4.58	4.36	4.15	3.96	3.69	3.42	3.17	2.94	2.74	2.57	28	276
A18	10	11	7	8	2	0.90	-27.59	1.30	1.24	1.18	1.13	1.06	0.98	0.90	0.84	0.79	0.74	34	231
A18	11	12	7	8	3	1.00	-62.70	3.66	3.47	3.29	3.15	2.94	2.70	2.52	2.33	2.14	2.00	42	1182
A18	12	13	7	8	4	1.00	-4.60	0.26	0.25	0.25	0.24	0.22	0.21	0.20	0.18	0.17	0.15	44	174
A18	10	11	8	9	1	0.90	-185.13	9.06	8.59	8.17	7.79	7.28	6.69	6.18	5.75	5.36	5.01	35	388
A18	11	12	8	9	2	1.00	-12.06	0.67	0.64	0.61	0.58	0.54	0.51	0.47	0.44	0.41	0.37	41	91
A18	12	13	8	9	3	1.00	-22.72	1.10	1.03	0.98	0.93	0.84	0.73	0.64	0.57	0.50	0.43	31	428
A18	13	14	8	9	4	1.00	-2.33	0.19	0.18	0.17	0.16	0.15	0.14	0.14	0.13	0.12	0.11	60	88
A18	11	12	9	10	1	1.00	-392.28	13.69	13.00	12.32	11.78	10.94	10.05	9.22	8.53	7.95	7.28	25	739
A18	12	13	9	10	2	1.00	-105.94	4.16	3.96	3.82	3.68	3.44	3.16	2.96	2.76	2.59	2.42	29	799
A18	13	14	9	10	3	1.00	-67.62	4.19	3.98	3.82	3.62	3.44	3.22	2.96	2.71	2.53	2.33	45	1275
A18	14	15	9	10	4	1.20	-31.44	2.00	1.91	1.87	1.76	1.63	1.52	1.41	1.30	1.25	1.17	47	988
A18	12	13	10	11	1	1.00	-134.95	1.59	1.48	1.41	1.35	1.23	1.08	0.98	0.88	0.80	0.72	8	254
A18	13	14	10	11	2	1.00	-143.16	7.24	6.89	6.60	6.26	5.94	5.55	5.06	4.65	4.34	4.00	37	1079
A18	14	15	10	11	3	1.20	-35.10	1.61	1.52	1.48	1.40	1.30	1.20	1.11	1.03	0.97	0.91	33	551
A18	15	16	10	11	4	1.00	-4.09	0.15	0.15	0.16	0.17	0.13	0.05	0.01	0.02	0.07	0.11	20	154
A18	13	14	11	12	1	1.00	-123.44	2.95	2.79	2.65	2.51	2.34	2.15	1.95	1.79	1.66	1.51	17	233
A18	14	15	11	12	2	1.20	-52.10	1.60	1.51	1.44	1.36	1.26	1.16	1.06	0.98	0.92	0.85	22	327
A18	15	16	11	12	3	1.00	-5.27	0.14	0.13	0.13	0.12	0.11	0.09	0.07	0.07	0.07	0.06	17	99
A18	16	17	11	12	4	1.00	-20.42	0.67	0.63	0.60	0.58	0.54	0.50	0.47	0.43	0.38	0.37	24	770
A18	14	15	12	13	1	1.20	-77.06	0.97	0.89	0.83	0.79	0.72	0.65	0.59	0.54	0.50	0.44	8	121
A18	15	16	12	13	2	1.00	-6.49	0.06	0.05	0.04	0.04	0.04	0.03	0.03	0.03	0.03	0.02	5	49
A18	16	17	12	13	3	1.00	-20.92	0.36	0.34	0.33	0.31	0.28	0.25	0.23	0.22	0.20	0.19	12	394
A18	17	18	12	13	4	0.70	-7.36	0.42	0.41	0.40	0.39	0.37	0.35	0.34	0.32	0.31	0.30	47	397
A18	15	16	13	14	1	1.00	-91.23	0.16	0.11	0.09	0.06	0.03	0.01	0.04	0.06	0.08	0.10	1	172
A18	16	17	13	14	2	1.00	-154.29	0.54	0.49	0.44	0.40	0.32	0.28	0.22	0.19	0.16	0.13	2	1163
A18	17	18	13	14	3	0.70	-44.04	0.91	0.86	0.82	0.80	0.76	0.72	0.68	0.63	0.60	0.58	16	1186
A18	18	19	13	14	4	0.80	-36.45	0.97	0.89	0.83	0.80	0.68	0.60	0.67	0.74	0.70	0.60	19	1717
A18	16	17	14	15	1	1.00	-271.79	0.58	0.51	0.44	0.38	0.28	0.22	0.15	0.10	0.07	0.02	1	512
A18	17	18	14	15	2	0.70	-62.39	1.08	1.02	0.97	0.92	0.84	0.75	0.69	0.64	0.59	0.54	12	672
A18	18	19	14	15	3	0.80	-46.77	1.32	1.24	1.17	1.12	1.02	0.94	0.88	0.81	0.73	0.70	20	1102
A18	19	20	14	15	4	1.00	-9.16	0.05	0.05	0.02	0.01	0.00	0.00	0.02	0.01	0.00	0.00	1	345
A18	17	18	15	16	1	0.70	-57.03	1.47	0.97	0.75	0.77	1.13	1.29	0.71	0.21	0.93	0.75	14	154
A18	18	19	15	16	2	0.80	-23.36	0.64	0.60	0.57	0.54	0.50	0.47	0.43	0.39	0.36	0.34	19	220

チャシャ地区IP測定データ

A18	19	20	15	16	3	1.00	-4.06	0.02	0.02	0.01	0.01	0.01	0.00	0.00	0.01	0.00	0.00	1	77
A18	20	21	15	16	4	1.00	-2.38	0.02	0.02	0.02	0.02	0.02	0.02	0.01	0.01	0.01	0.01	7	90
A18	18	19	16	17	1	0.80	-137.02	6.12	5.99	5.86	5.65	5.34	5.28	5.31	5.40	5.55	5.46	40	323
A18	19	20	16	17	2	1.00	-49.87	0.72	0.68	0.64	0.61	0.55	0.47	0.44	0.41	0.35	0.30	9	376
A18	20	21	16	17	3	1.00	-25.00	0.57	0.55	0.54	0.51	0.46	0.42	0.38	0.36	0.33	0.31	16	471
A18	21	22	16	17	4	1.00	-22.92	0.30	0.30	0.27	0.25	0.21	0.21	0.18	0.18	0.17	0.15	9	864
A18	19	20	17	18	1	1.00	-136.61	0.75	0.68	0.62	0.56	0.50	0.40	0.34	0.28	0.21	0.16	3	257
A18	20	21	17	18	2	1.00	-43.52	0.89	0.85	0.82	0.79	0.73	0.68	0.63	0.57	0.51	0.48	15	328
A18	21	22	17	18	3	1.00	-39.96	0.34	0.33	0.29	0.28	0.24	0.22	0.20	0.17	0.15	0.14	5	753
A18	22	23	17	18	4	1.00	-71.34	1.14	1.19	1.26	1.27	1.12	0.89	0.81	0.79	0.77	0.74	13	2689
A18	20	21	18	19	1	1.00	-102.43	0.70	0.68	0.65	0.64	0.61	0.57	0.53	0.47	0.43	0.42	5	193
A18	21	22	18	19	2	1.00	-83.32	0.56	0.53	0.53	0.51	0.50	0.47	0.45	0.45	0.43	0.41	6	628
A18	22	23	18	19	3	1.00	-75.84	0.77	0.76	0.74	0.73	0.72	0.71	0.67	0.65	0.63	0.63	9	1430
A18	23	24	18	19	4	1.00	-18.41	0.22	0.21	0.21	0.20	0.19	0.18	0.19	0.18	0.17	0.17	10	694
A18	21	22	19	20	1	1.00	-79.50	0.44	0.44	0.44	0.43	0.43	0.43	0.43	0.43	0.41	0.40	3	150
A18	22	23	19	20	2	1.00	-32.53	0.57	0.55	0.53	0.52	0.50	0.48	0.46	0.43	0.41	0.40	14	245
A18	23	24	19	20	3	1.00	-18.19	0.27	0.26	0.25	0.24	0.23	0.22	0.22	0.21	0.20	0.19	12	343
A18	24	25	19	20	4	0.90	-9.72	0.02	0.02	0.02	0.02	0.01	0.01	0.01	0.02	0.01	0.01	1	407
A18	22	23	20	21	1	1.00	-46.87	0.64	0.64	0.66	0.66	0.65	0.63	0.63	0.62	0.57	0.52	13	88
A18	23	24	20	21	2	1.00	-20.00	0.29	0.28	0.27	0.26	0.25	0.24	0.24	0.23	0.22	0.21	12	151
A18	24	25	20	21	3	0.90	-9.77	0.01	0.01	0.01	0.01	0.01	0.00	0.00	0.00	0.00	0.00	1	205
A18	25	26	20	21	4	0.80	-6.13	0.05	0.05	0.04	0.04	0.05	0.05	0.04	0.03	0.04	0.03	6	289
A18	23	24	21	22	1	1.00	-102.58	0.61	0.61	0.61	0.61	0.60	0.61	0.60	0.60	0.58	0.56	6	193
A18	24	25	21	22	2	0.90	-35.13	0.52	0.49	0.46	0.45	0.42	0.38	0.35	0.33	0.30	0.28	11	294
A18	25	26	21	22	3	0.80	-14.03	0.19	0.18	0.17	0.16	0.16	0.14	0.13	0.11	0.11	0.10	10	331
A18	26	27	21	22	4	0.70	-7.09	0.33	0.31	0.29	0.28	0.26	0.24	0.23	0.22	0.20	0.18	33	382
A18	24	25	22	23	1	0.90	-157.93	2.08	1.97	1.88	1.79	1.68	1.54	1.43	1.33	1.25	1.17	9	331
A18	25	26	22	23	2	0.80	-52.69	0.67	0.64	0.60	0.57	0.52	0.47	0.42	0.39	0.36	0.33	9	497
A18	26	27	22	23	3	0.70	-22.27	0.99	0.94	0.89	0.84	0.78	0.72	0.66	0.62	0.57	0.53	31	600
A18	27	28	22	23	4	0.70	-10.71	0.27	0.25	0.22	0.21	0.20	0.17	0.15	0.14	0.12	0.10	15	577
A18	25	26	23	24	1	0.80	-162.26	0.76	0.72	0.67	0.63	0.55	0.48	0.42	0.37	0.34	0.29	3	382
A18	26	27	23	24	2	0.70	-54.85	2.02	1.91	1.80	1.71	1.60	1.47	1.35	1.25	1.16	1.08	26	591
A18	27	28	23	24	3	0.70	-21.35	0.37	0.33	0.30	0.28	0.26	0.21	0.18	0.16	0.13	0.11	10	575
A18	28	29	23	24	4	0.70	-17.95	0.38	0.36	0.34	0.31	0.29	0.27	0.25	0.22	0.21	0.18	14	967
A18	26	27	24	25	1	0.70	-140.26	5.41	5.02	4.68	4.40	4.02	3.66	3.53	3.35	3.09	2.89	26	378
A18	27	28	24	25	2	0.70	-40.76	0.86	0.79	0.74	0.69	0.64	0.57	0.51	0.46	0.42	0.38	13	439
A18	28	29	24	25	3	0.70	-27.30	0.52	0.50	0.46	0.43	0.39	0.35	0.32	0.28	0.26	0.23	12	735
A18	29	30	24	25	4	0.60	-18.60	0.40	0.36	0.33	0.32	0.31	0.27	0.23	0.20	0.19	0.17	13	1169
A18	27	28	25	26	1	0.70	-163.70	2.06	1.88	1.73	1.59	1.43	1.23	1.07	0.94	0.86	0.76	7	441
A18	28	29	25	26	2	0.70	-66.46	1.09	1.02	0.95	0.90	0.83	0.73	0.66	0.60	0.54	0.49	11	716
A18	29	30	25	26	3	0.60	-38.69	0.69	0.61	0.56	0.52	0.48	0.40	0.34	0.29	0.27	0.24	10	1215
A18	28	29	26	27	1	0.70	-170.83	1.41	1.28	1.13	1.07	1.01	0.87	0.77	0.69	0.59	0.52	5	460
A18	29	30	26	27	2	0.60	-78.66	0.25	0.32	0.40	0.46	0.52	0.59	0.64	0.68	0.71	0.74	8	988
A18	29	30	27	28	1	0.60	-687.00	19.47	20.46	21.30	22.01	22.78	23.50	23.90	24.05	24.03	23.89	34	2158



ターチャウ地区IP測定データ

Table with 20 columns: Line, C1, C2, P1, P2, n, I(A), VO(mV), and 15 numerical columns, plus IP(mVs/V) and Res(ohm-m). Rows are labeled M1, M2.

(120)























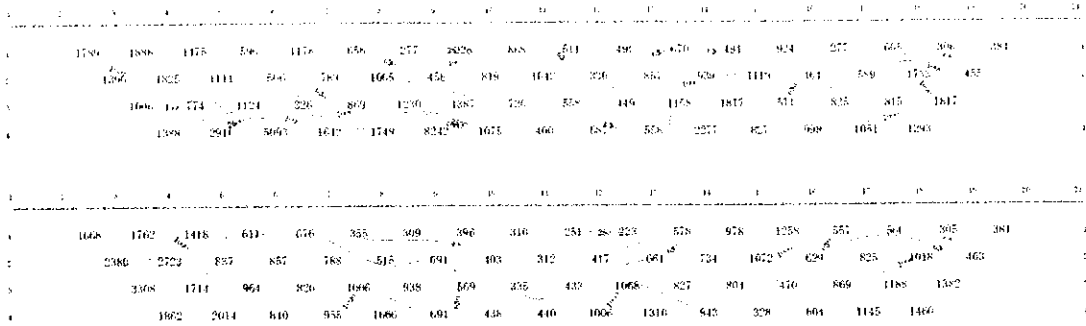


ターチョウ地区IP測定データ

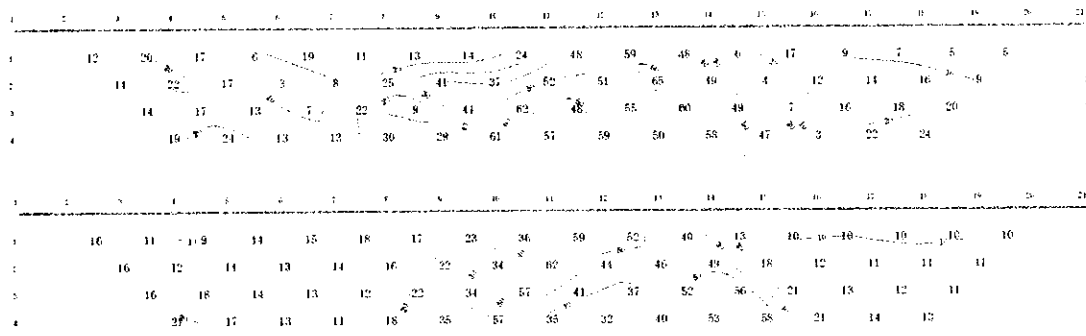
M10	19	20	14	15	4	0.80	-30.95	1.15	1.09	1.08	1.06	1.01	0.91	0.81	0.75	0.70	0.65	0.64	28	1459
M10	17	18	15	16	1	1.10	-425.29	19.43	18.41	17.53	16.75	15.76	14.52	13.42	12.50	11.71	10.99	10.28	33	729
M10	18	19	15	16	2	1.00	-188.36	5.53	5.22	4.95	4.73	4.35	3.92	3.57	3.25	3.00	2.80	2.56	20	1420
M10	19	20	15	16	3	0.80	-70.99	2.84	2.71	2.61	2.52	2.40	2.22	2.05	1.91	1.78	1.66	1.57	30	1673
M10	18	19	16	17	1	1.00	-460.67	16.50	15.57	14.76	14.02	12.97	11.87	10.91	9.97	9.23	8.65	8.00	25	868
M10	19	20	16	17	2	0.80	-108.42	2.87	2.72	2.59	2.48	2.32	2.11	1.93	1.81	1.68	1.55	1.47	19	1022
M10	19	20	17	18	1	0.40	-520.61	5.34	5.02	4.77	4.54	4.26	3.85	3.49	3.25	2.98	2.73	2.63	7	2453



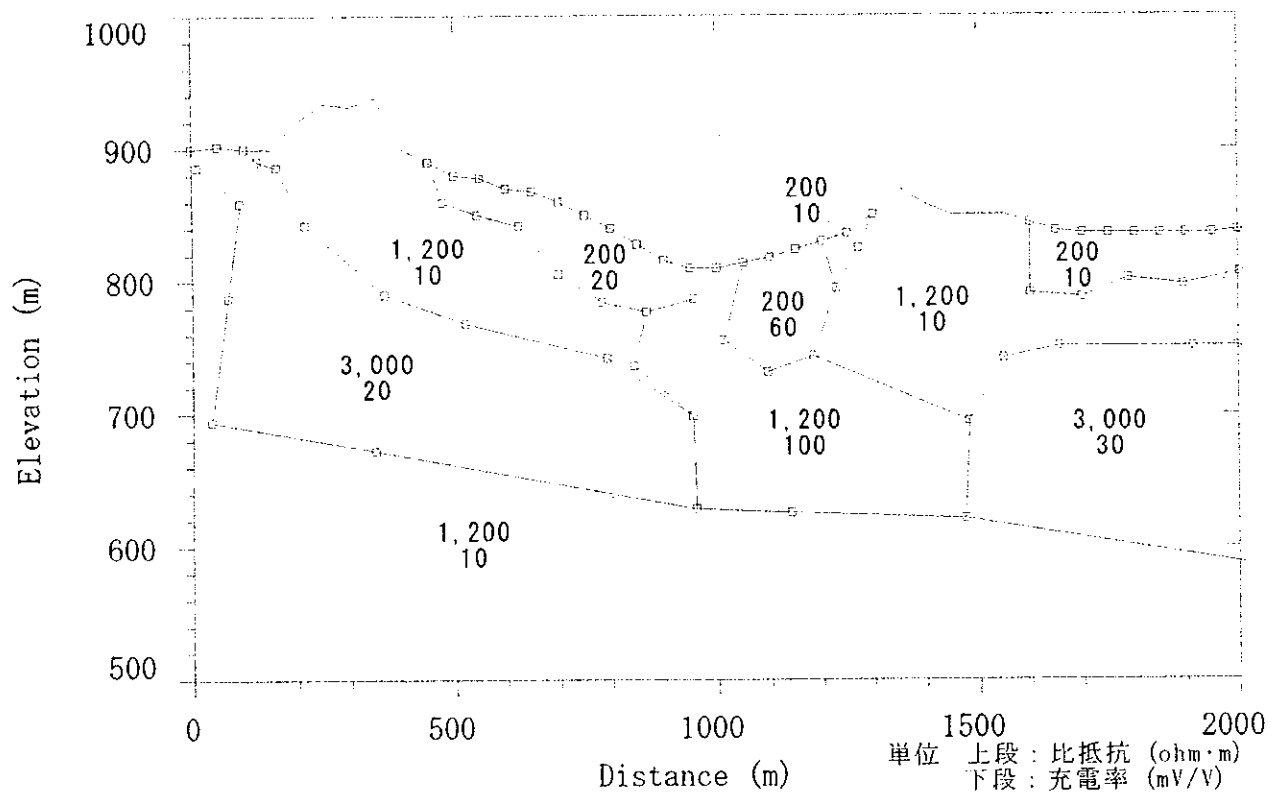
## 卷末資料 8 IP シミュレーション結果



A: 見掛比抵抗擬似断面  
 上段: 測定値  
 下段: モデル計算値

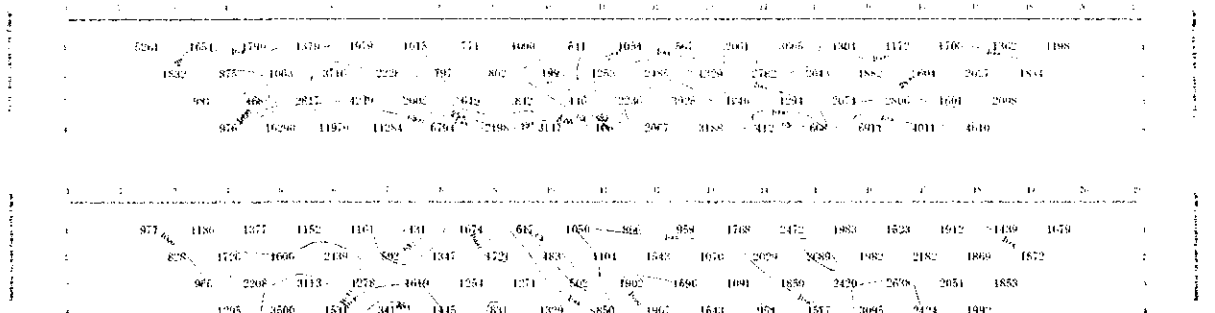


B: 充電率擬似断面  
 上段: 測定値  
 下段: モデル計算値

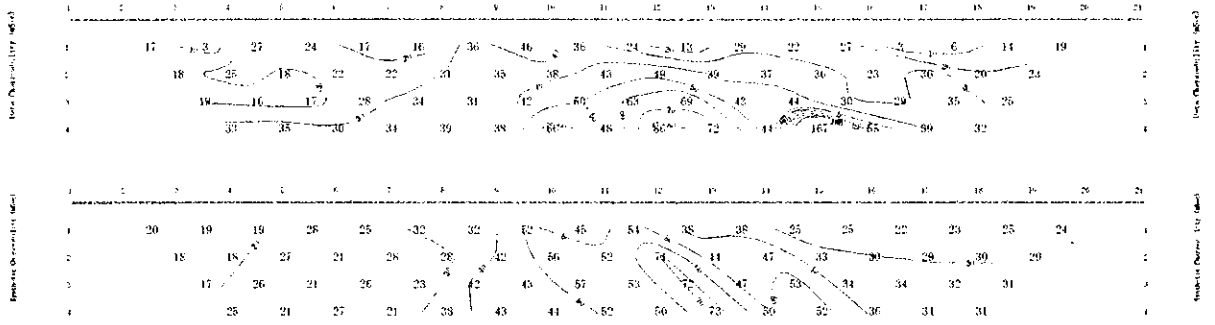


C: シミュレーションモデル

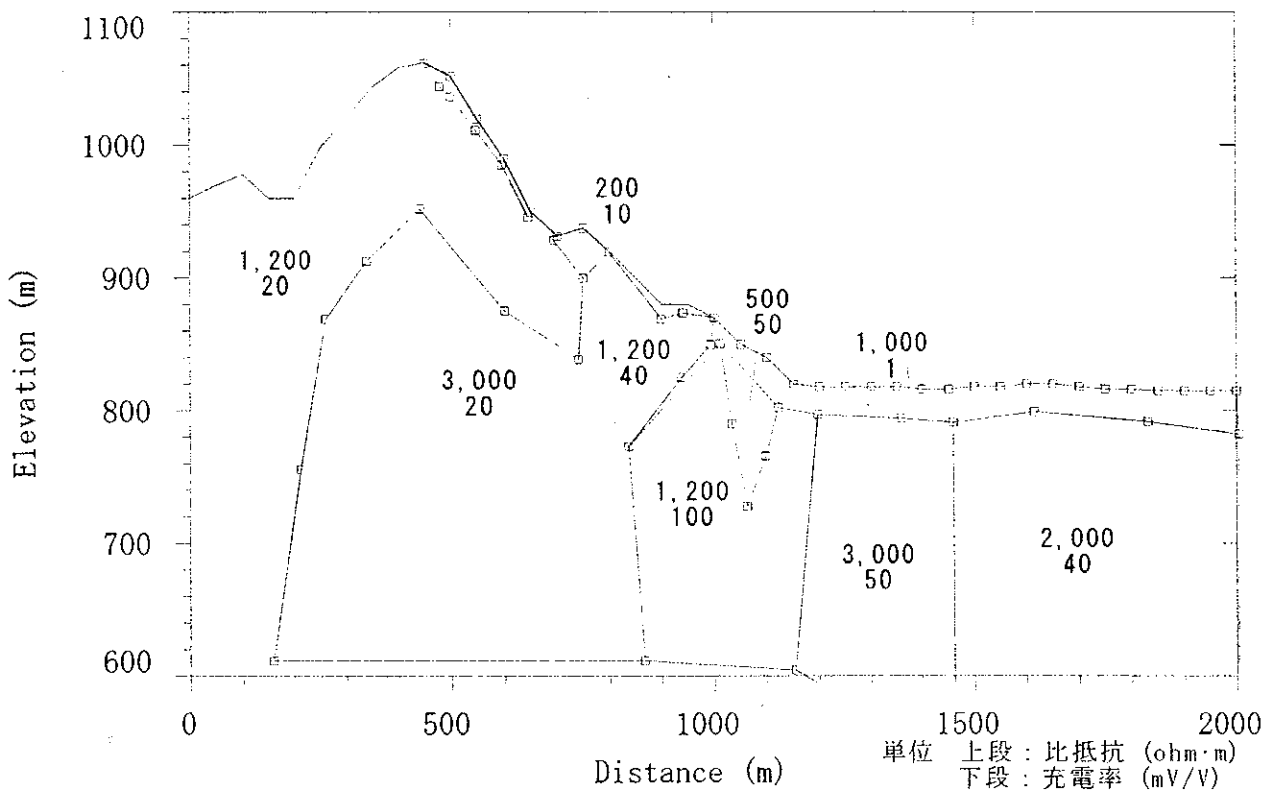
IP シミュレーション結果 (M1)



A: 見掛比抵抗擬似断面  
 上段: 測定値  
 下段: モデル計算値

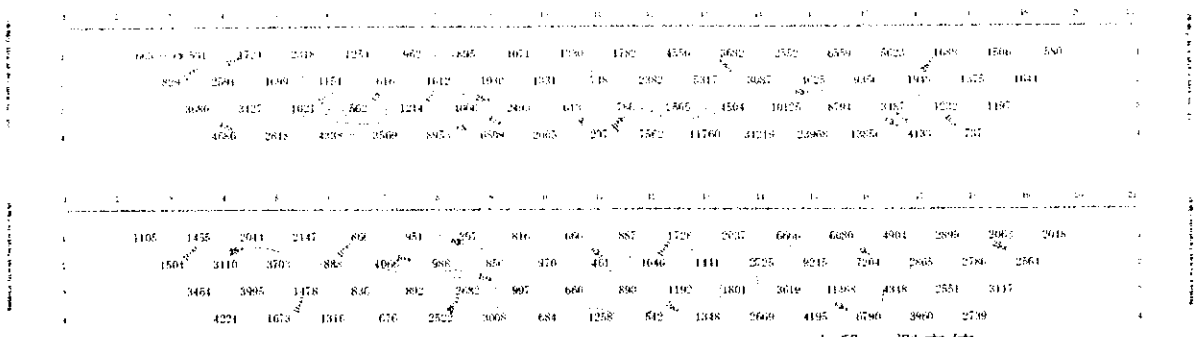


B: 充電率擬似断面  
 上段: 測定値  
 下段: モデル計算値



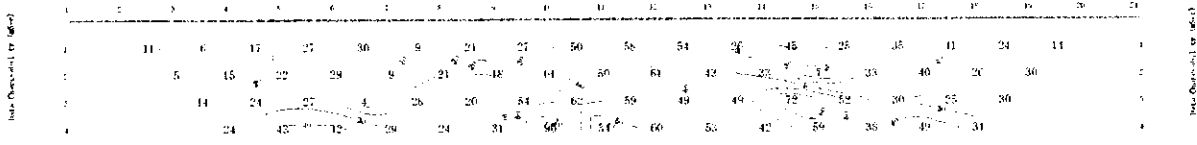
C: シュミレーションモデル

IPシュミレーション結果 (M2)



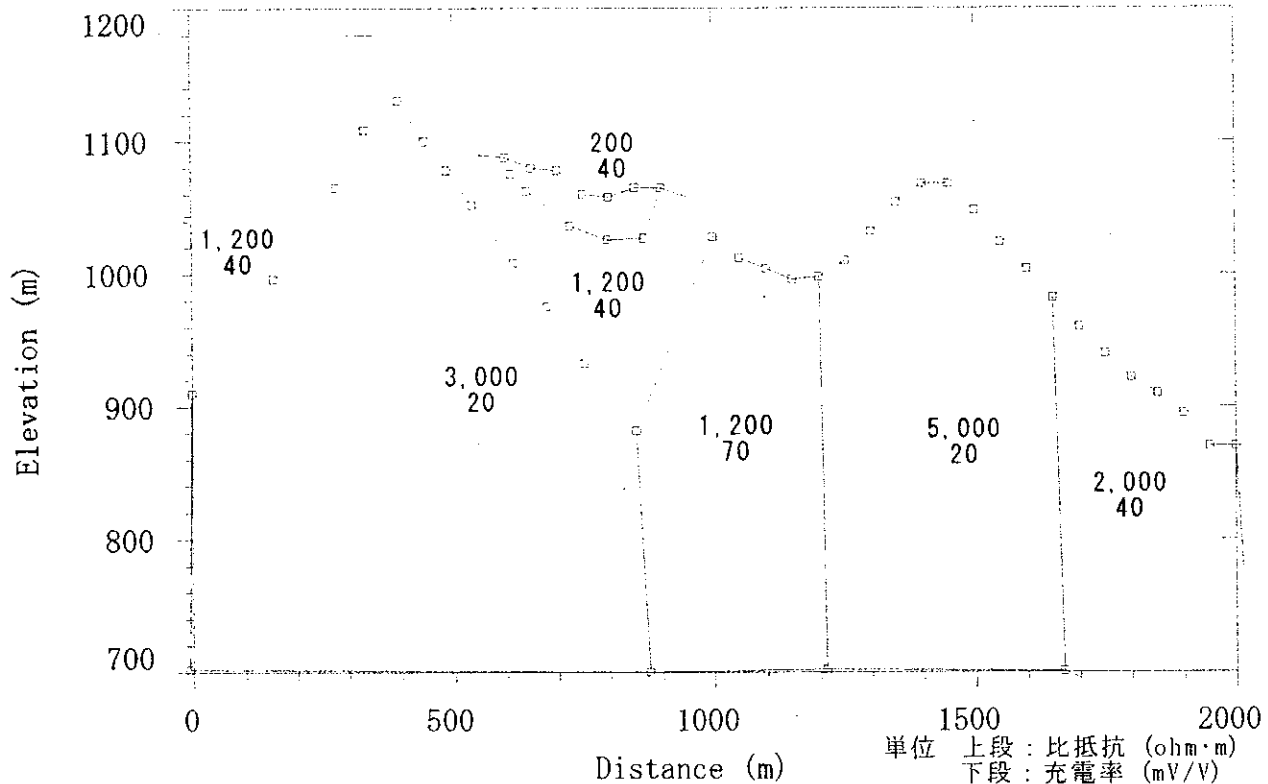
A: 見掛比抵抗擬似断面

上段: 測定値  
下段: モデル計算値



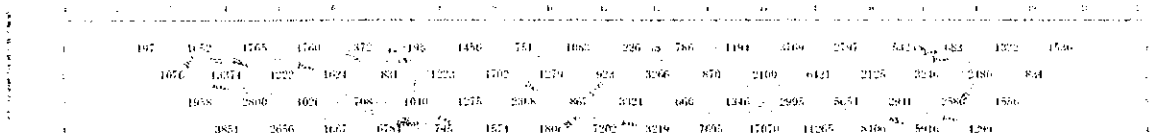
B: 充電率擬似断面

上段: 測定値  
下段: モデル計算値



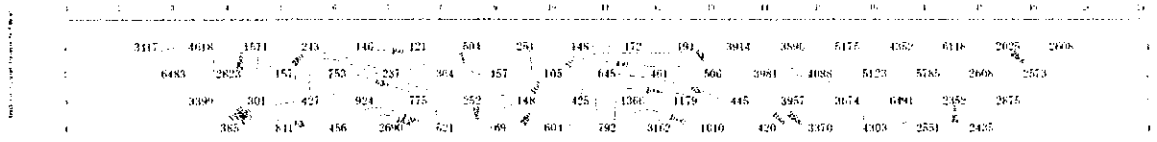
C: シミュレーションモデル

IP シミュレーション結果 (M3)



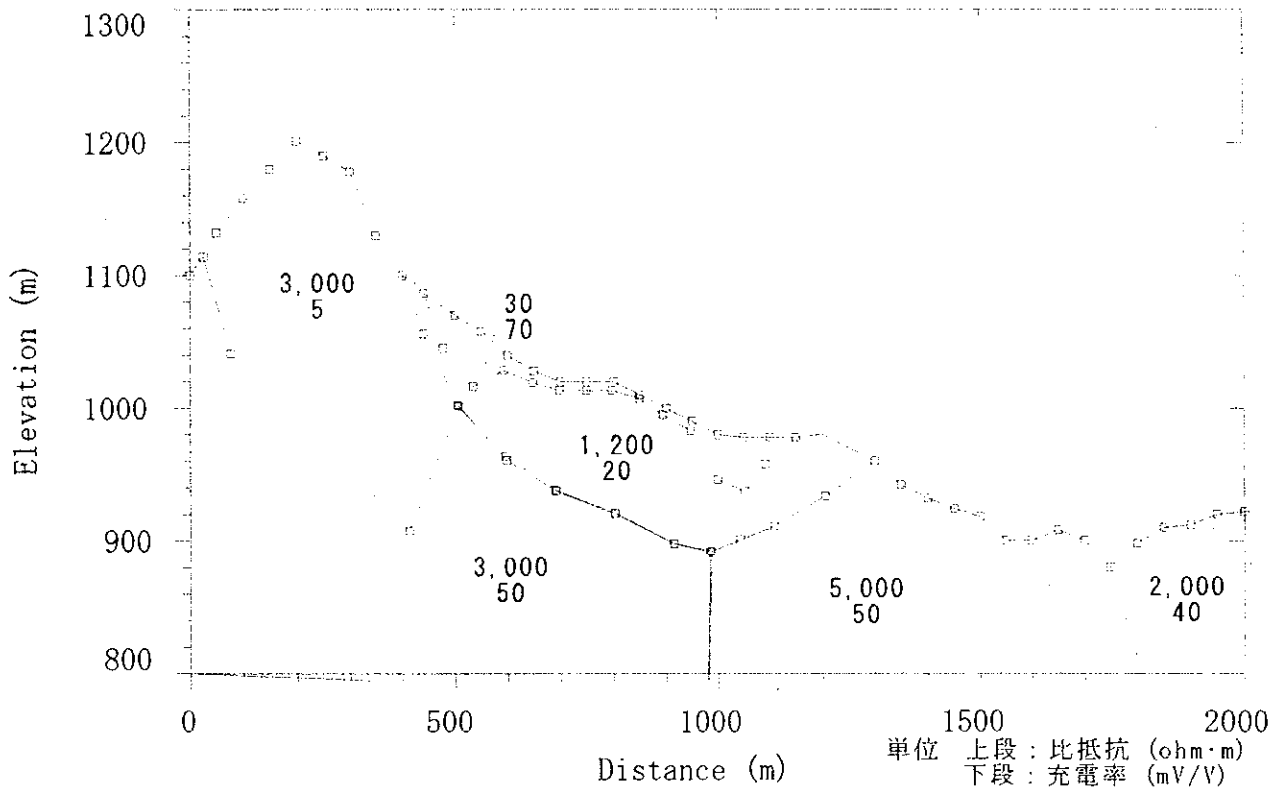
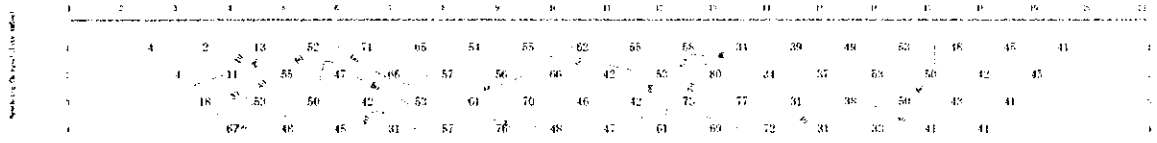
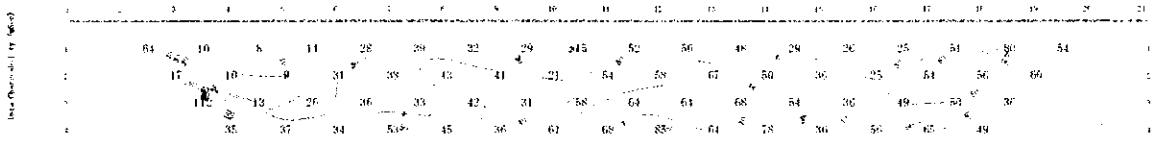
A: 見掛け比抵抗擬似断面

上段: 測定値  
下段: モデル計算値



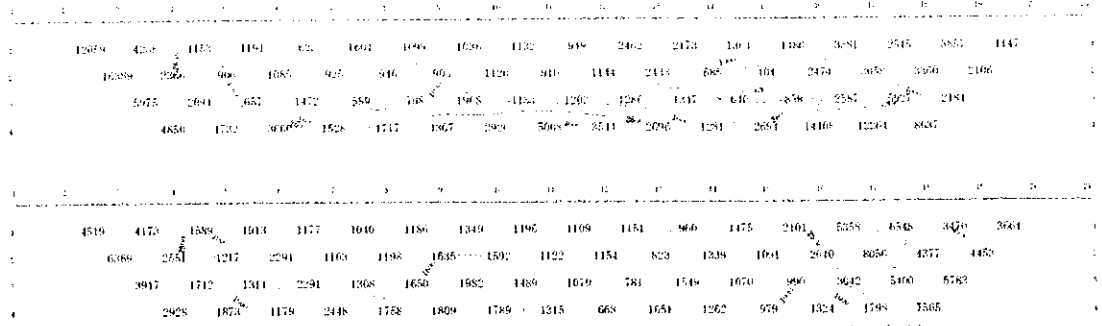
B: 充電率擬似断面

上段: 測定値  
下段: モデル計算値

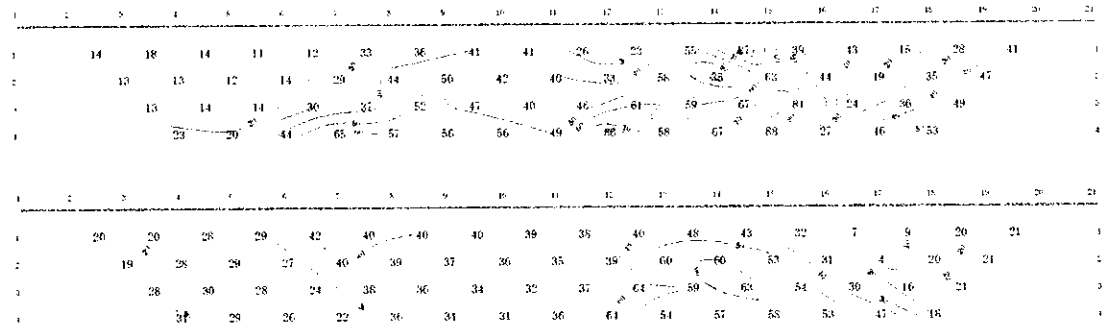


C: シミュレーションモデル

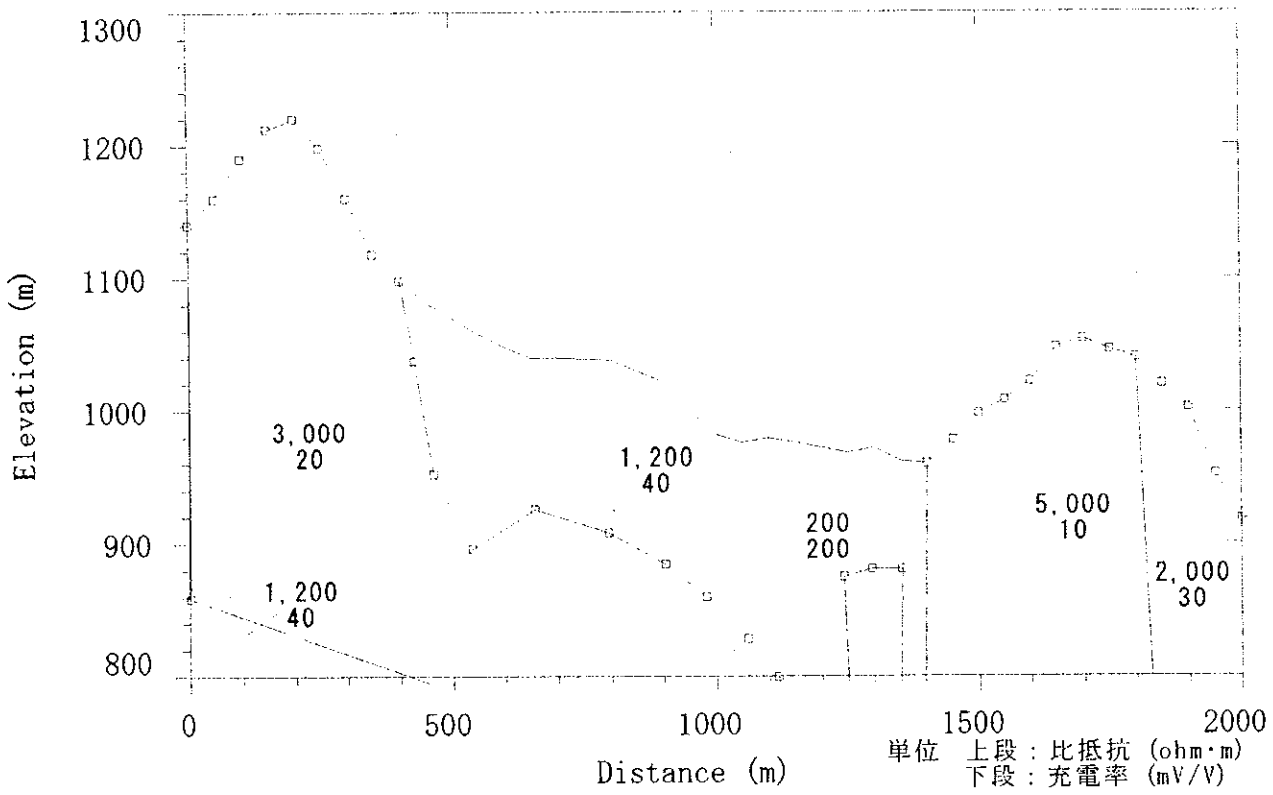
IPシミュレーション結果 (M4)



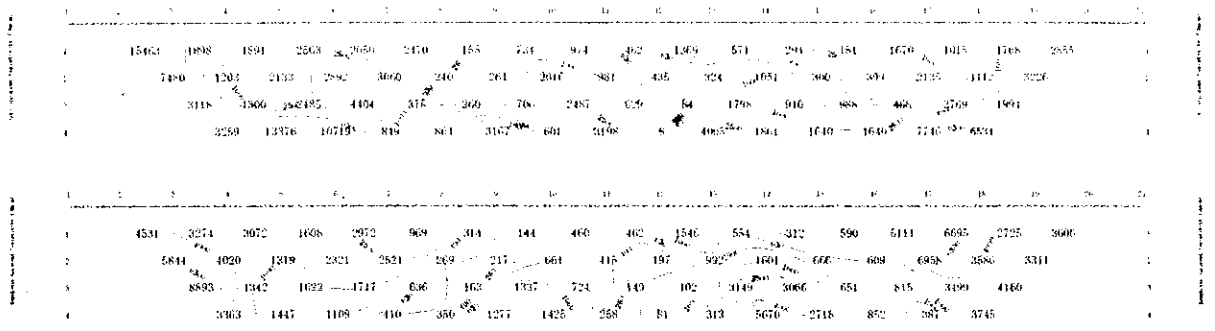
A: 見掛け比抵抗擬似断面  
 上段: 測定値  
 下段: モデル計算値



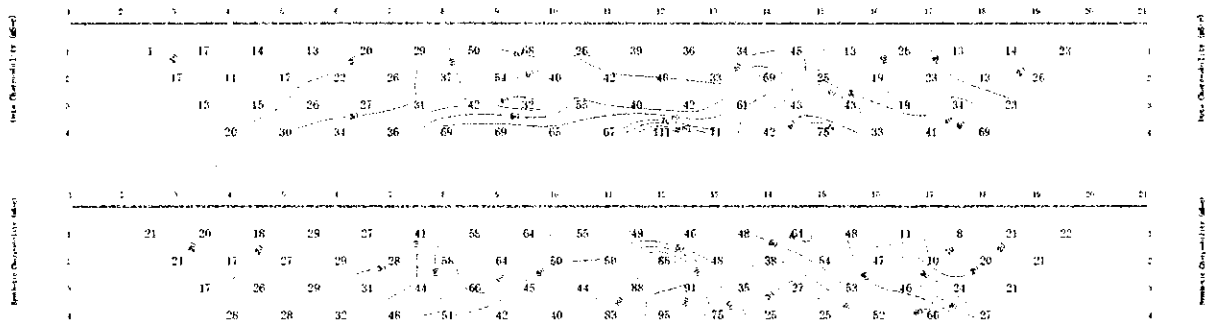
B: 充電率擬似断面  
 上段: 測定値  
 下段: モデル計算値



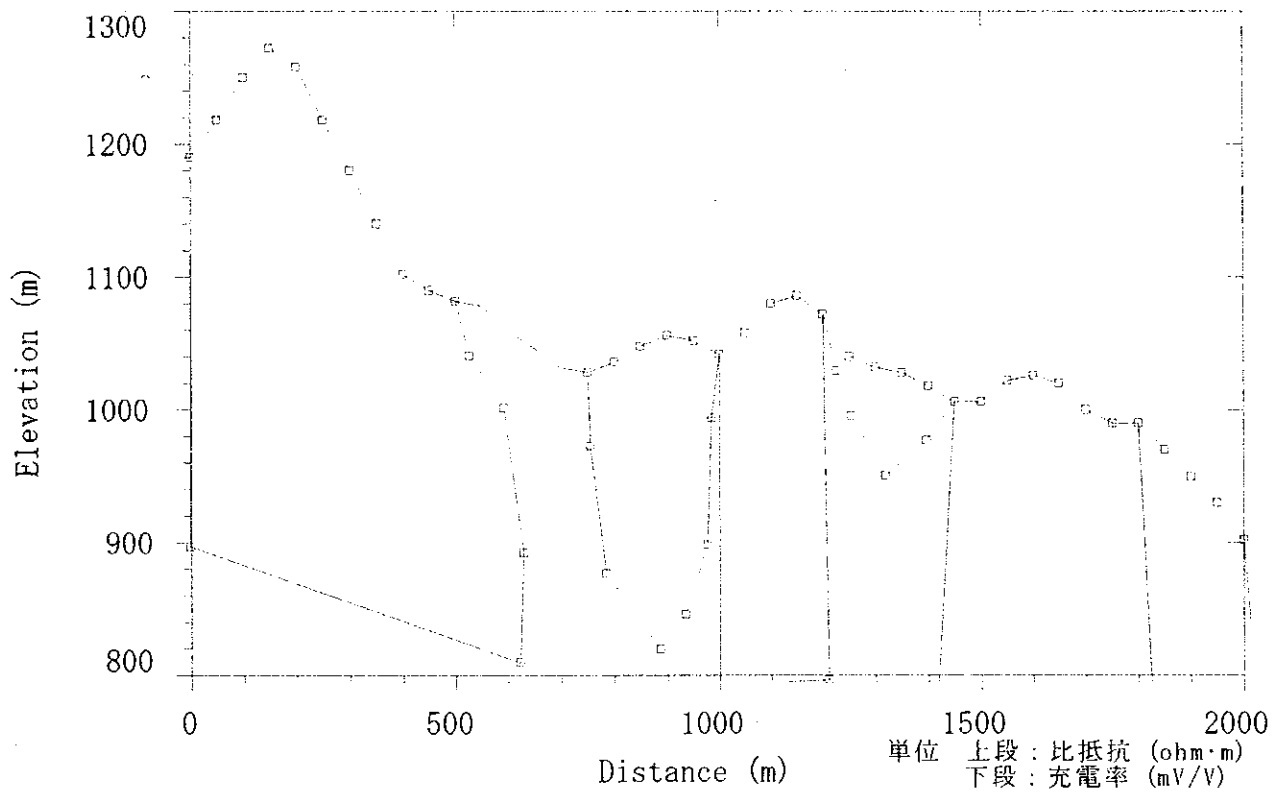
IPシュミレーション結果 (M5)



A: 見掛比抵抗擬似断面  
 上段: 測定値  
 下段: モデル計算値

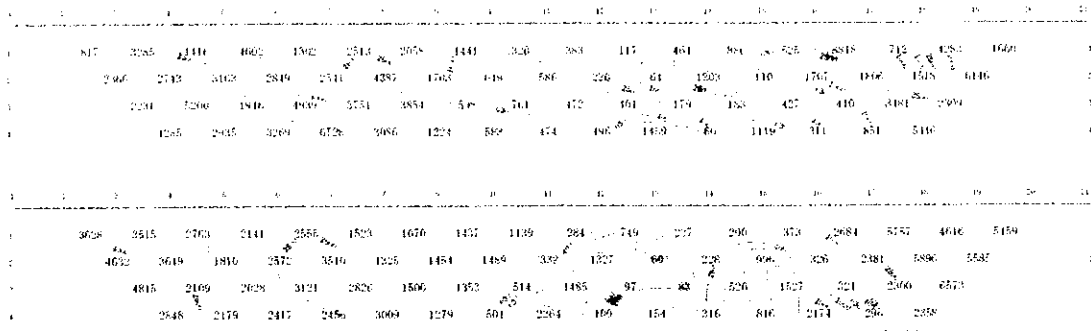


B: 見掛充電率擬似断面  
 上段: 測定値  
 下段: モデル計算値

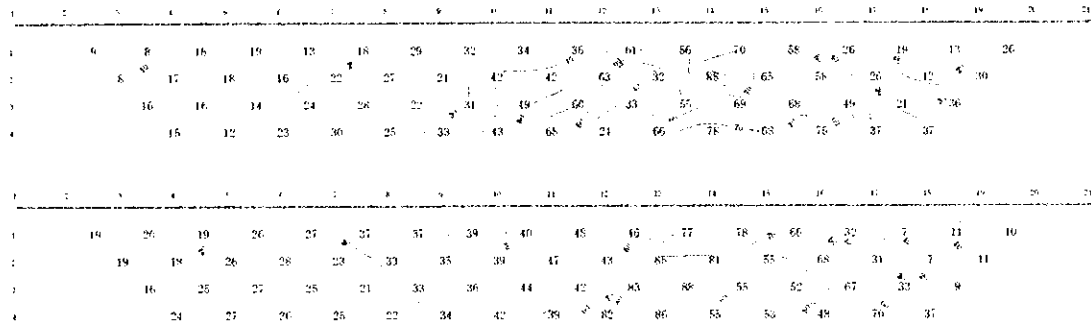


C: シュミレーションモデル

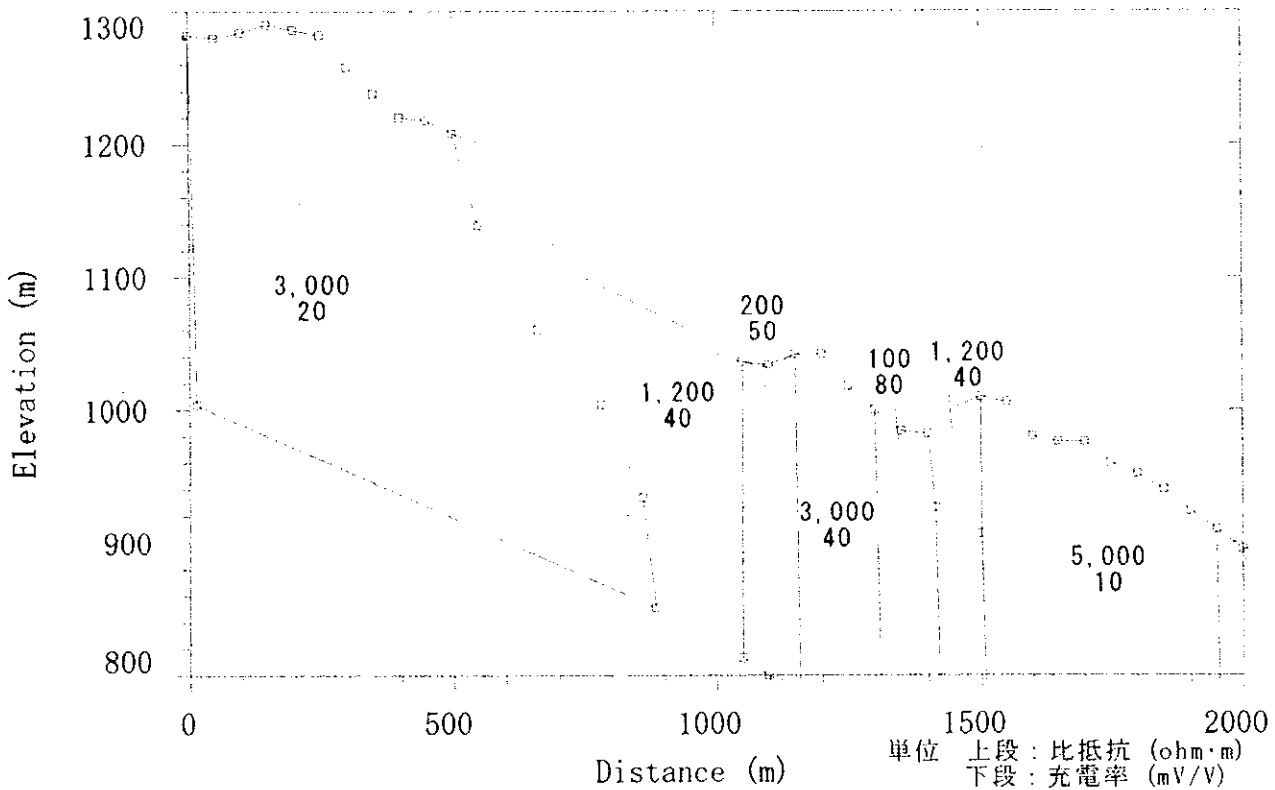
IPシュミレーション結果 (M6)



A: 見掛比抵抗擬似断面  
 上段: 測定値  
 下段: モデル計算値



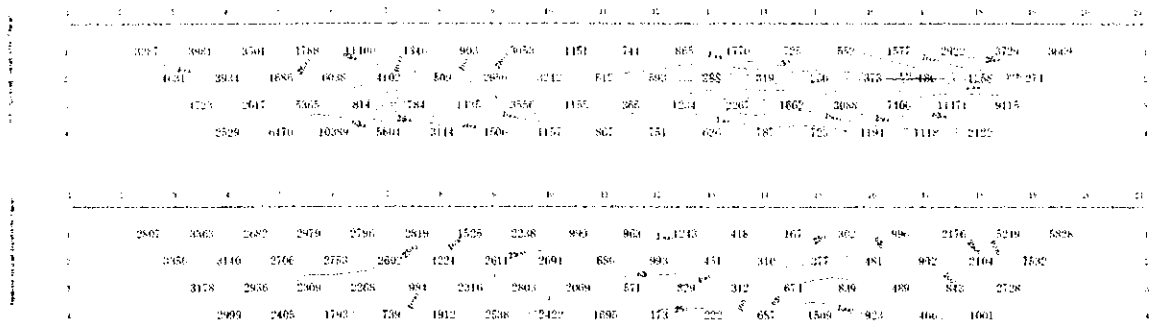
B: 充電率擬似断面  
 上段: 測定値  
 下段: モデル計算値



C: シミュレーションモデル

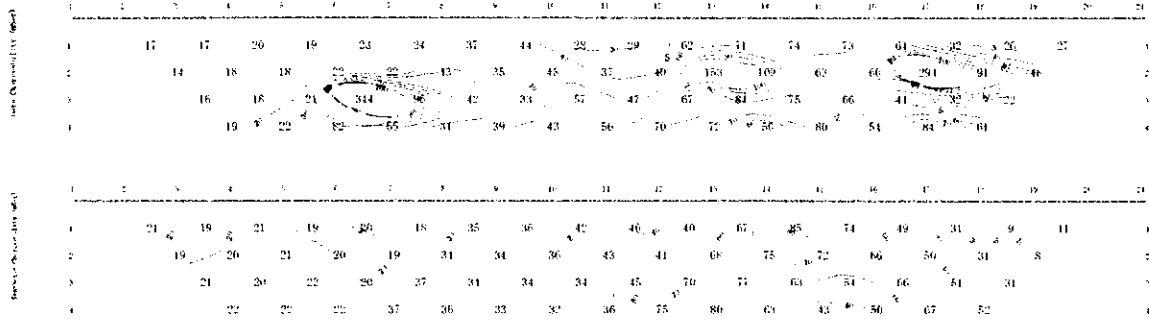
IP シミュレーション結果 (M7)





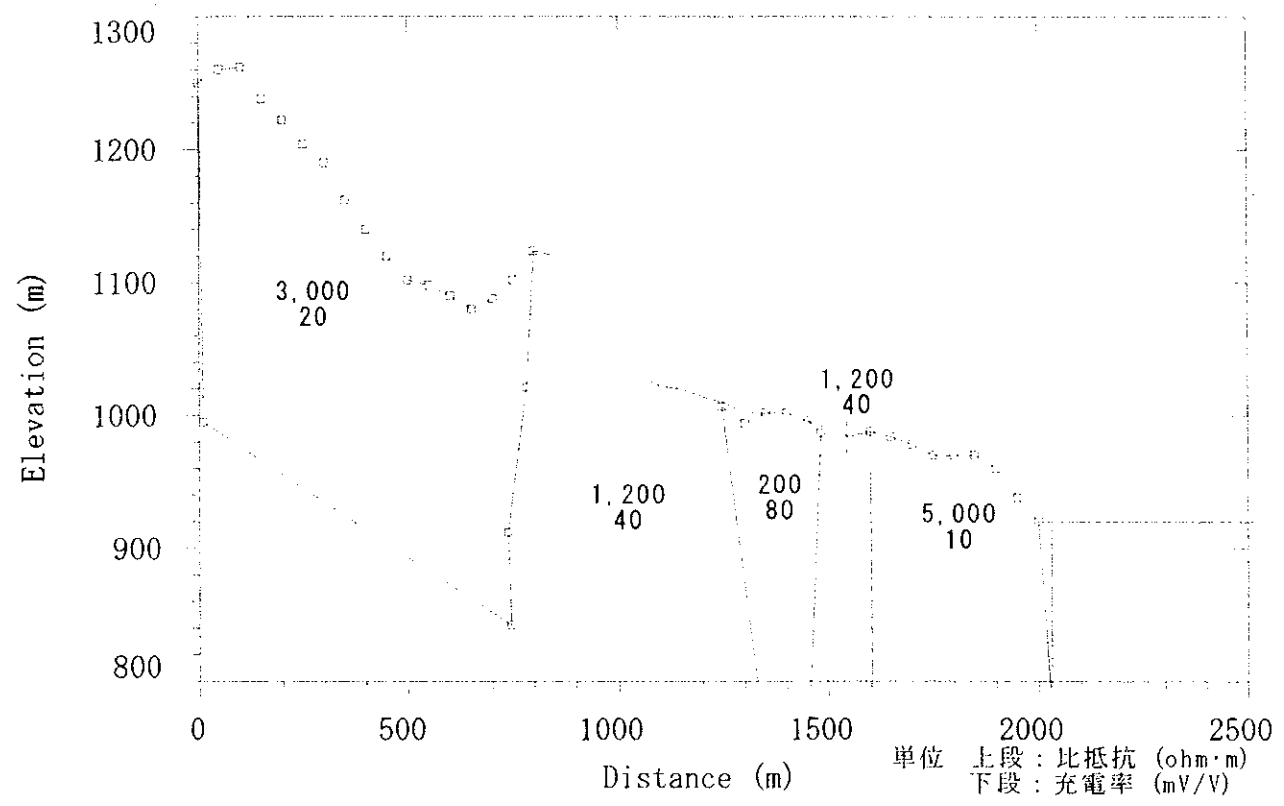
A: 見掛比抵抗擬似断面

上段: 測定値  
下段: モデル計算値



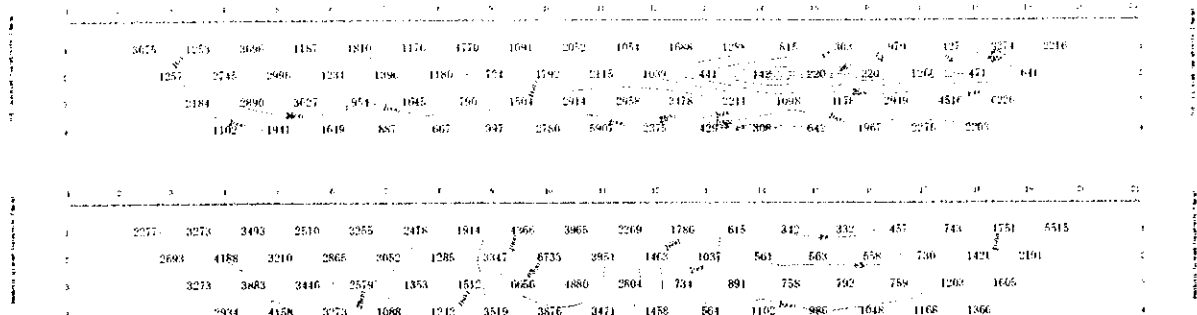
B: 充電率擬似断面

上段: 測定値  
下段: モデル計算値

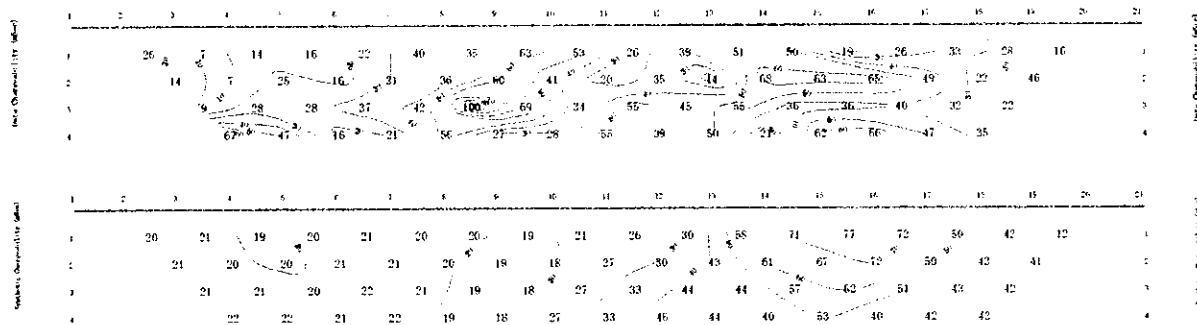


C: シュミレーションモデル

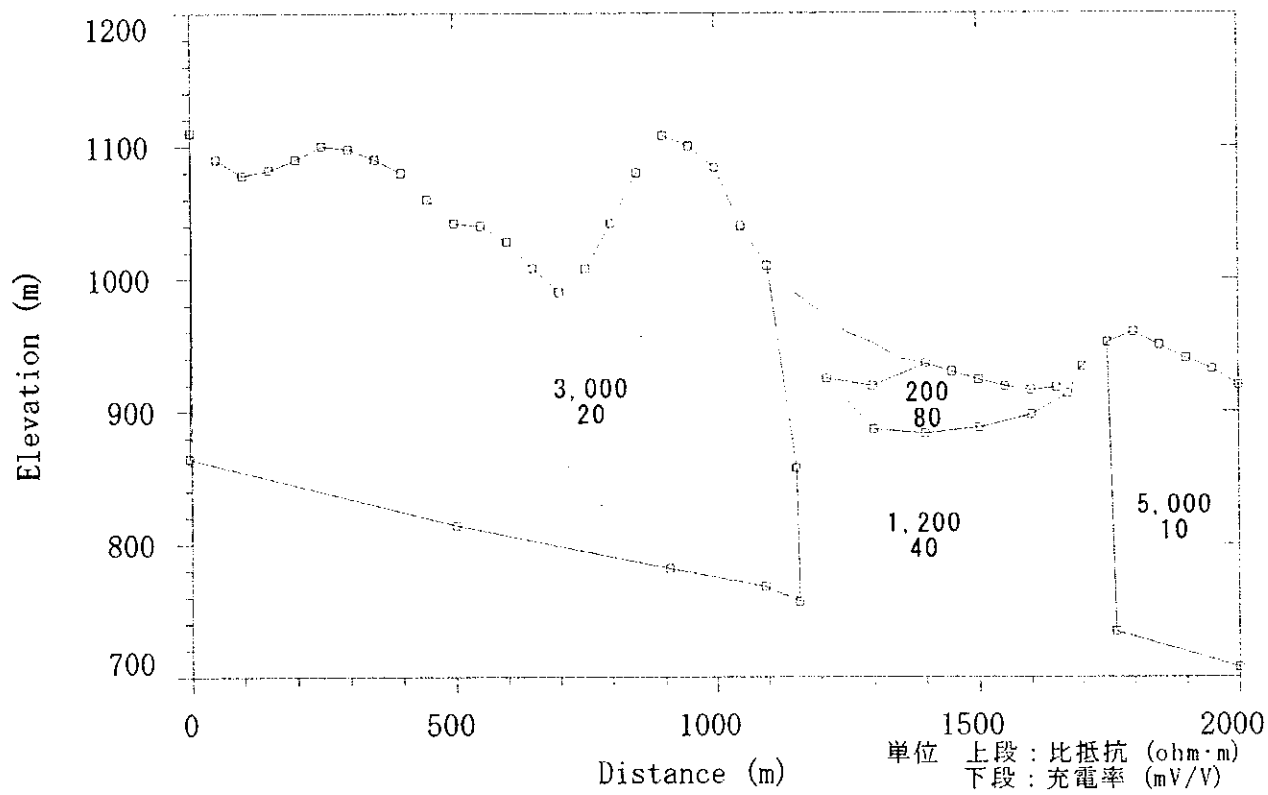
IP シュミレーション結果 (M8)



A: 見掛比抵抗擬似断面  
 上段: 測定値  
 下段: モデル計算値

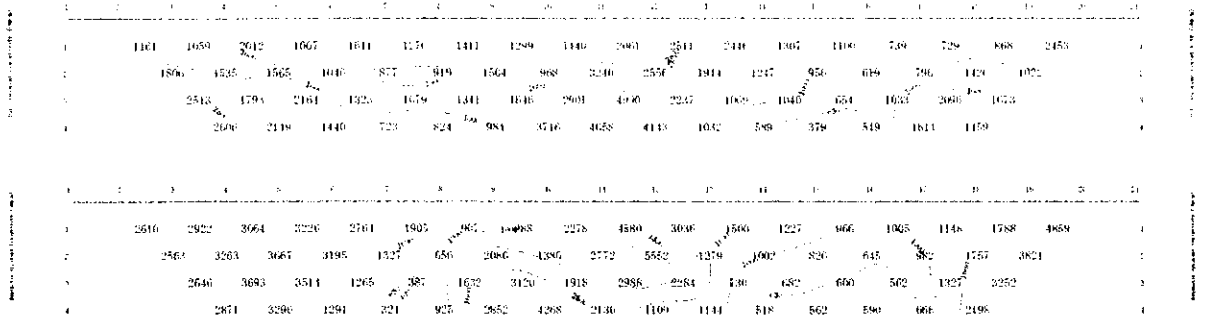


B: 充電率擬似断面  
 上段: 測定値  
 下段: モデル計算値

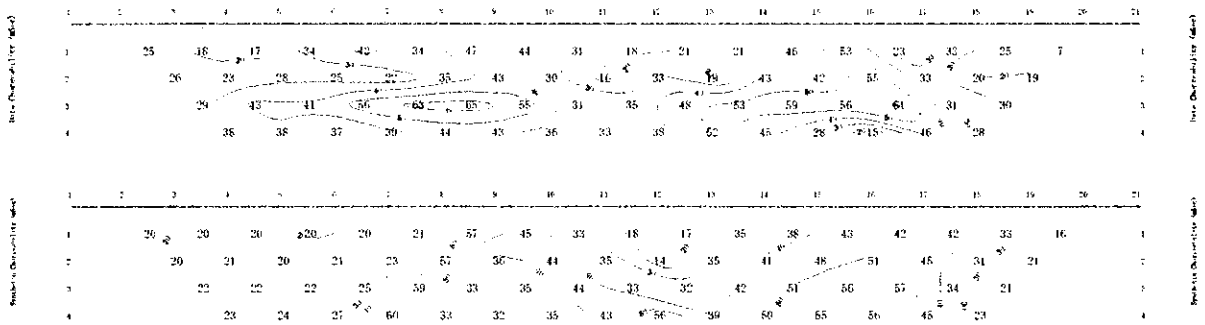


C: シミュレーションモデル

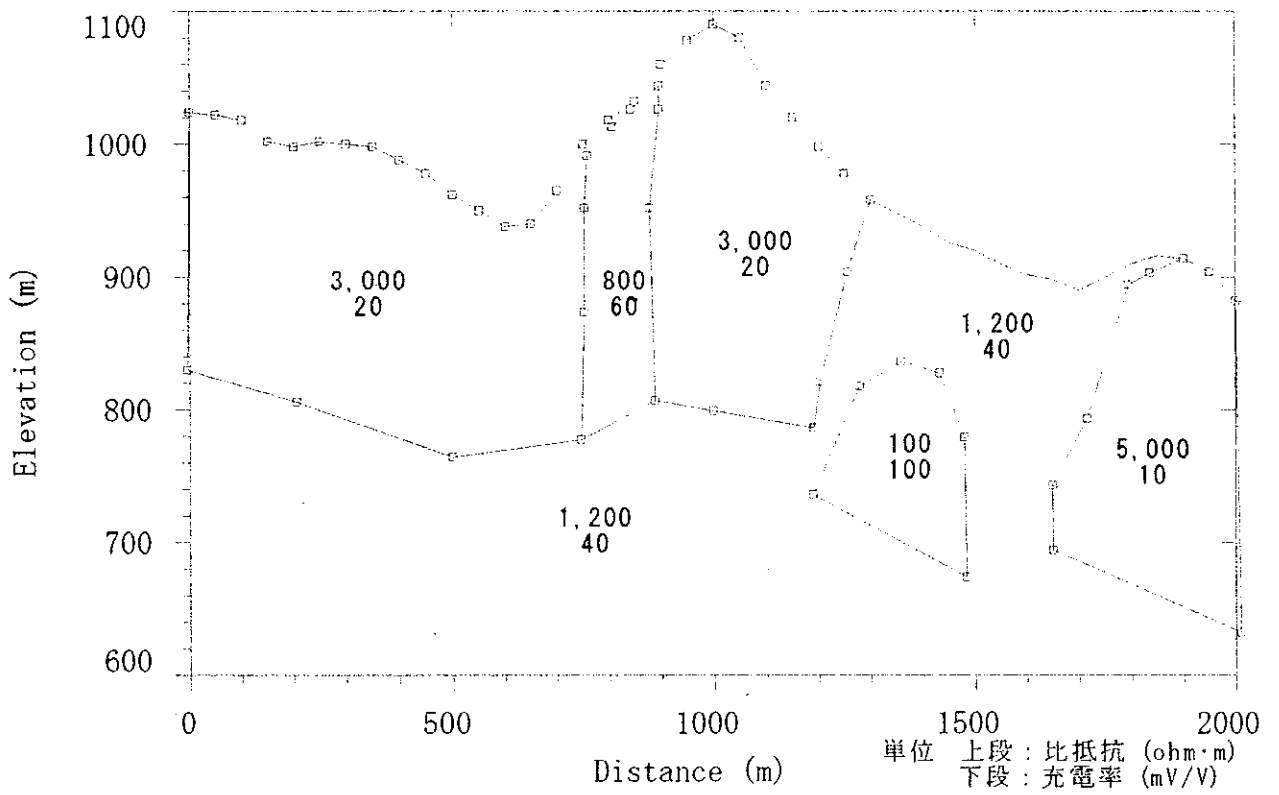
IP シミュレーション結果 (M9)



A: 見掛比抵抗擬似断面  
 上段: 測定値  
 下段: モデル計算値

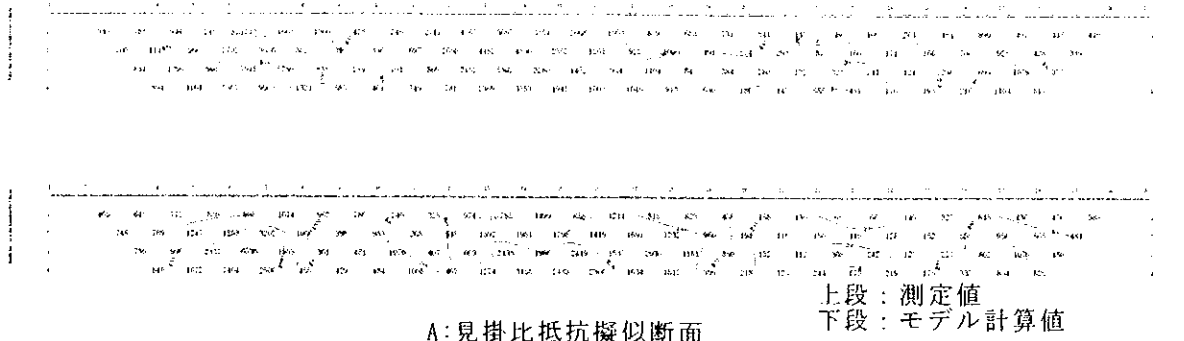


B: 充電率擬似断面  
 上段: 測定値  
 下段: モデル計算値

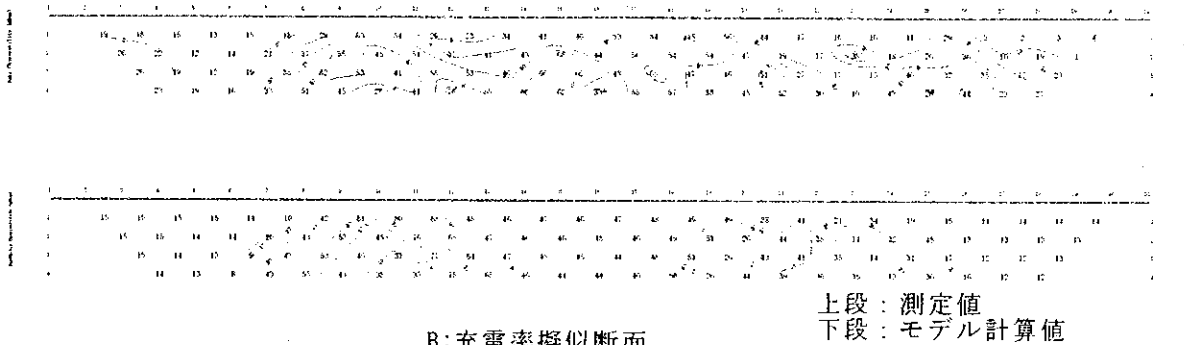


C: シュミレーションモデル

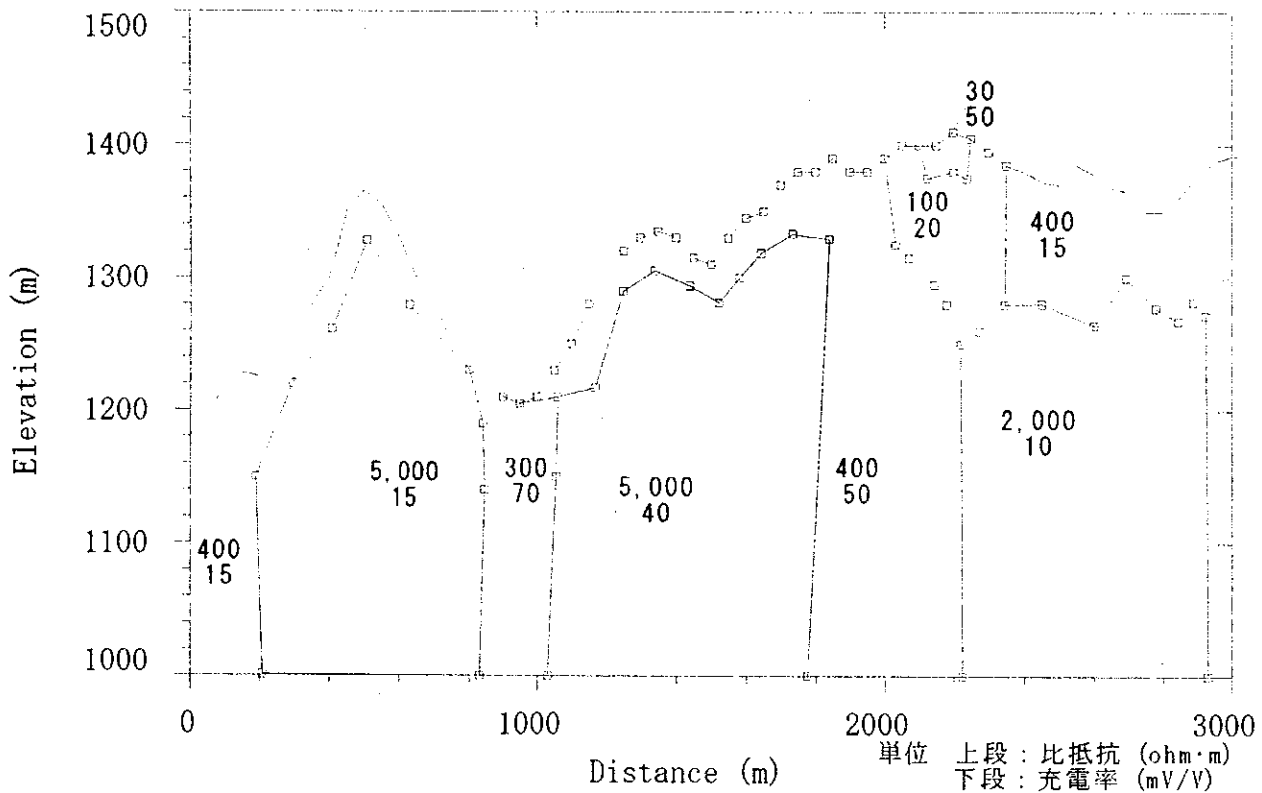
IP シュミレーション結果 (M10)



A: 見掛比抵抗疑似断面

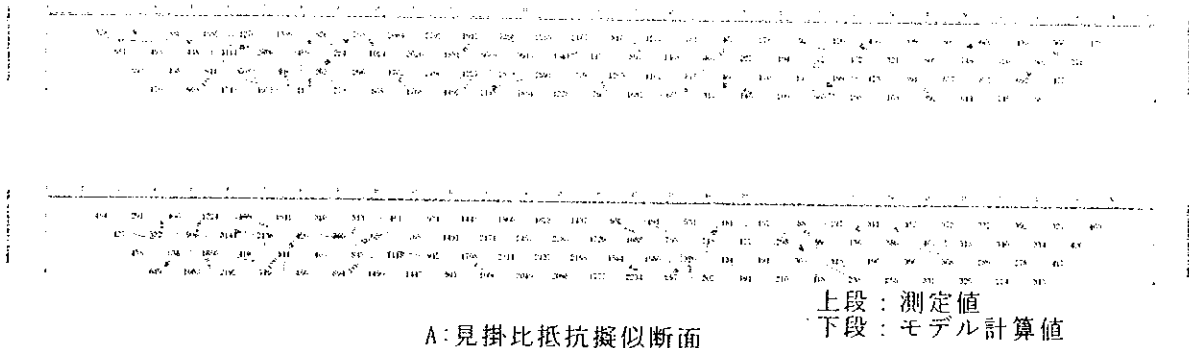


B: 充電率疑似断面

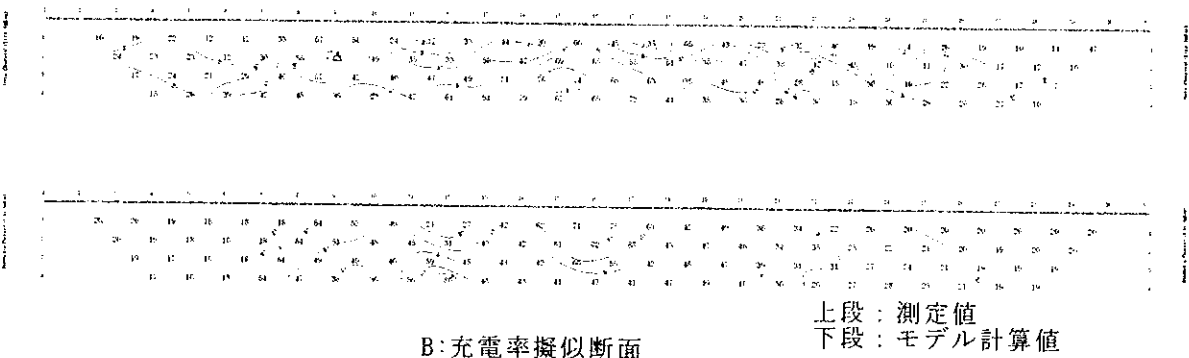


C: シュミレーションモデル

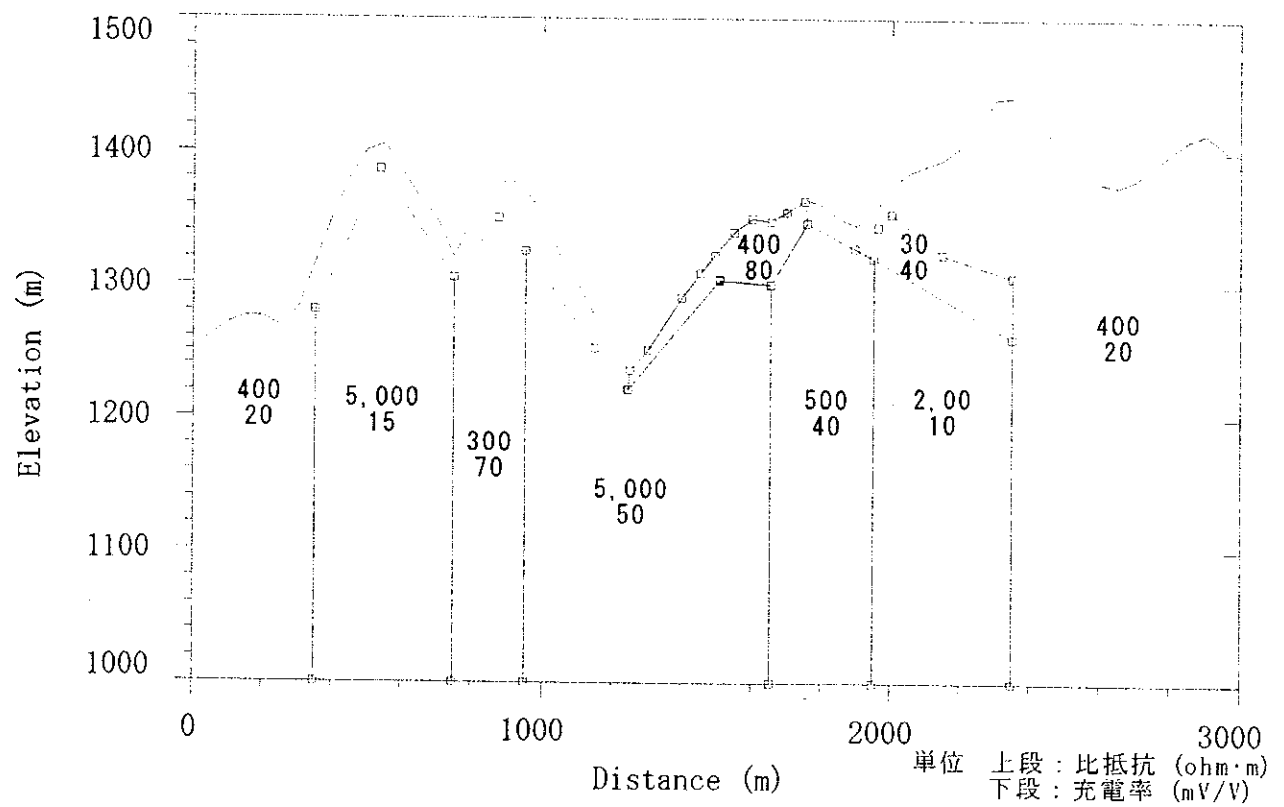
IP シュミレーション結果 (A1)



A: 見掛比抵抗擬似断面

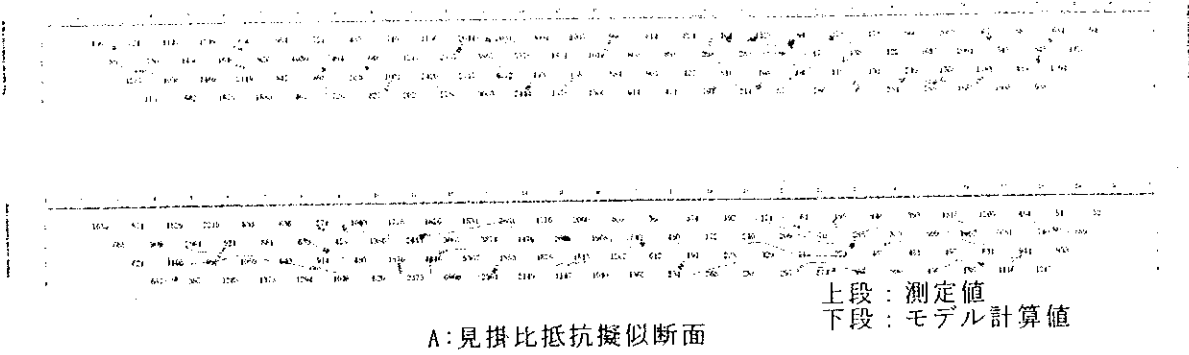


B: 充電率擬似断面

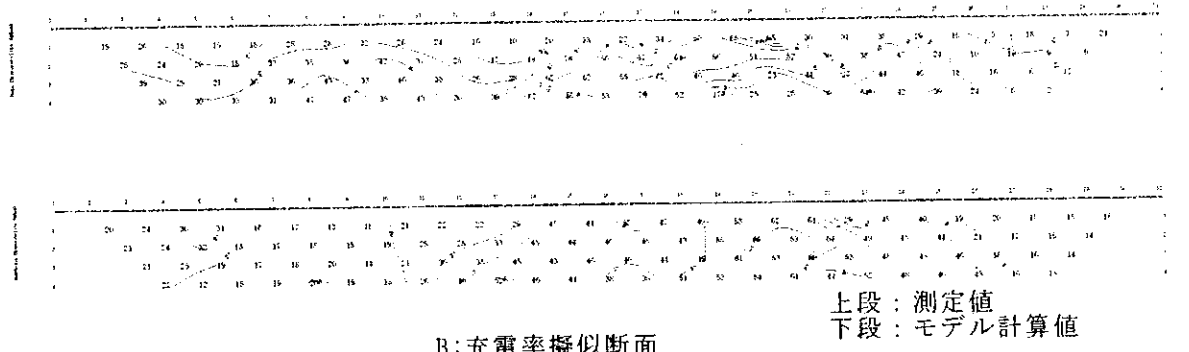


C: シュミレーションモデル

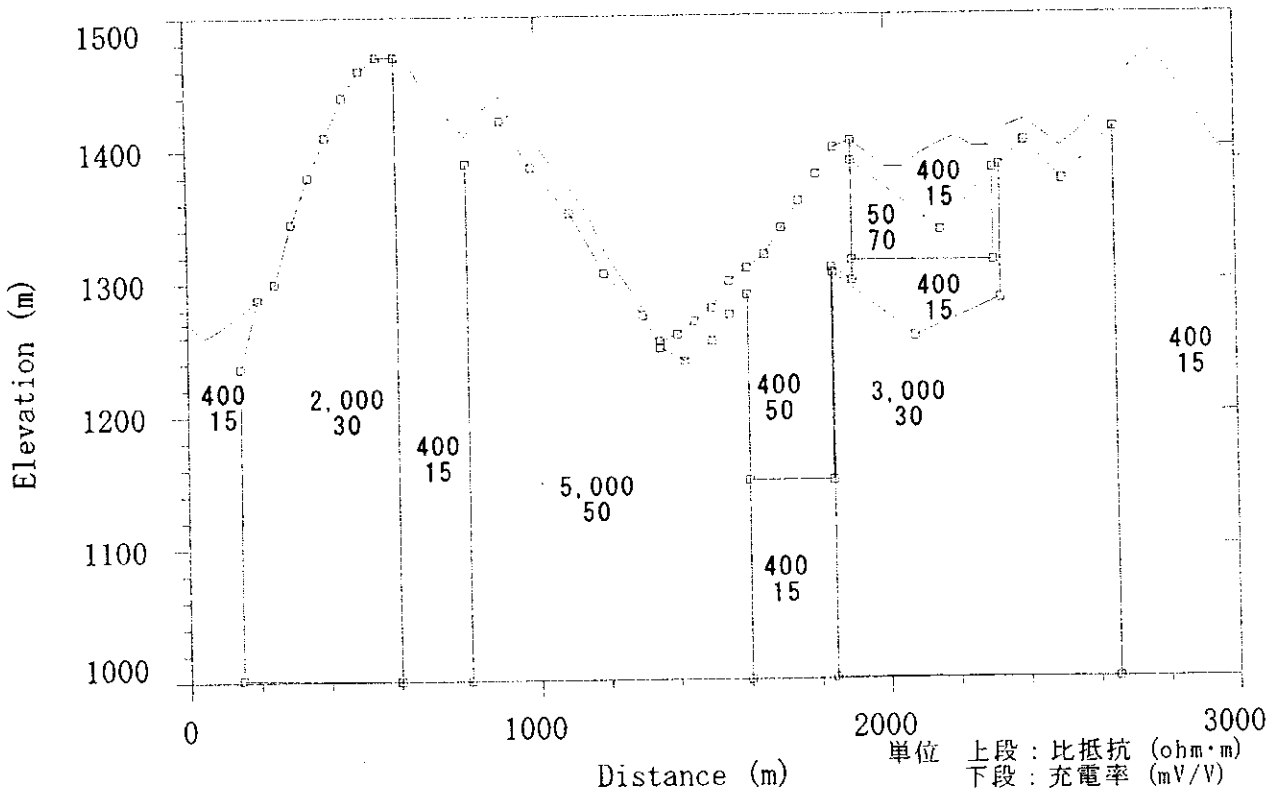
IP シュミレーション結果 (A2)



A: 見掛け比抵抗擬似断面

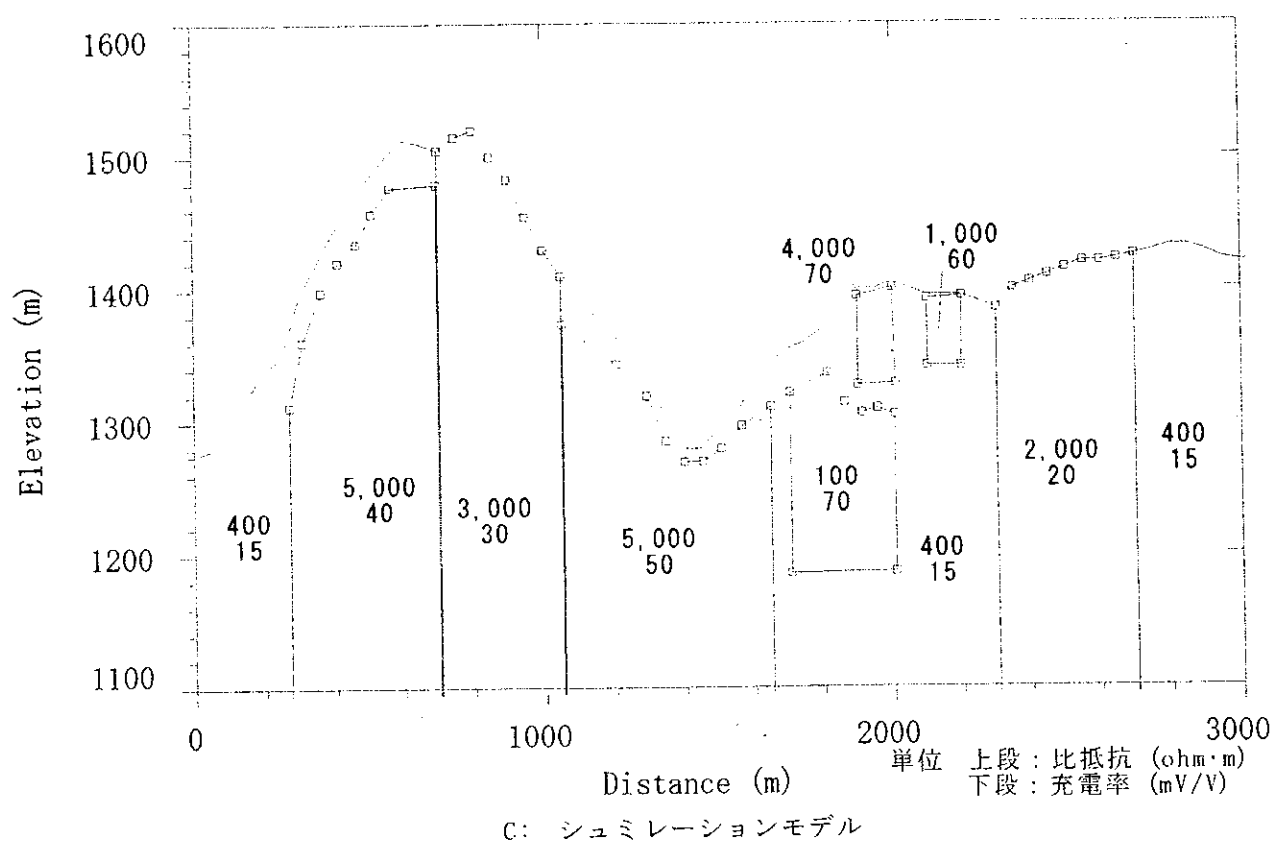
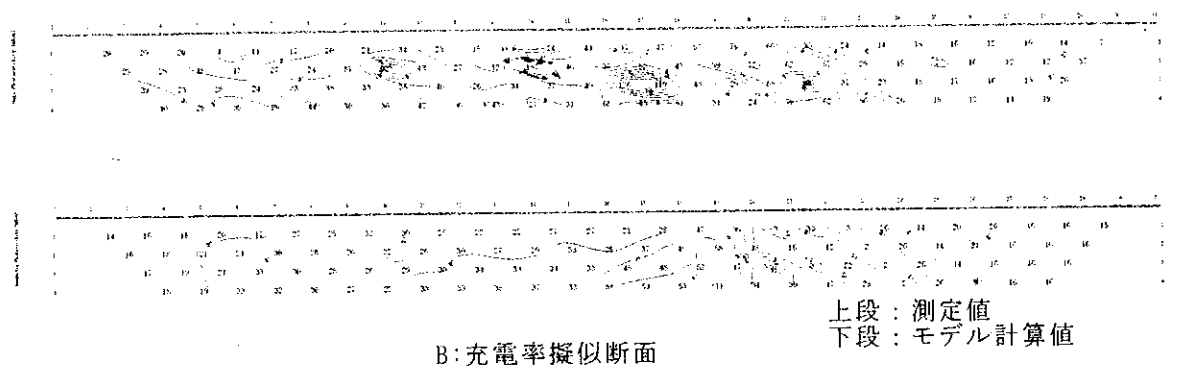
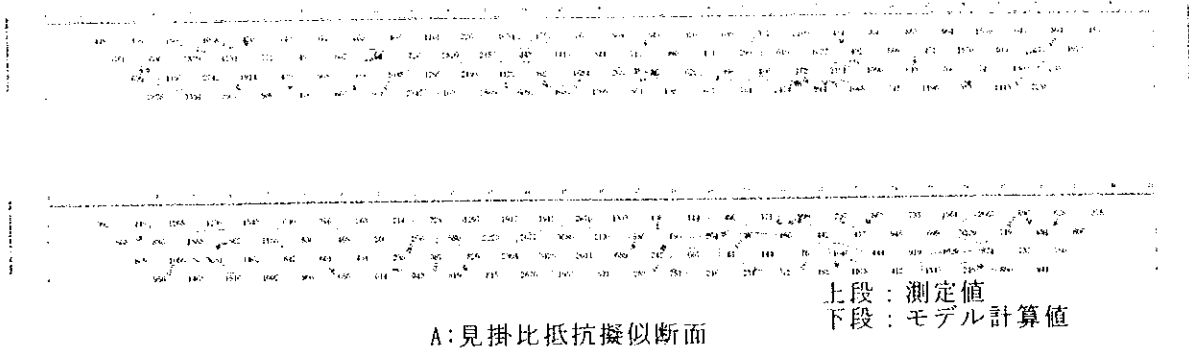


B: 充電率擬似断面

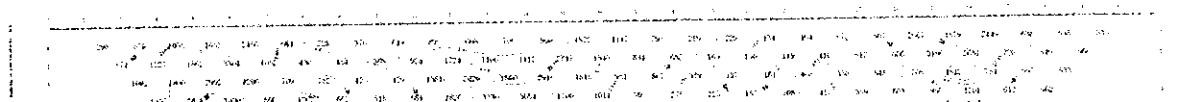
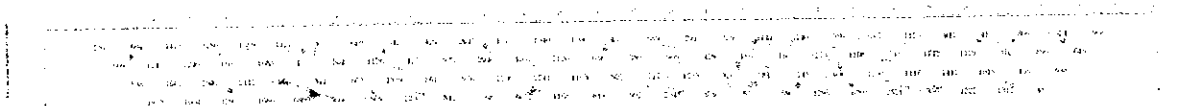


C: シュミレーションモデル

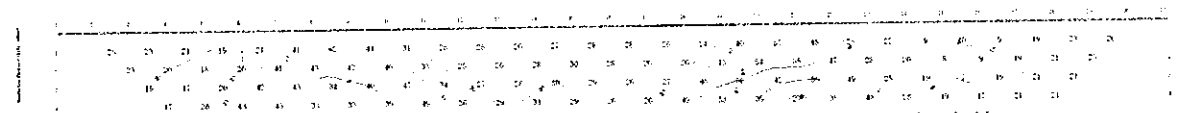
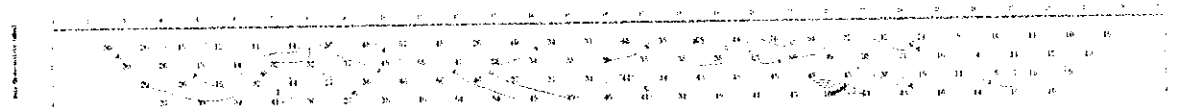
IP シュミレーション結果 (A3)



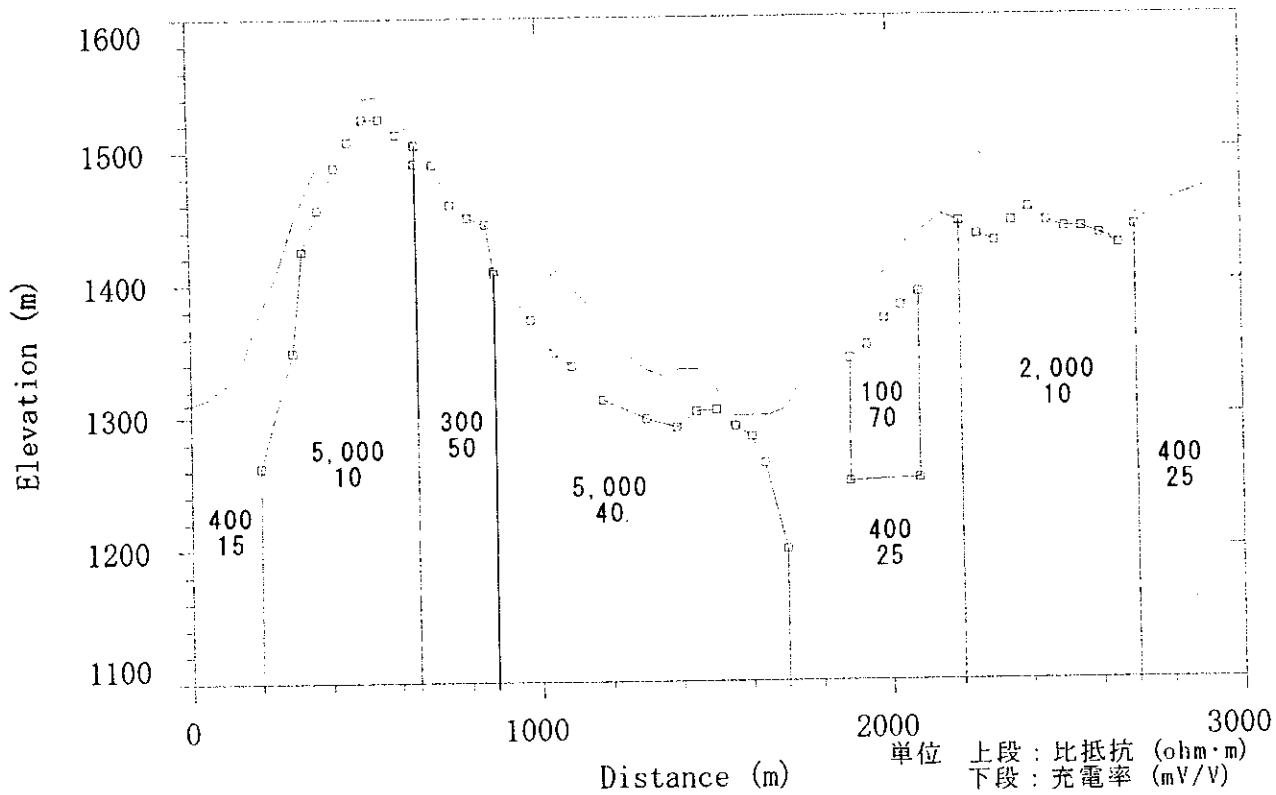
IPシュミレーション結果 (A4)



A: 見掛比抵抗擬似断面  
 上段: 測定値  
 下段: モデル計算値



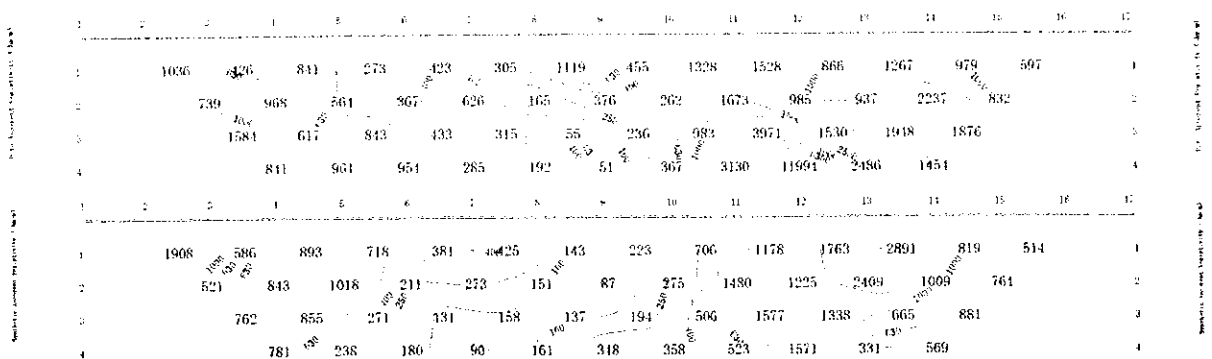
B: 充電率擬似断面  
 上段: 測定値  
 下段: モデル計算値



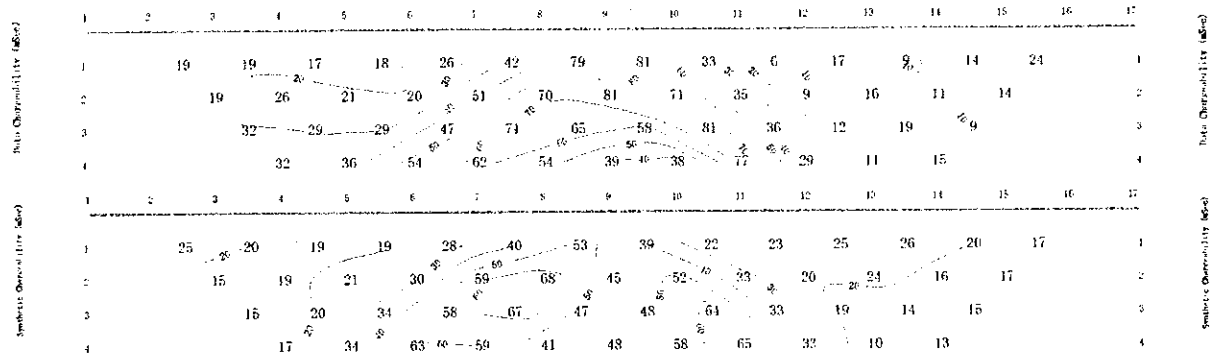
C: シミュレーションモデル

IPシミュレーション結果 (A5)

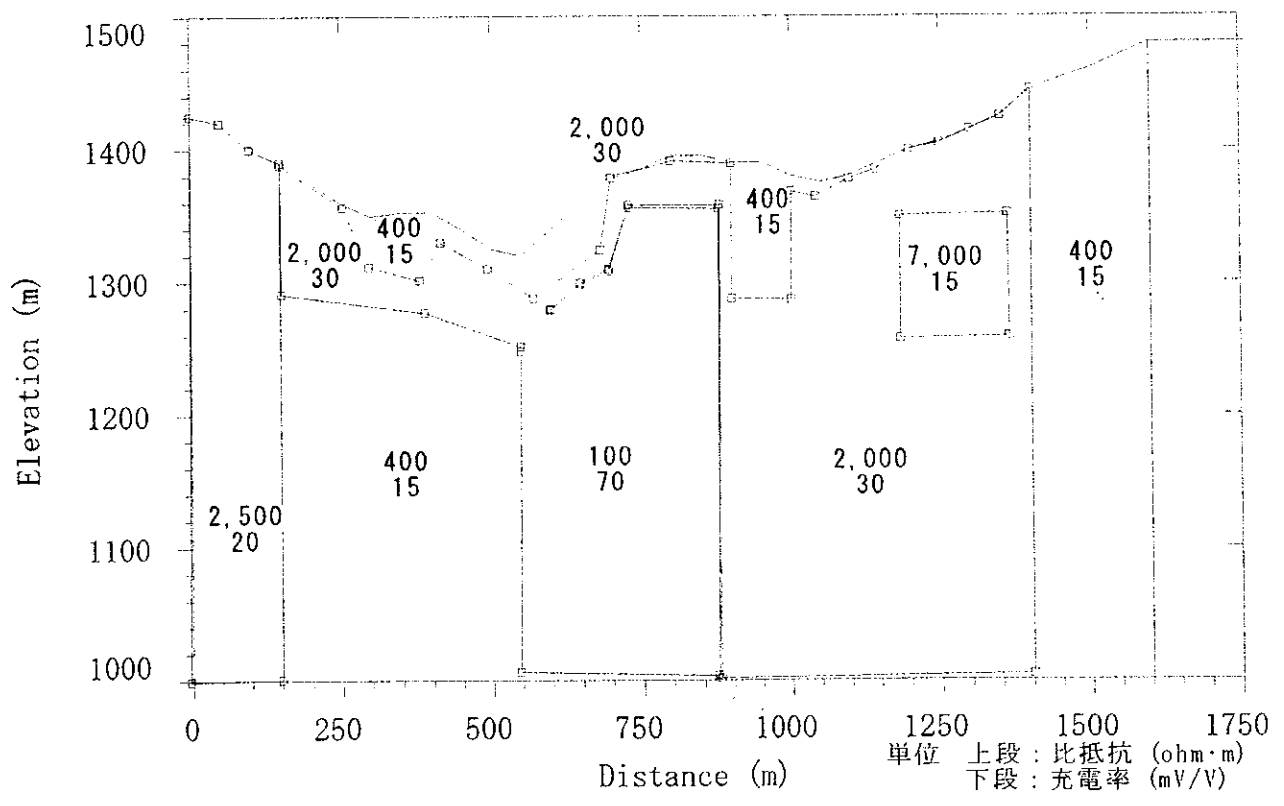




A: 見掛比抵抗擬似断面  
 上段: 測定値  
 下段: モデル計算値



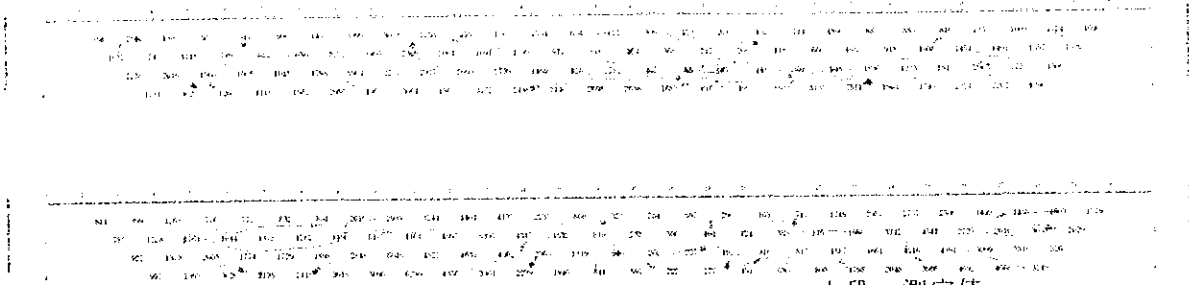
B: 充電率擬似断面  
 上段: 測定値  
 下段: モデル計算値



C: シミュレーションモデル

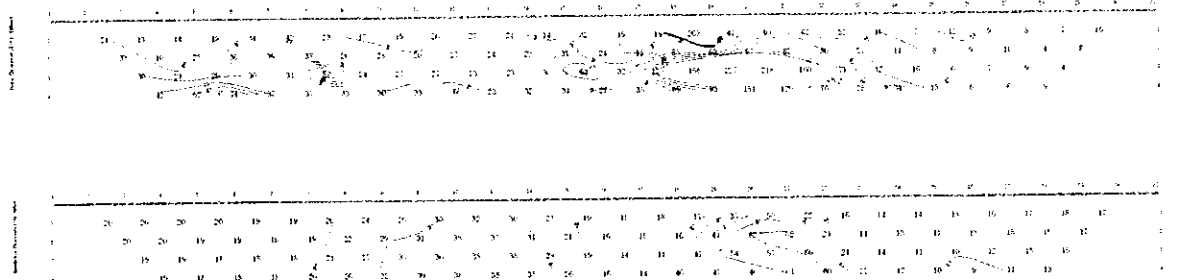
IPシミュレーション結果 (A6)

単位 上段: 比抵抗 (ohm·m)  
 下段: 充電率 (mV/V)



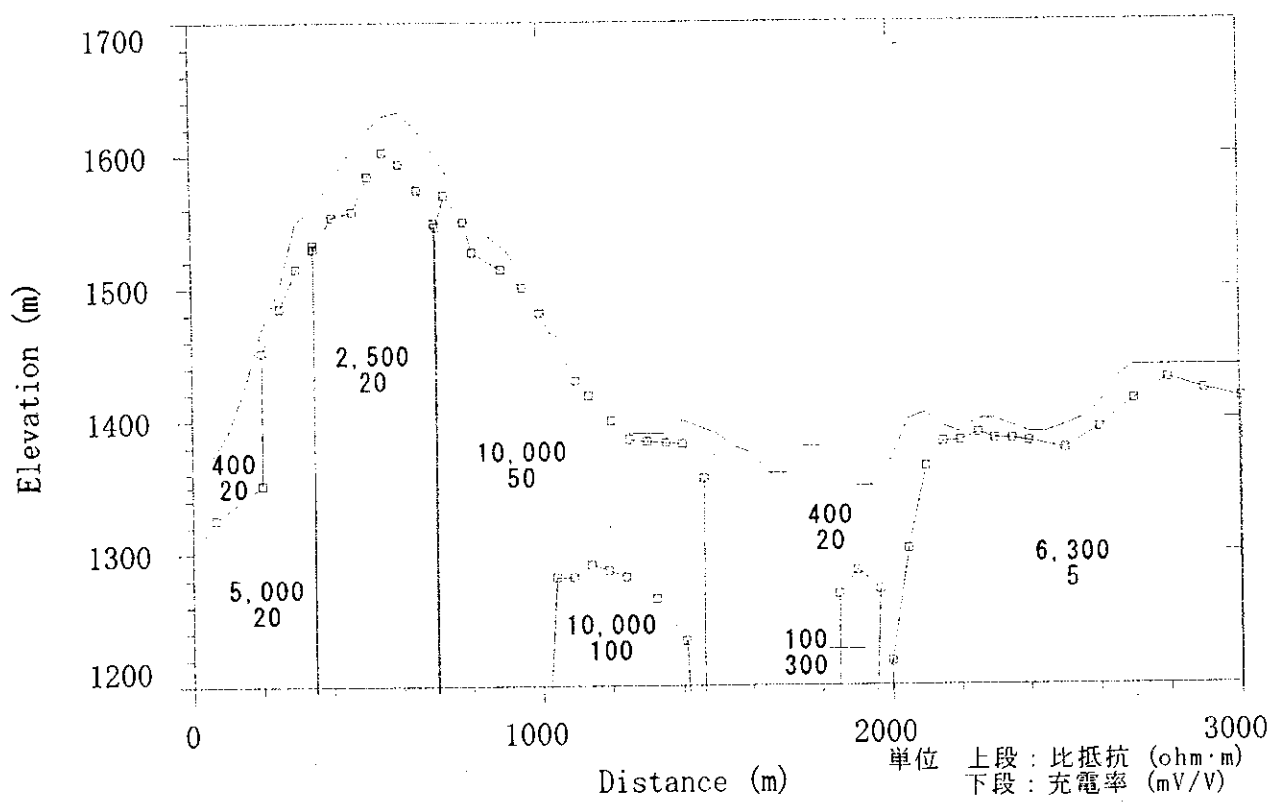
A: 見掛比抵抗擬似断面

上段: 測定値  
下段: モデル計算値



B: 充電率擬似断面

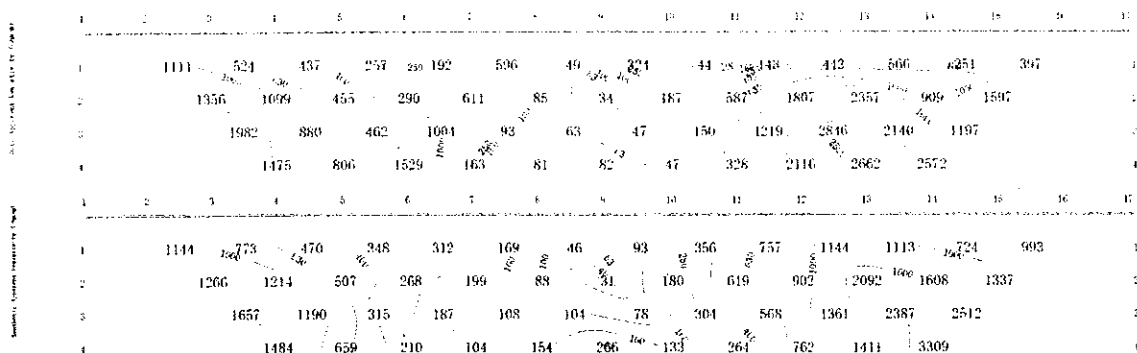
上段: 測定値  
下段: モデル計算値



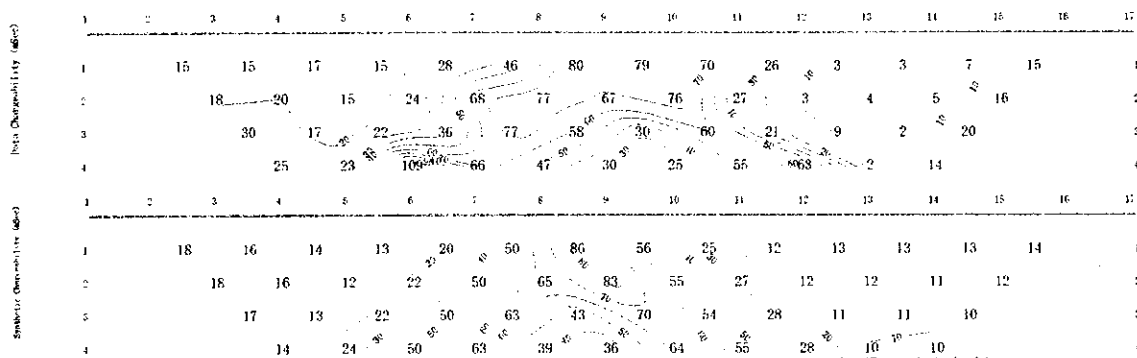
C: シュミレーションモデル

単位 上段: 比抵抗 (ohm·m)  
下段: 充電率 (mV/V)

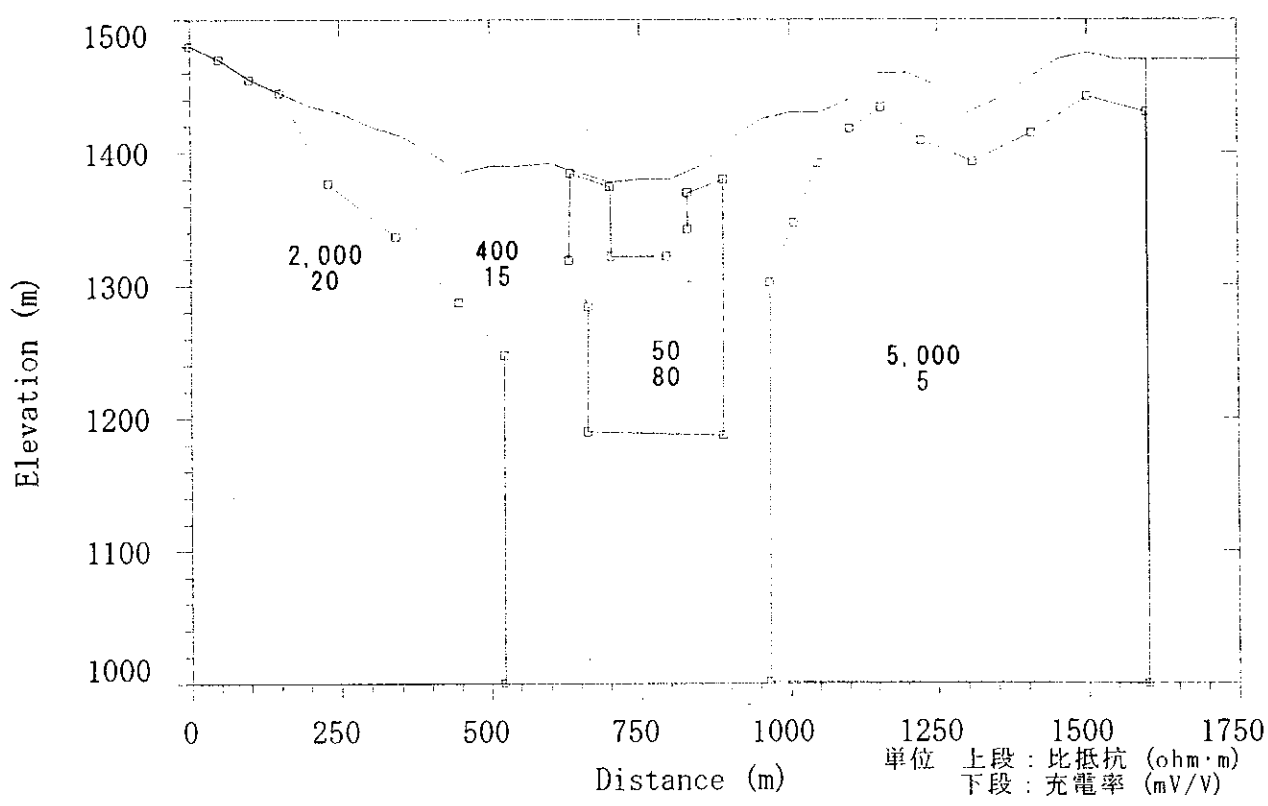
IPシュミレーション結果 (A7)



A: 見掛け抵抗擬似断面  
 上段: 測定値  
 下段: モデル計算値

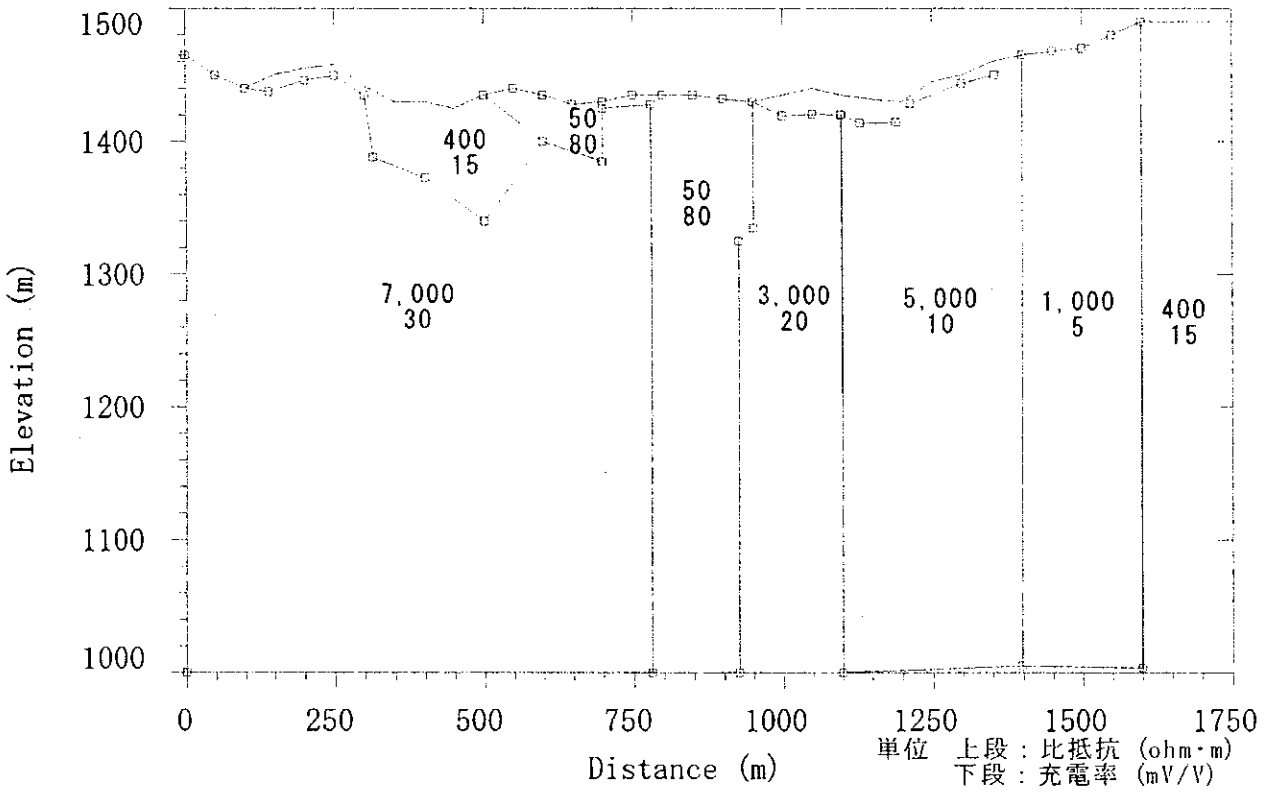
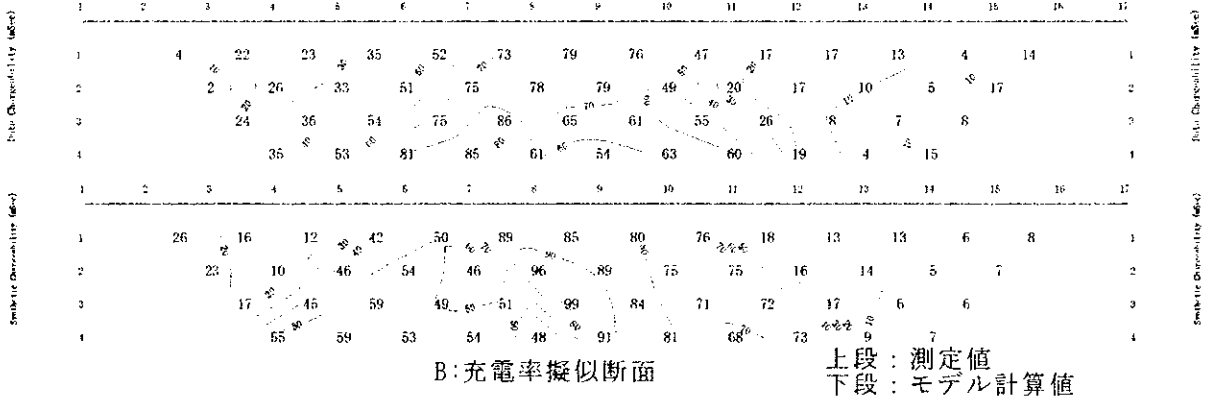
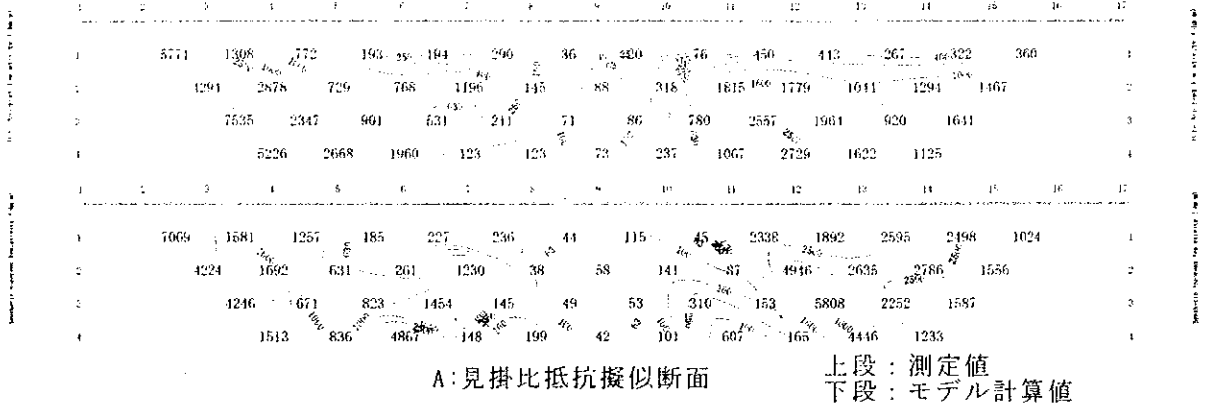


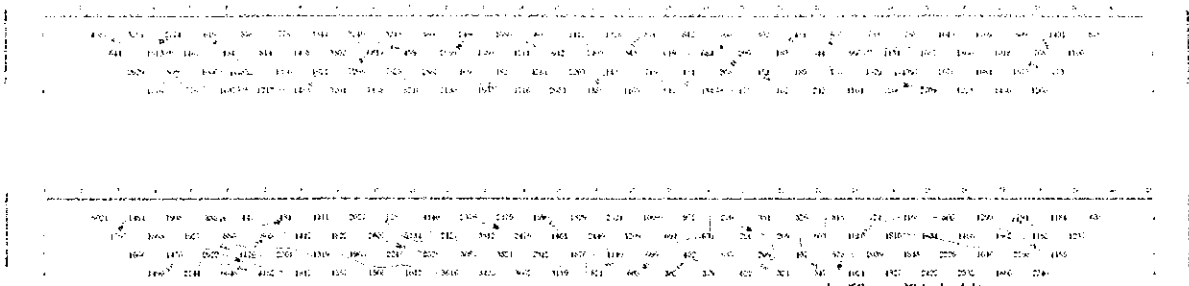
上段: 測定値  
 下段: モデル計算値



C: シュミレーションモデル

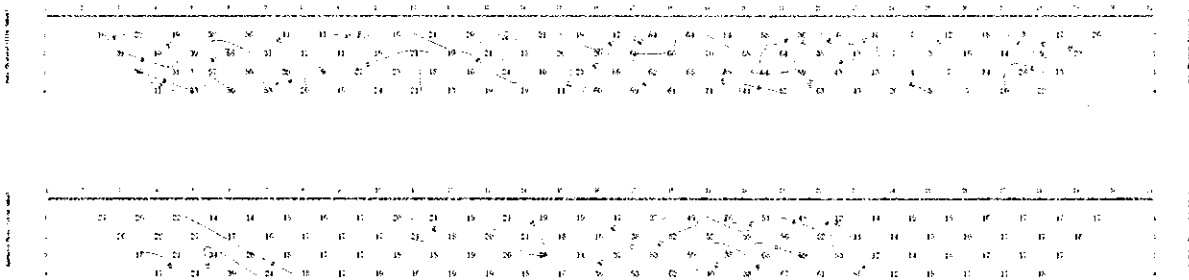
IPシュミレーション結果 (A8)





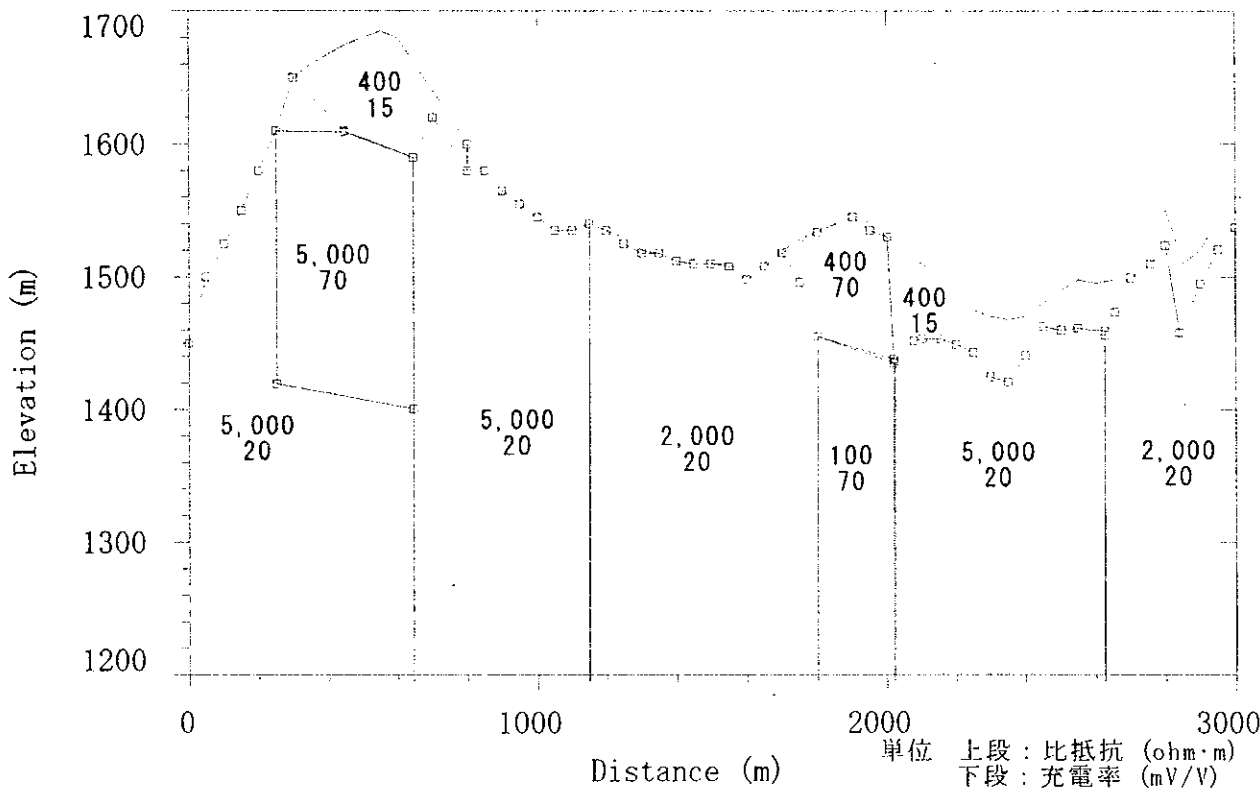
A: 見掛け比抵抗擬似断面

上段: 測定値  
下段: モデル計算値



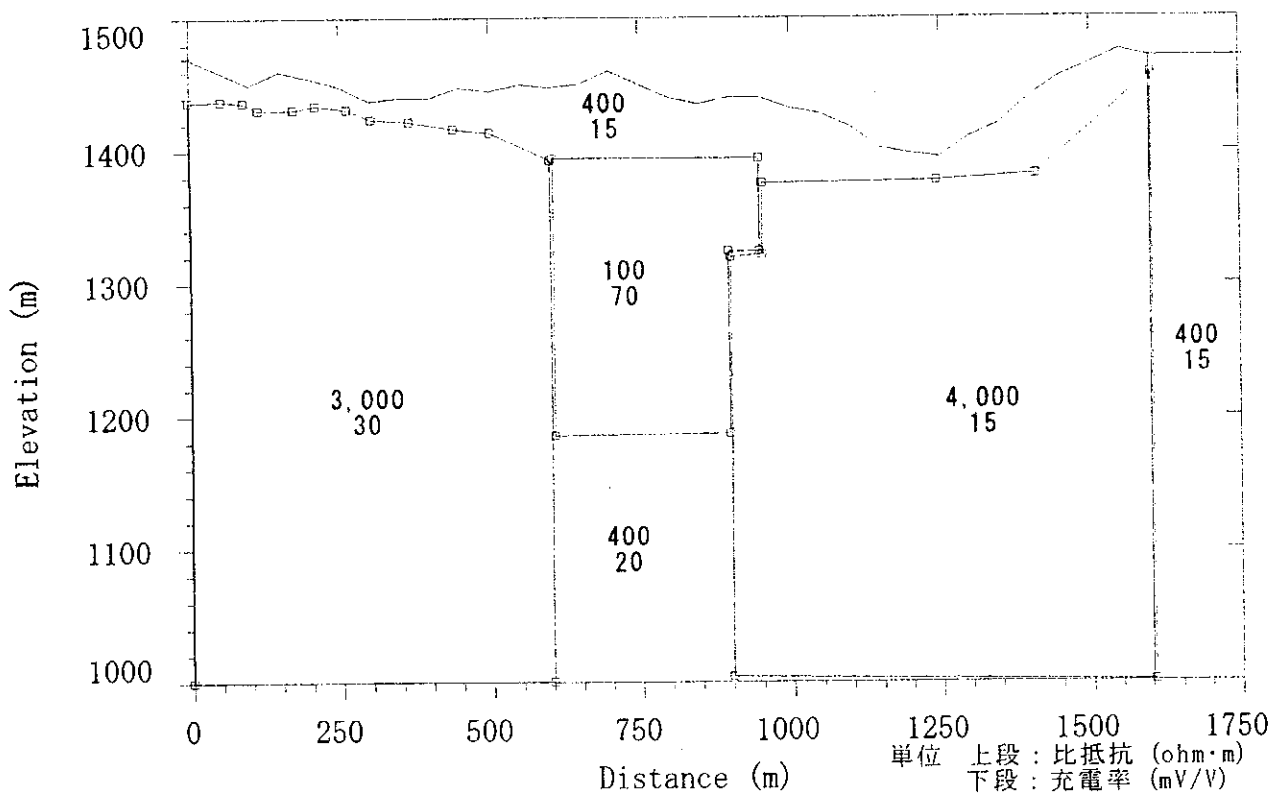
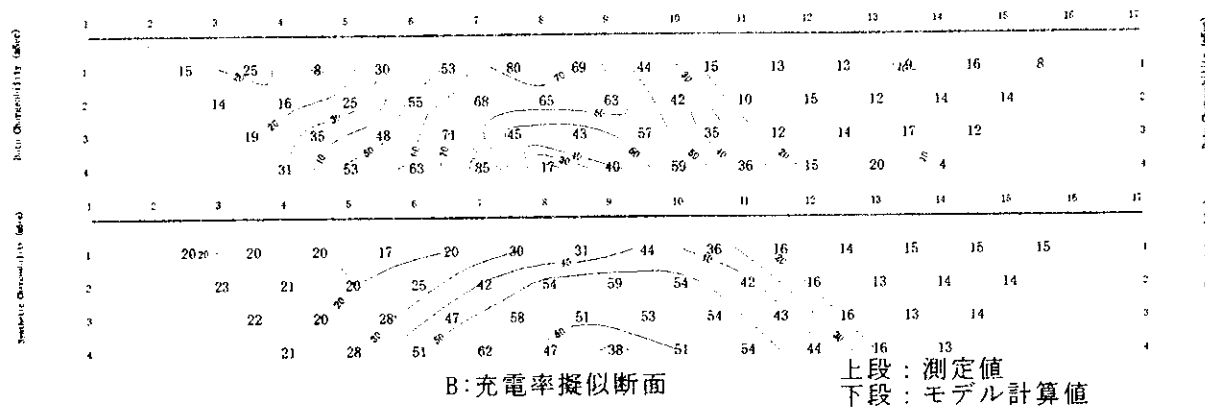
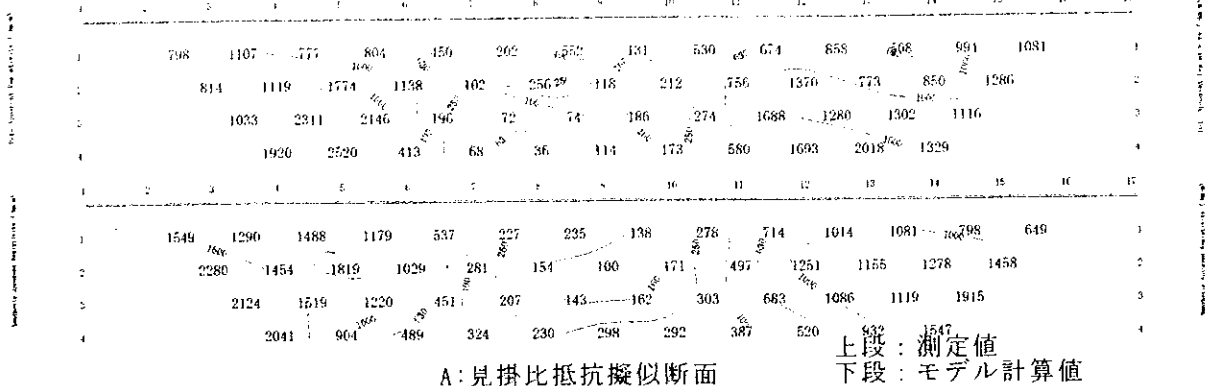
B: 充電率擬似断面

上段: 測定値  
下段: モデル計算値



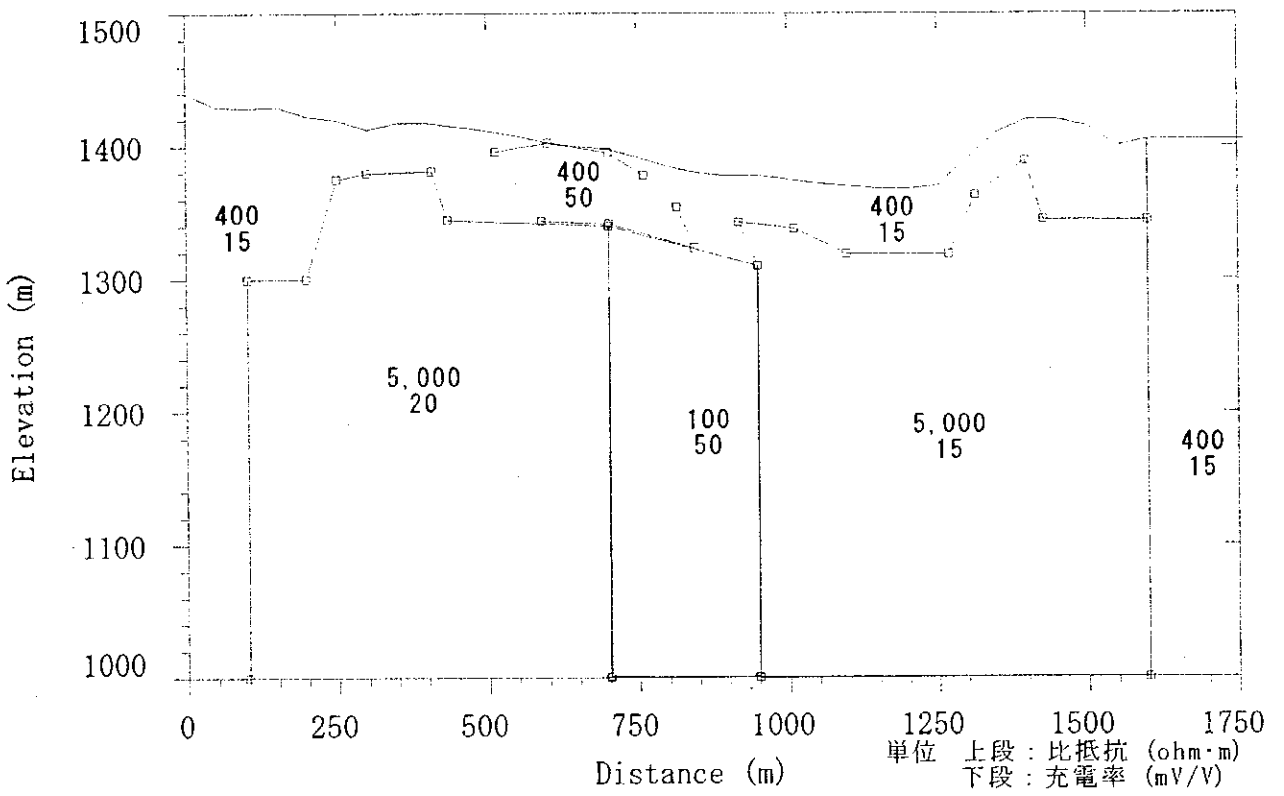
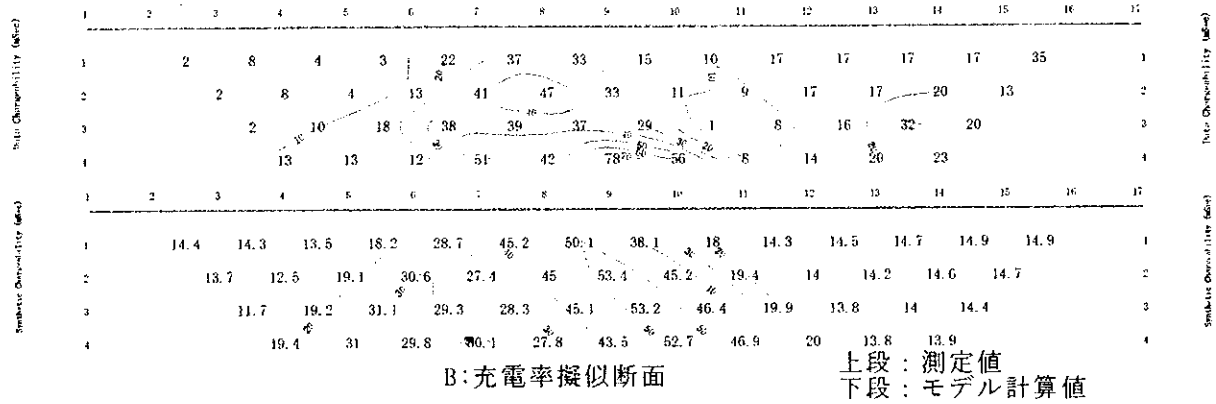
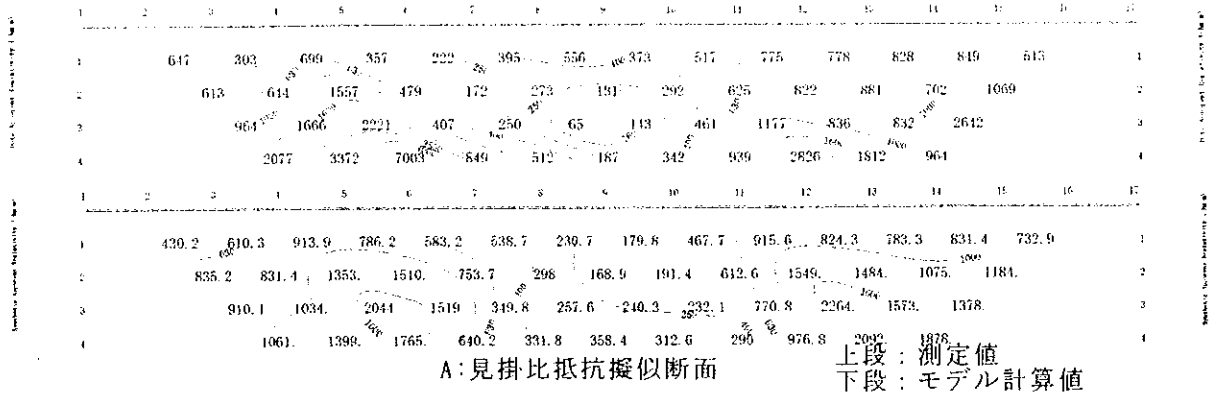
C: シュミレーションモデル

IPシュミレーション結果 (A10)

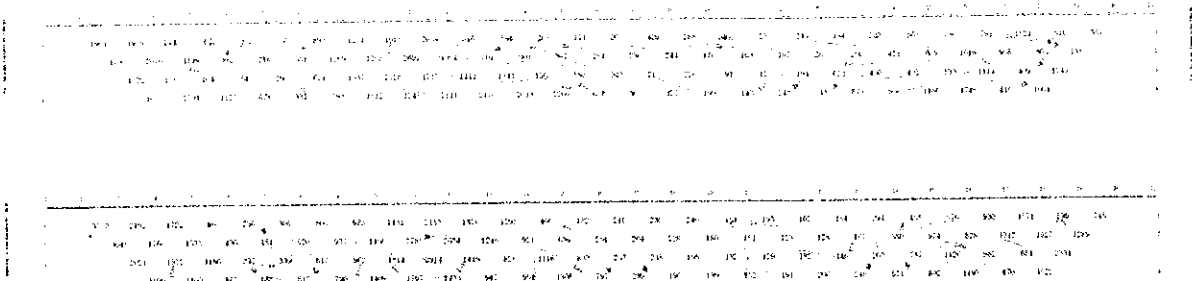


C: シュミレーションモデル

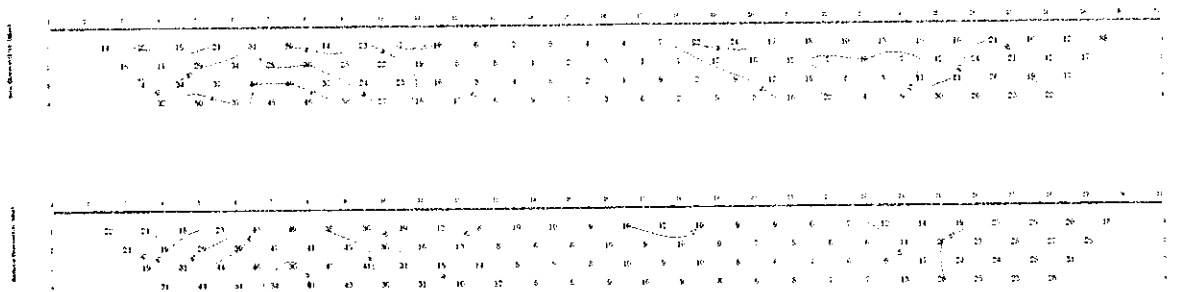
IPシュミレーション結果 (A11)



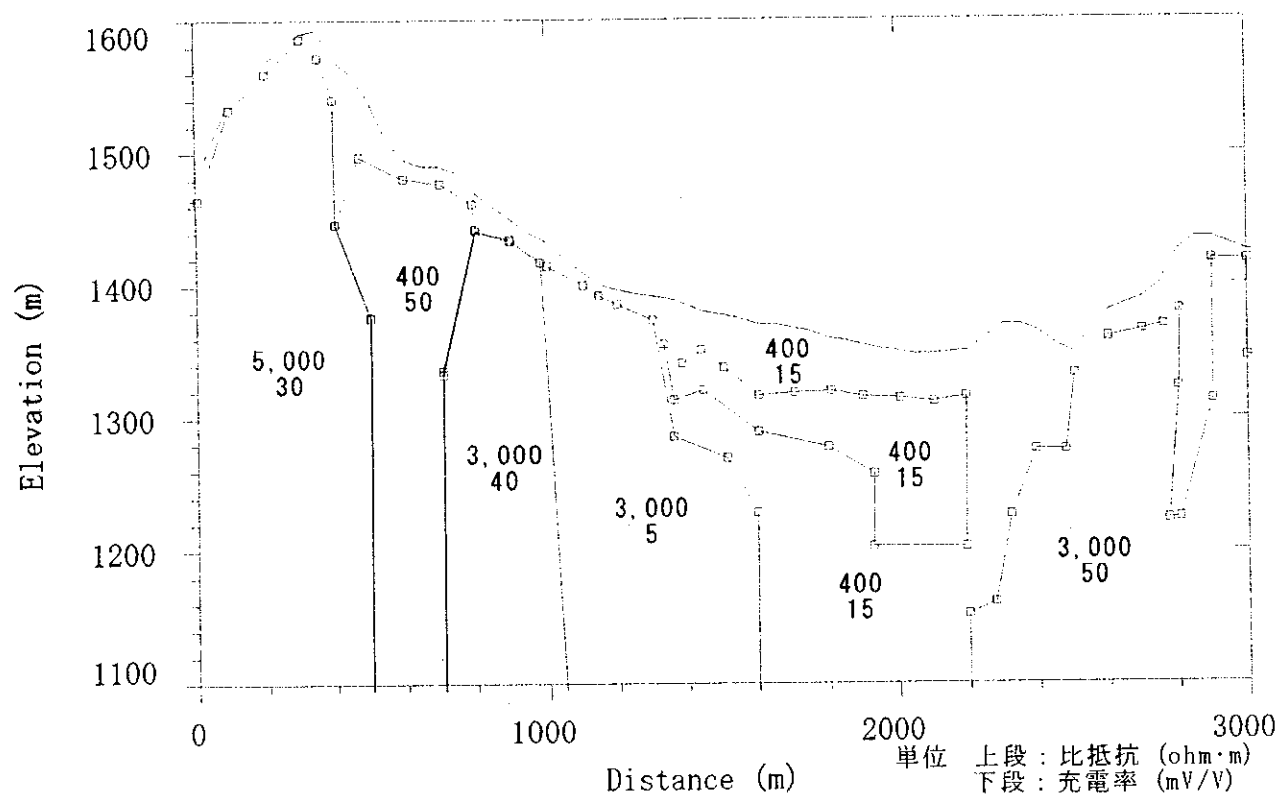
IPシュミレーション結果 (A12)



A: 見掛け比抵抗擬似断面  
 上段: 測定値  
 下段: モデル計算値



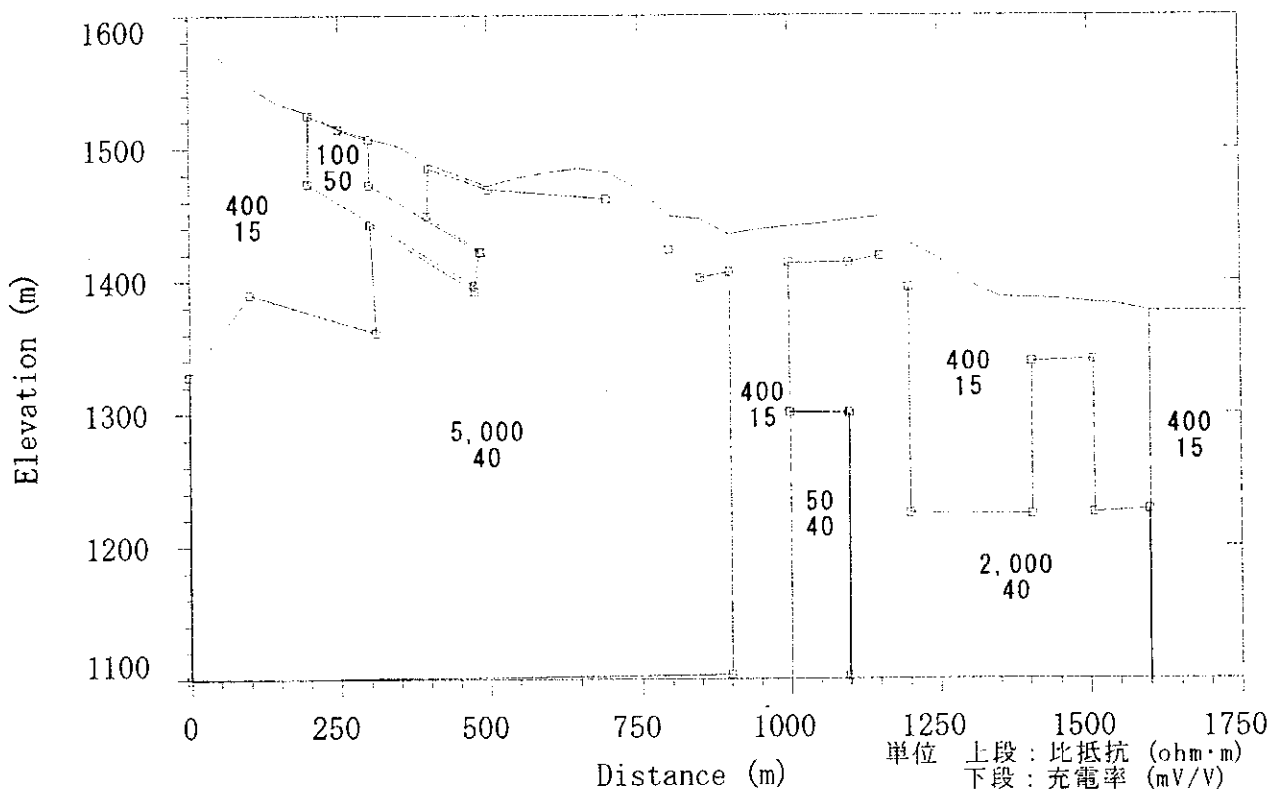
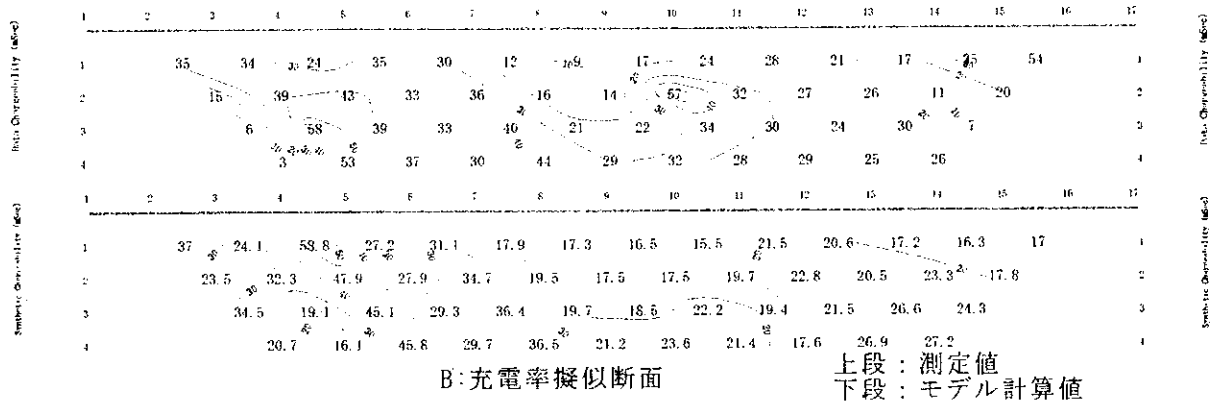
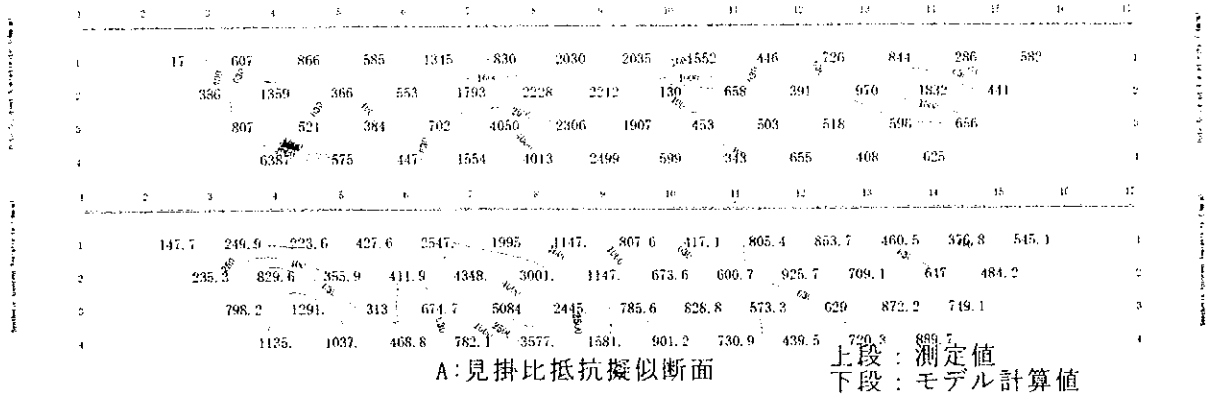
B: 充電率擬似断面  
 上段: 測定値  
 下段: モデル計算値



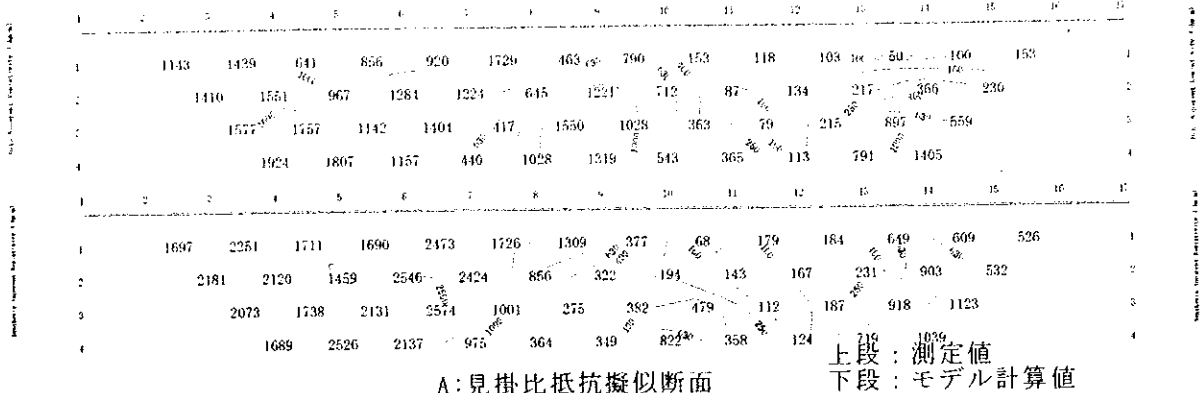
C: シュミレーションモデル

IP シュミレーション結果 (A13)

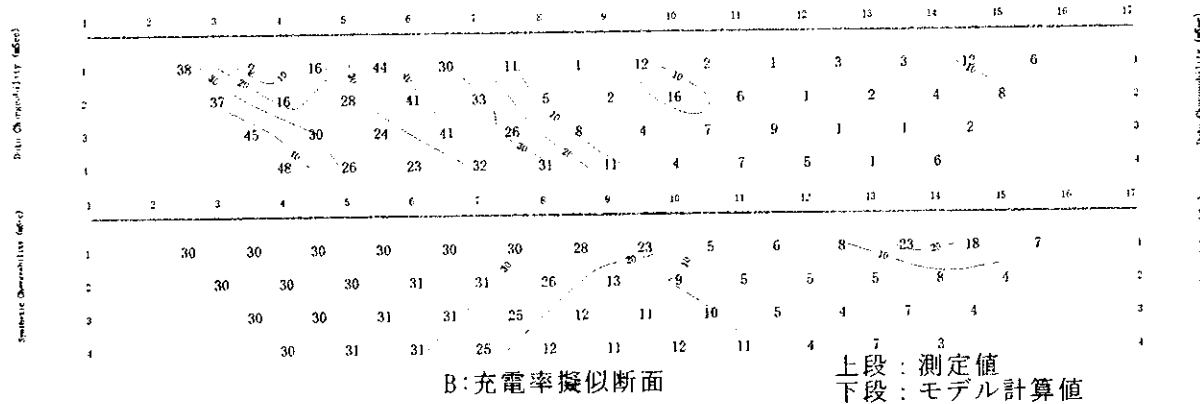




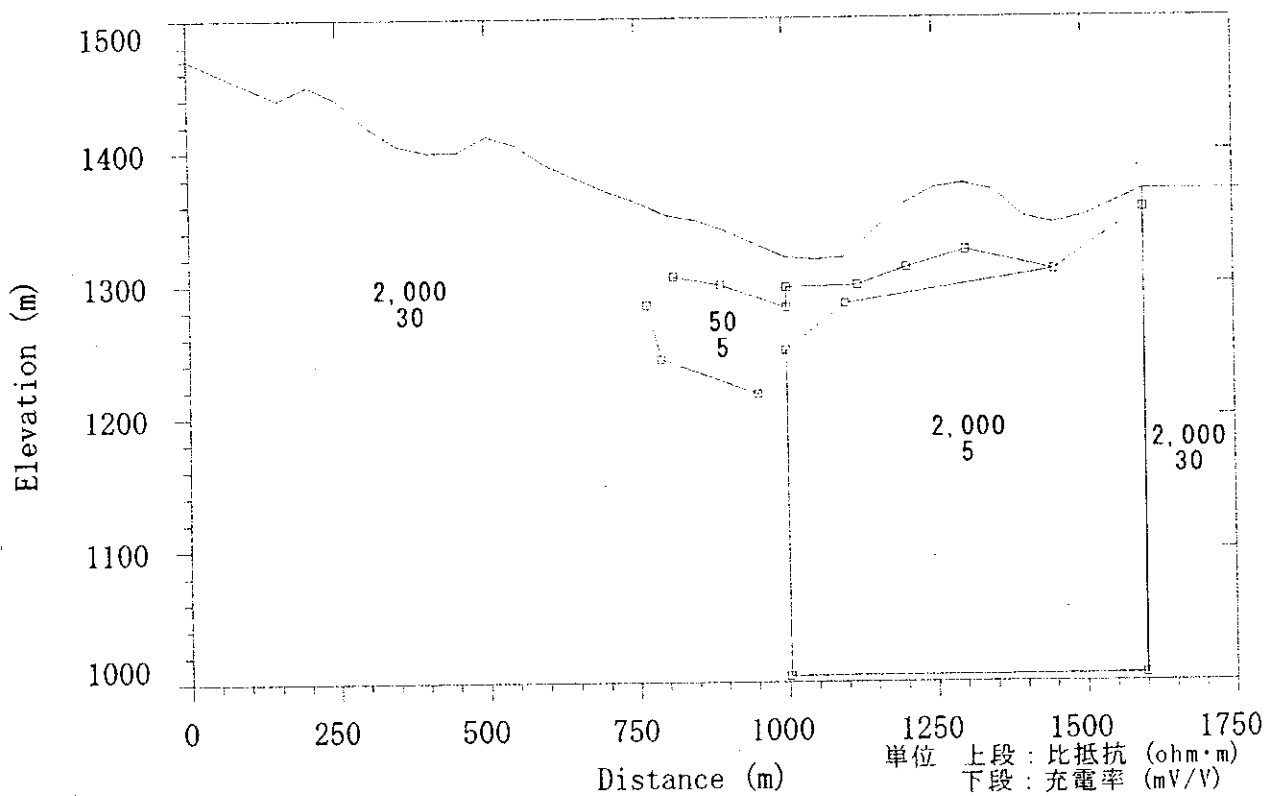
IP シミュレーション結果 (A14)



A: 見掛比抵抗擬似断面

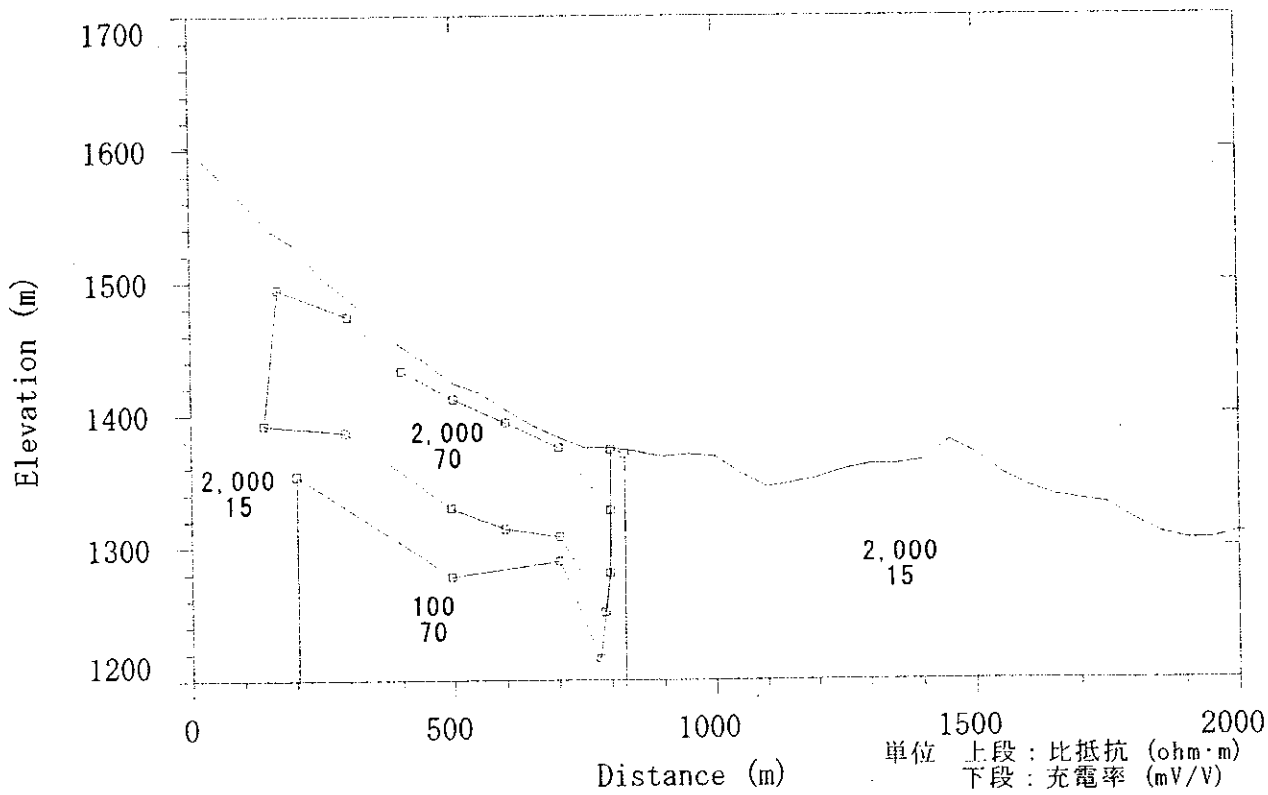
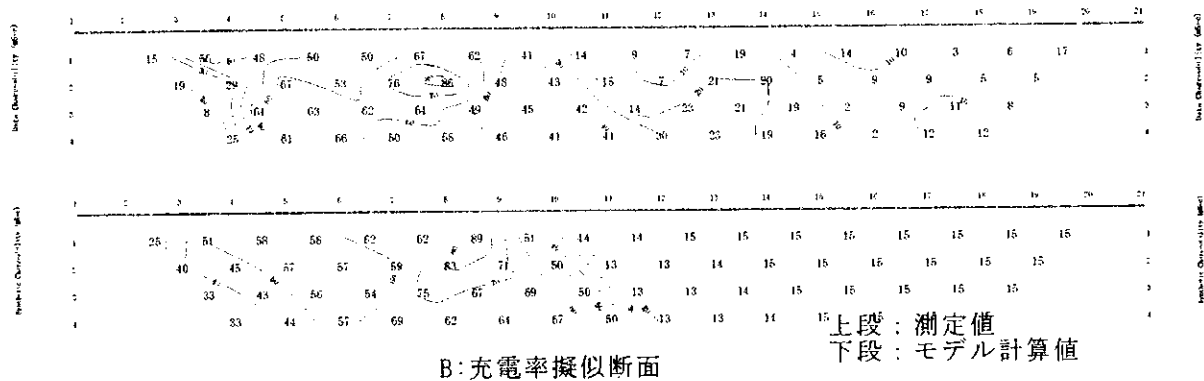
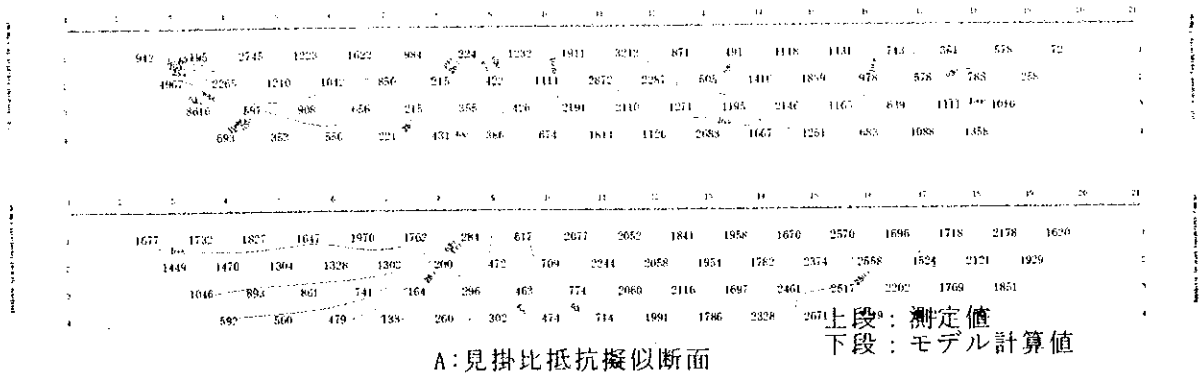


B: 充電率擬似断面

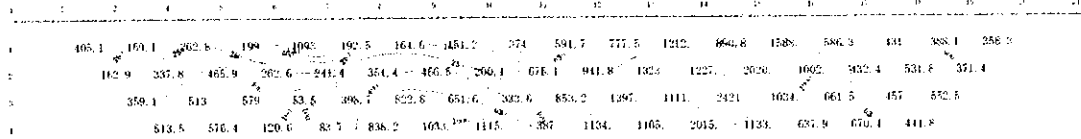
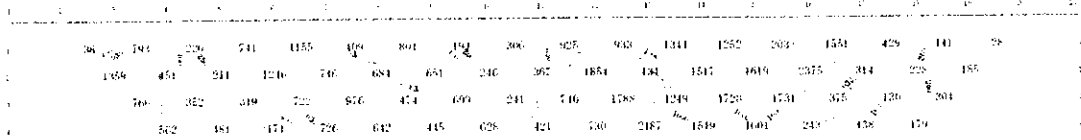


C: シュミレーションモデル

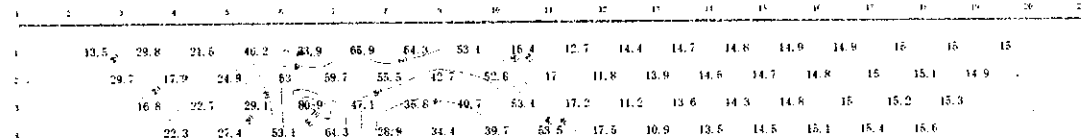
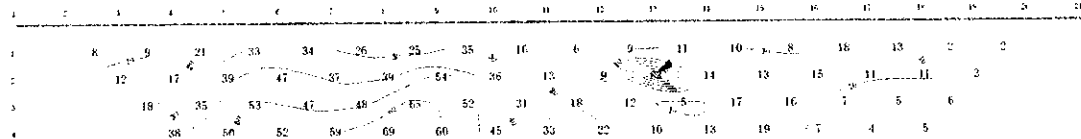
IPシュミレーション結果 (A15)



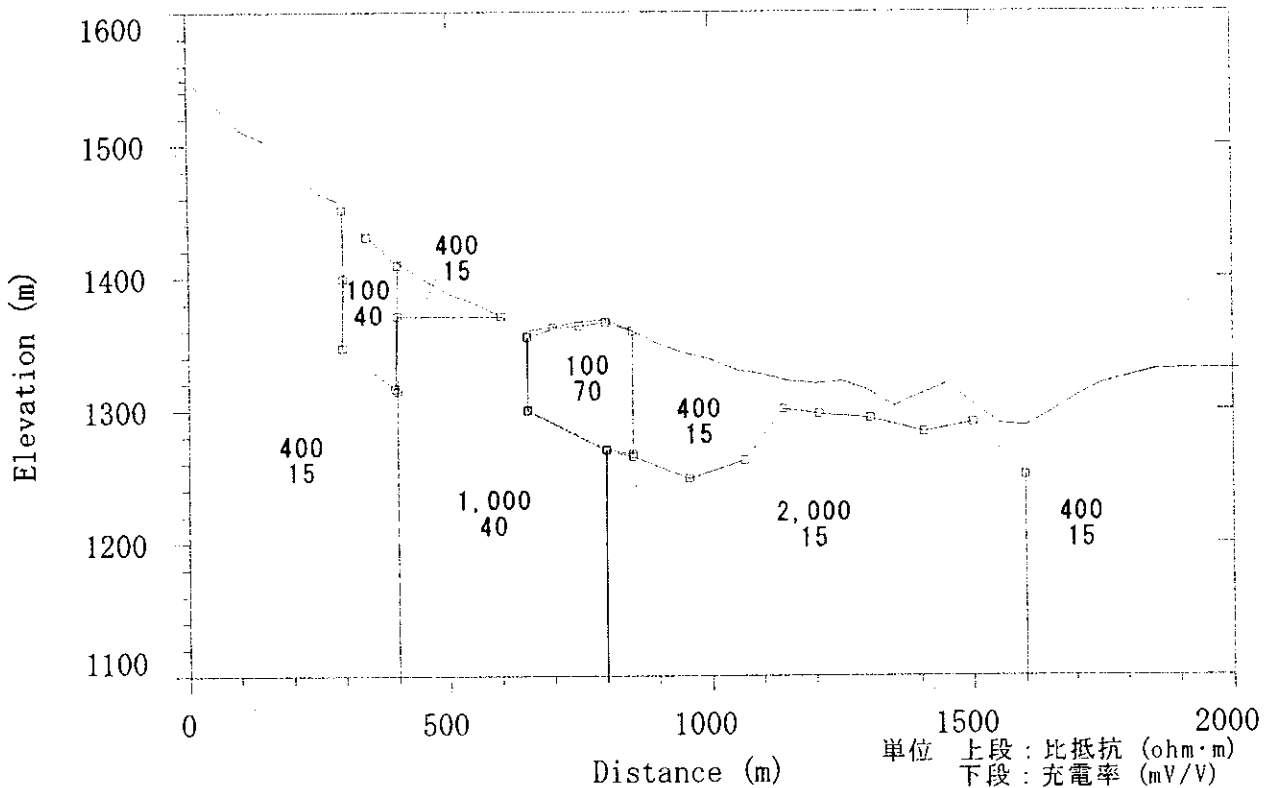
IPシミュレーション結果 (A16)



A: 見掛比抵抗疑似断面  
 上段: 測定値  
 下段: モデル計算値

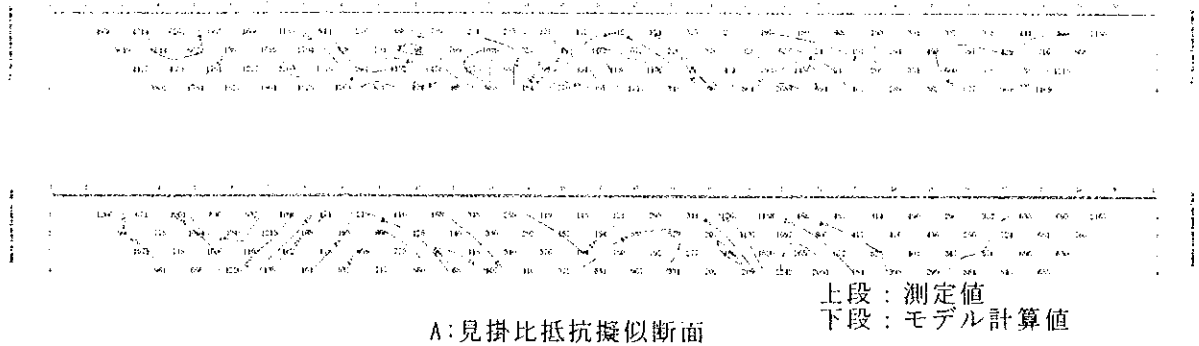


B: 充電率疑似断面  
 上段: 測定値  
 下段: モデル計算値

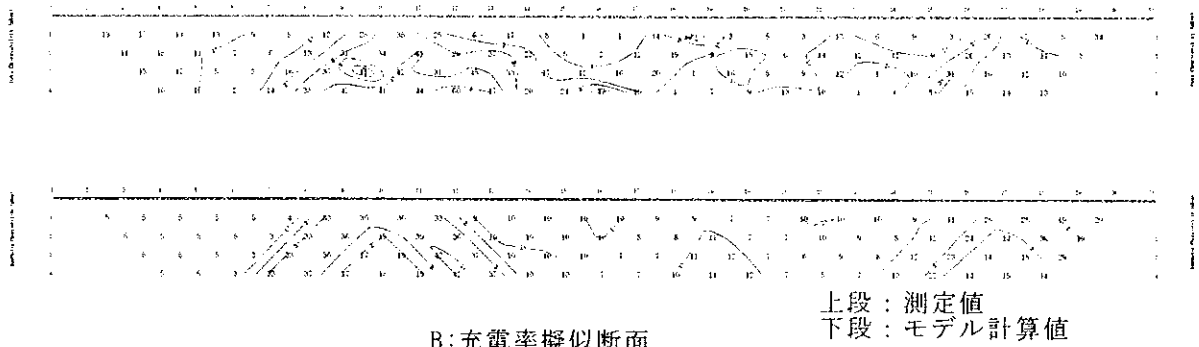


C: シミュレーションモデル

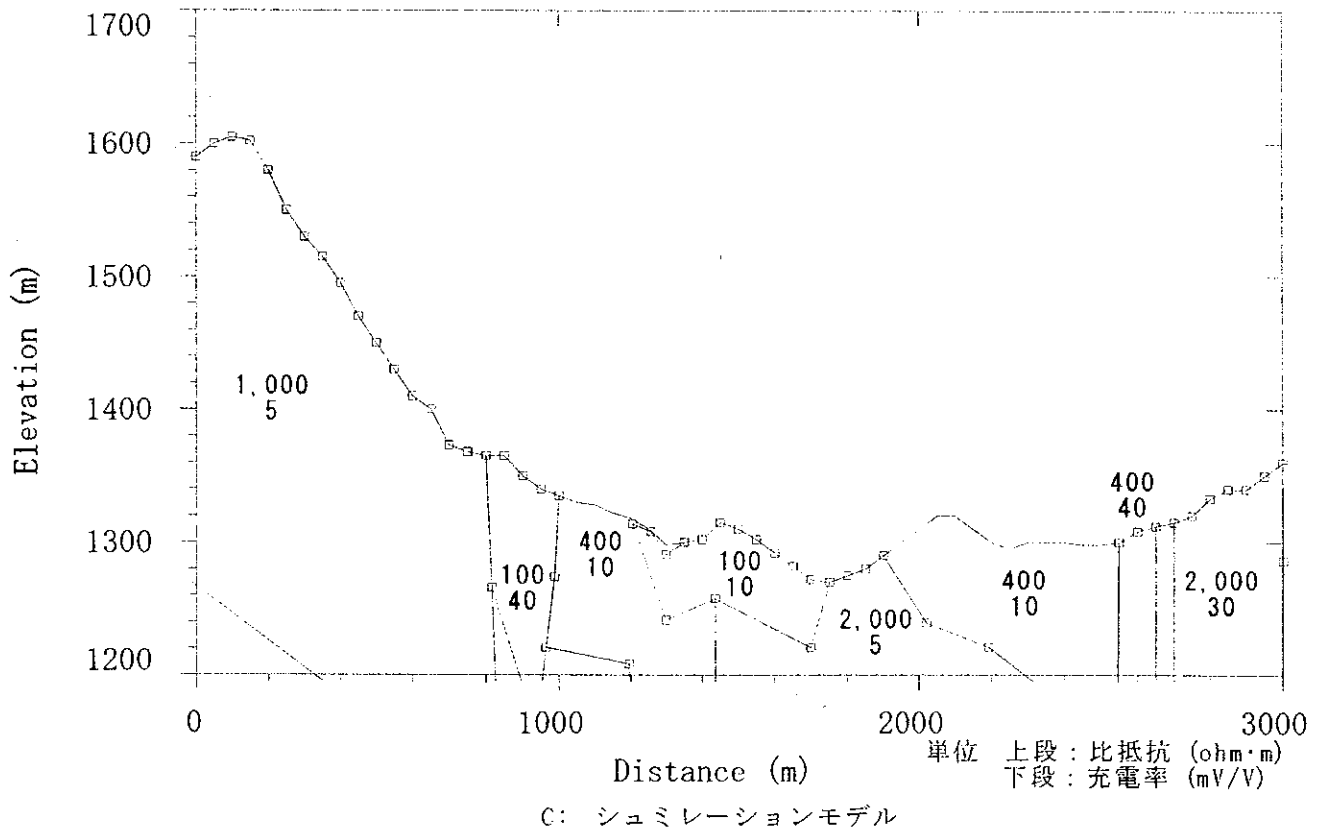
IPシュミレーション結果 (A17)



A: 見掛比抵抗擬似断面



B: 充電率擬似断面



IPシミュレーション結果 (A18)



卷末資料 9 TEM 2 次元フォワード計算結果

0

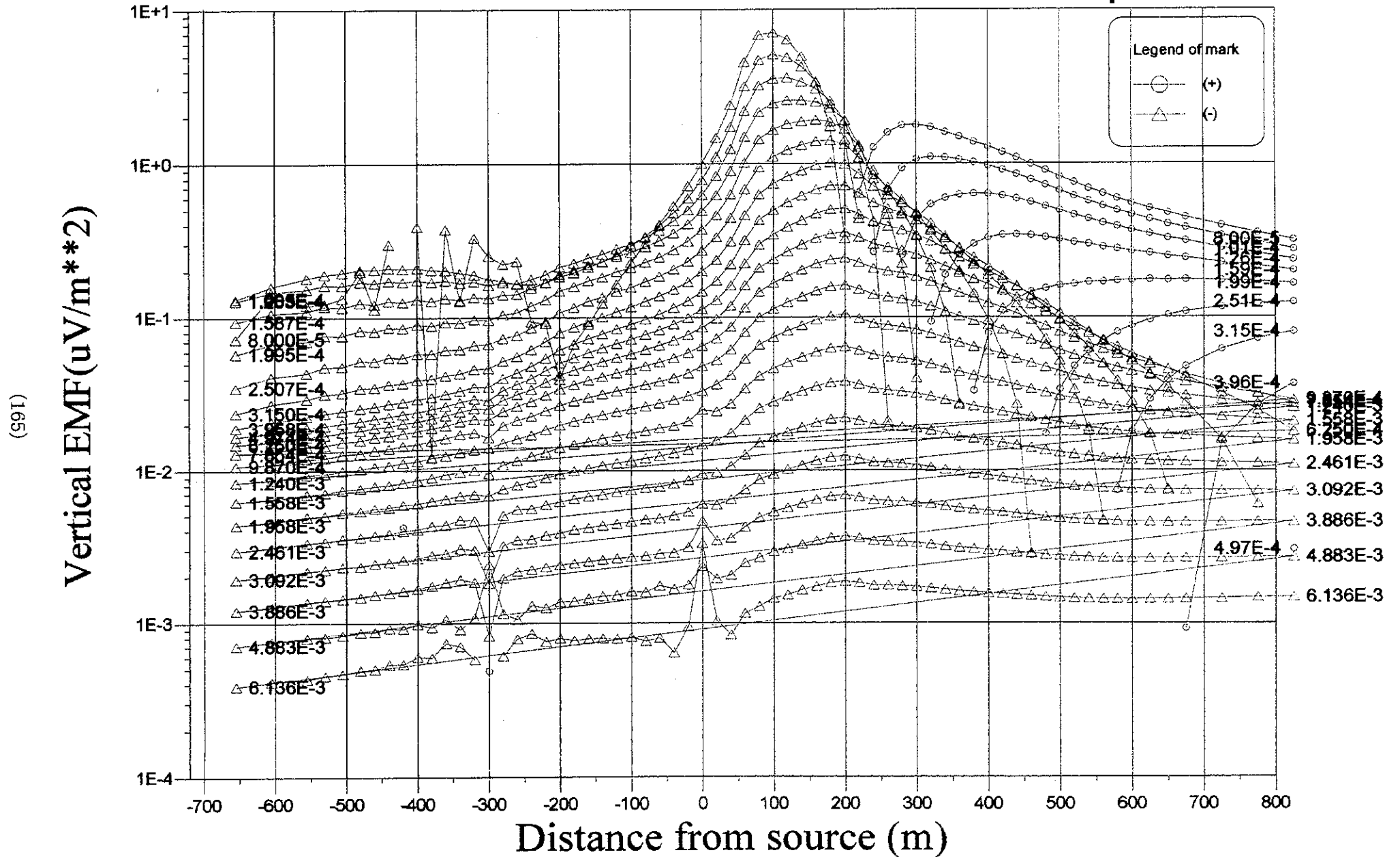
0

0



# MODEL a2-1

# x-component



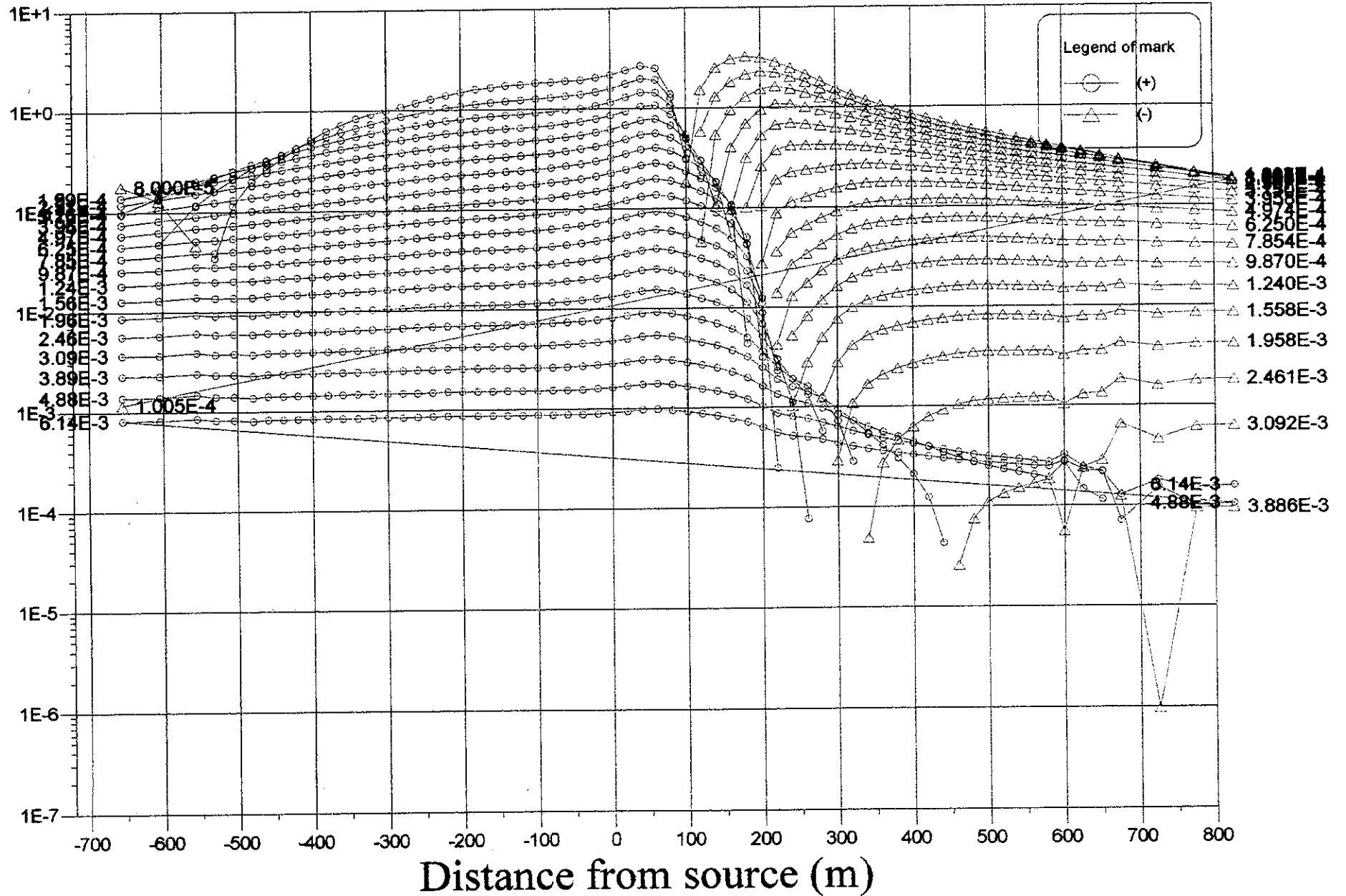


# MODEL a2-1

# z-component

(167)

Vertical EMF( $\mu\text{V}/\text{m}^2$ )





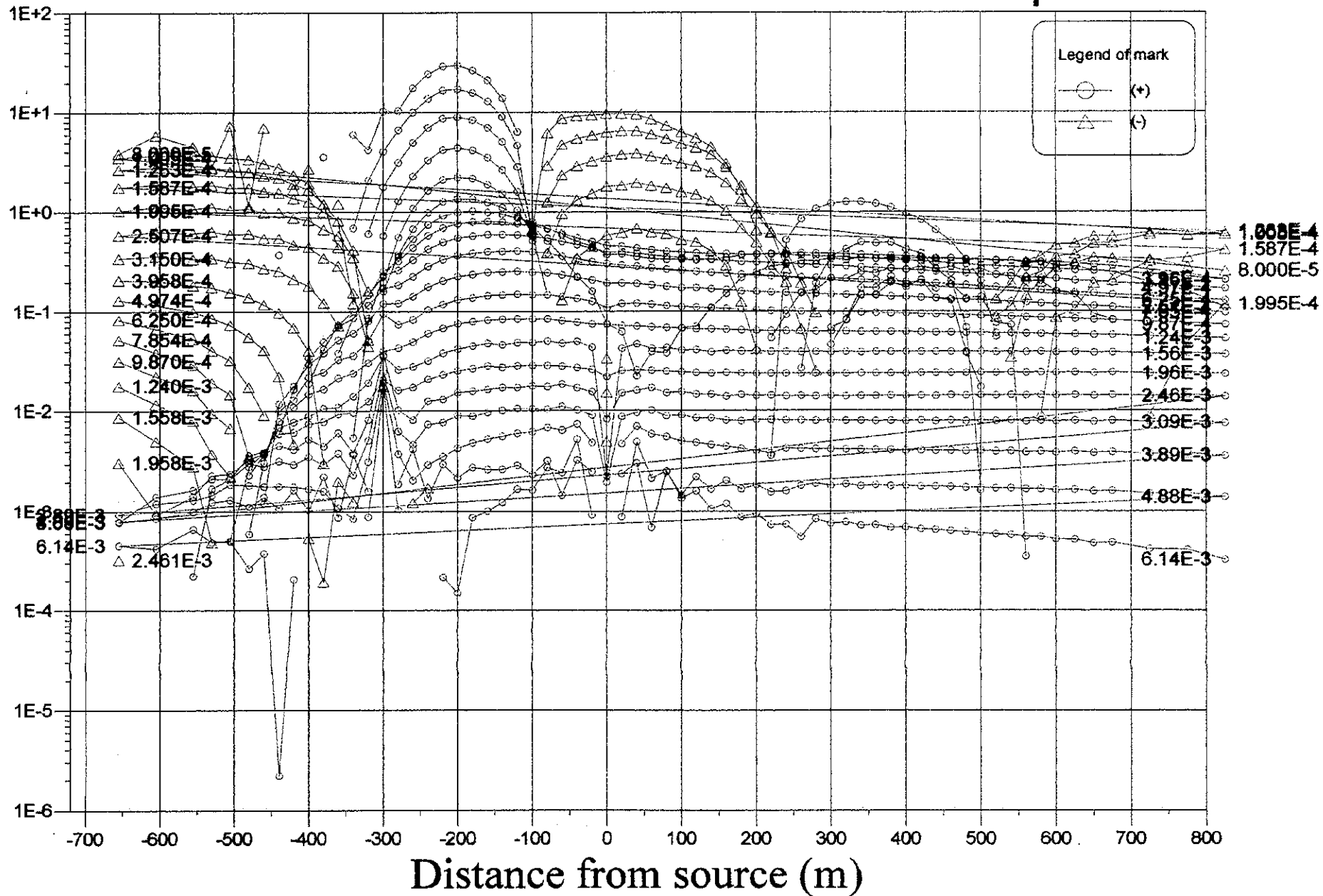
MODEL a4-1

Total H

x-component

(691)

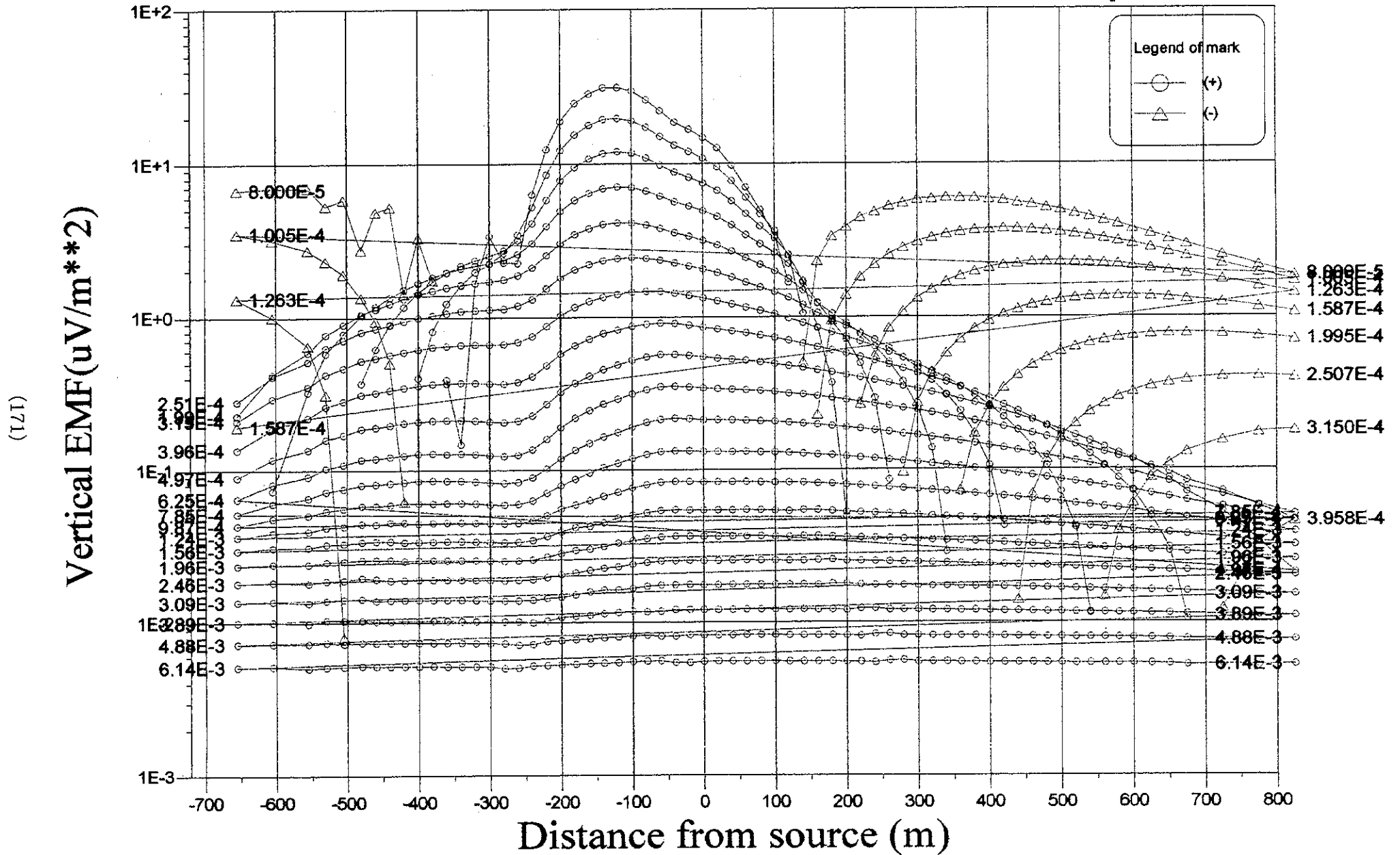
Vertical EMF(uV/m\*\*2)





# MODEL a4-1

# z-component



0

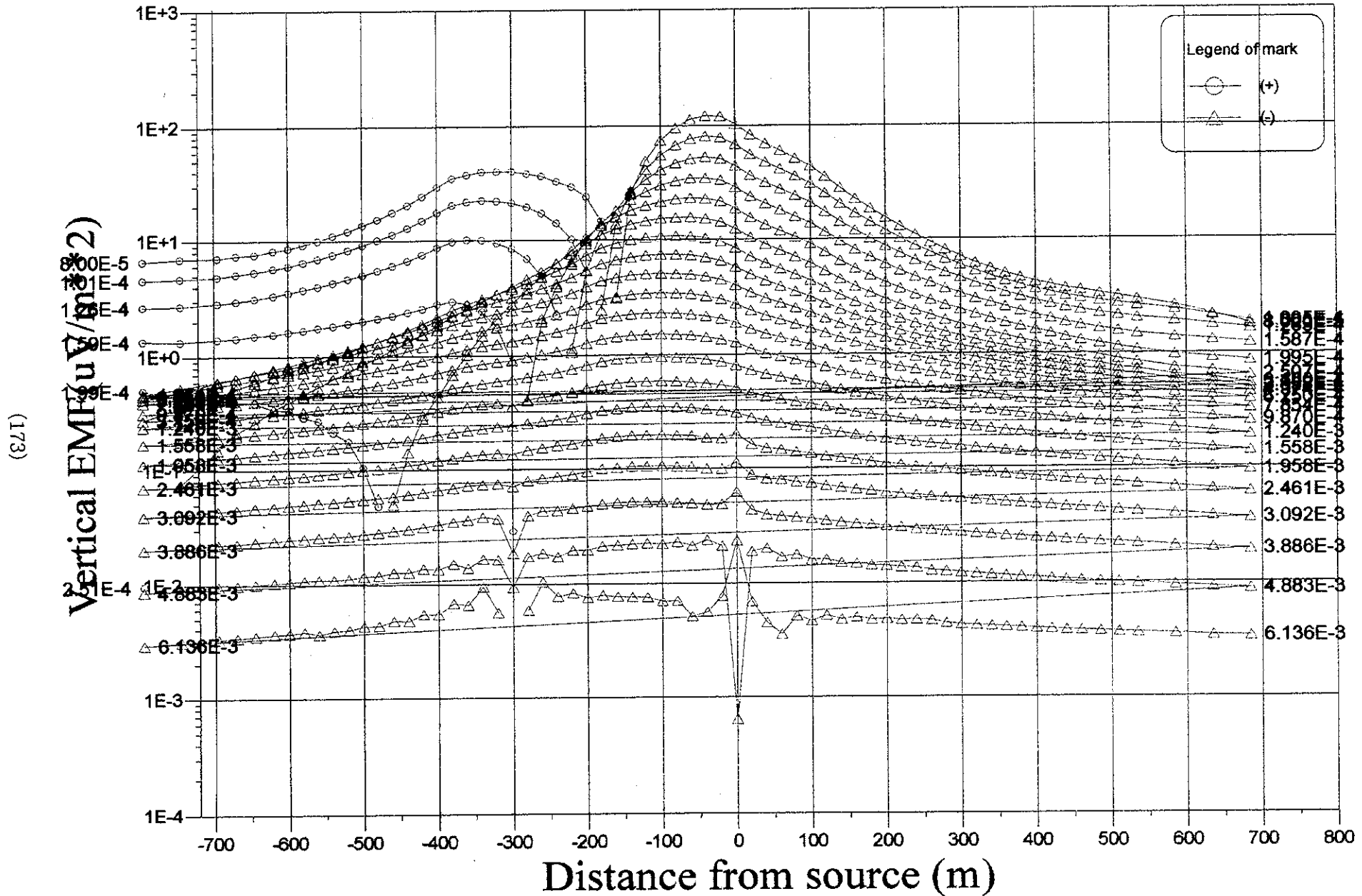
0

0



# MODEL a5-1

# x-component



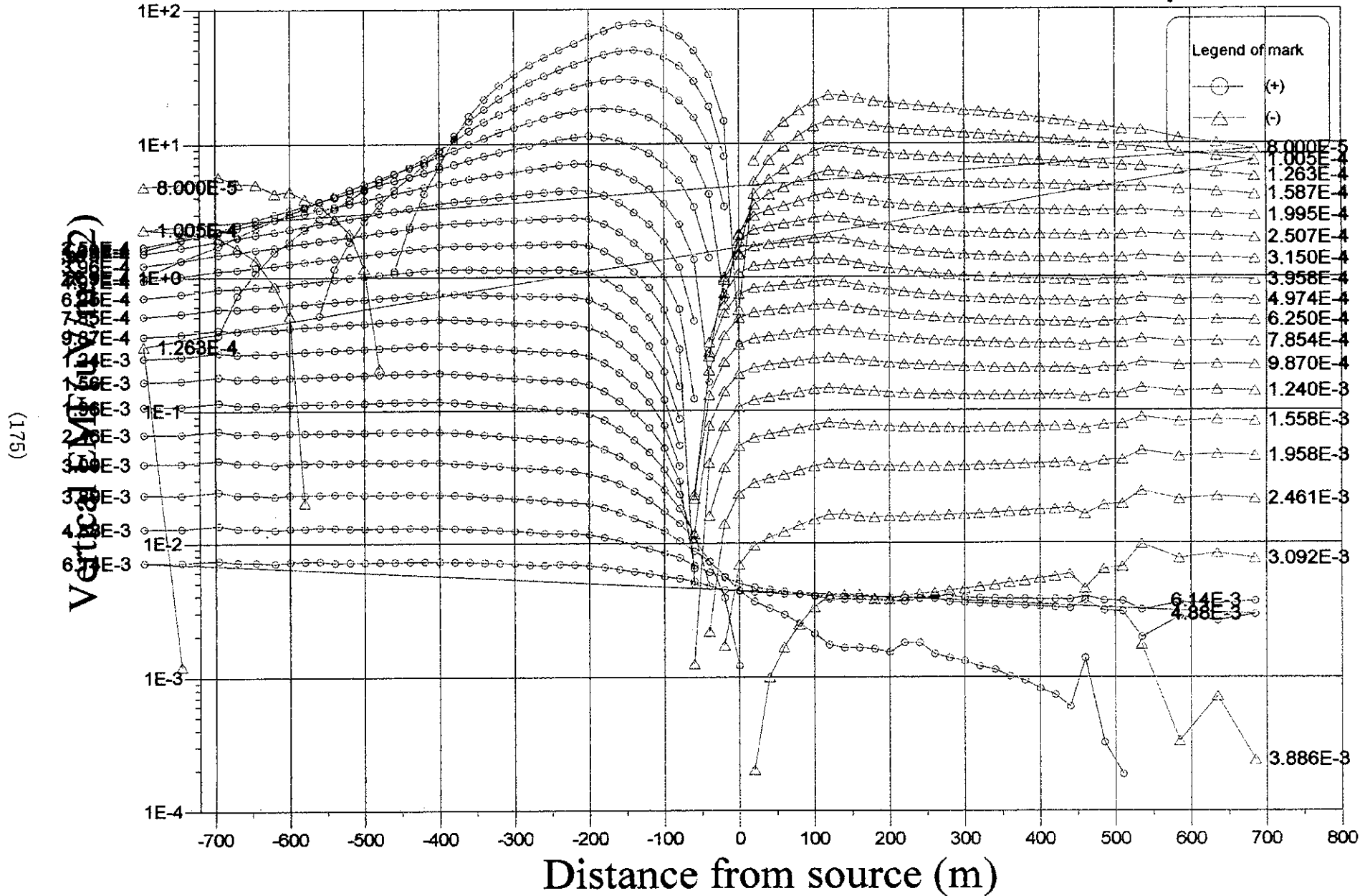
0

0

0

# MODEL a5-1

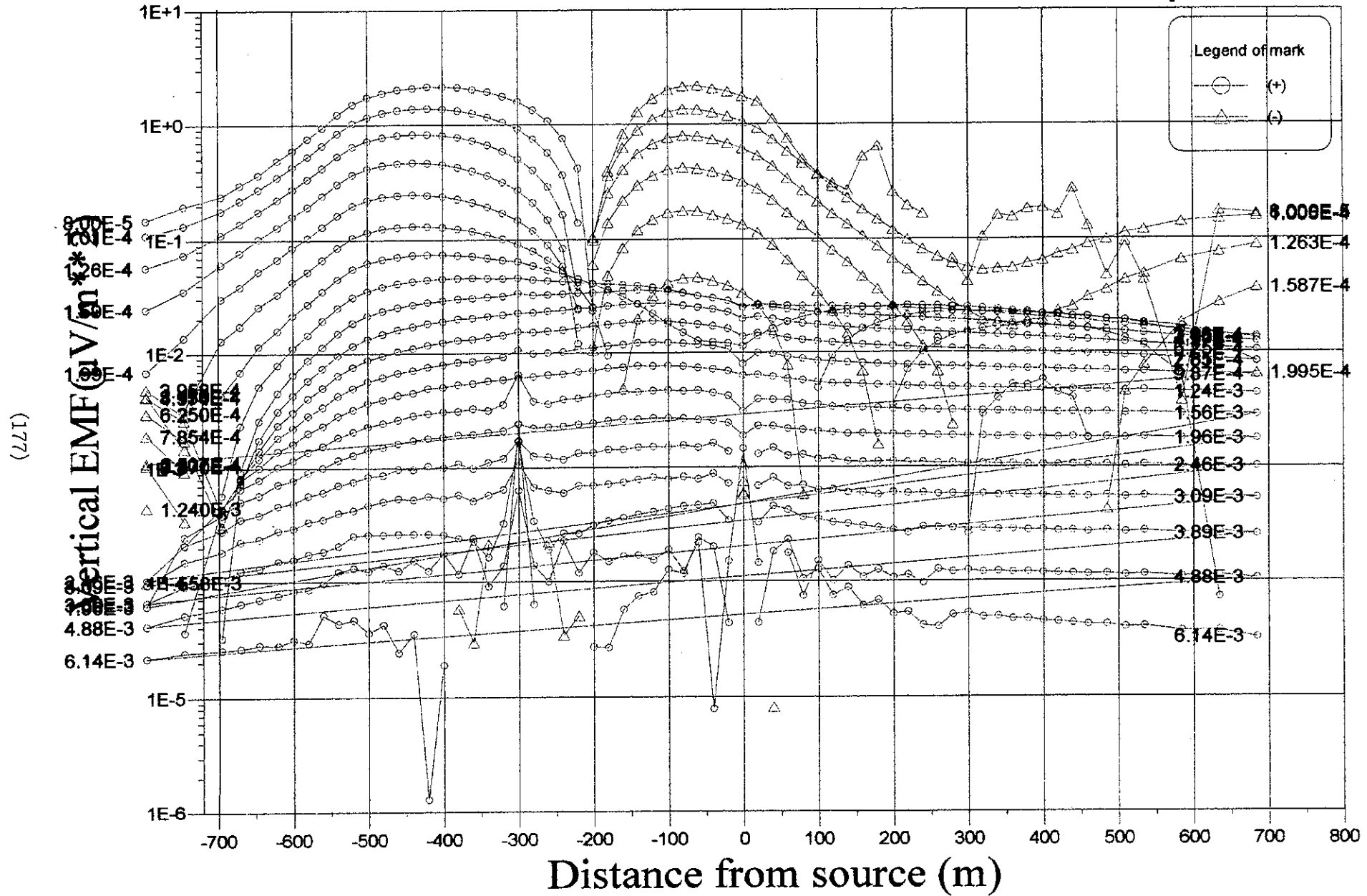
# z-component





# MODEL a7-1

# x-component



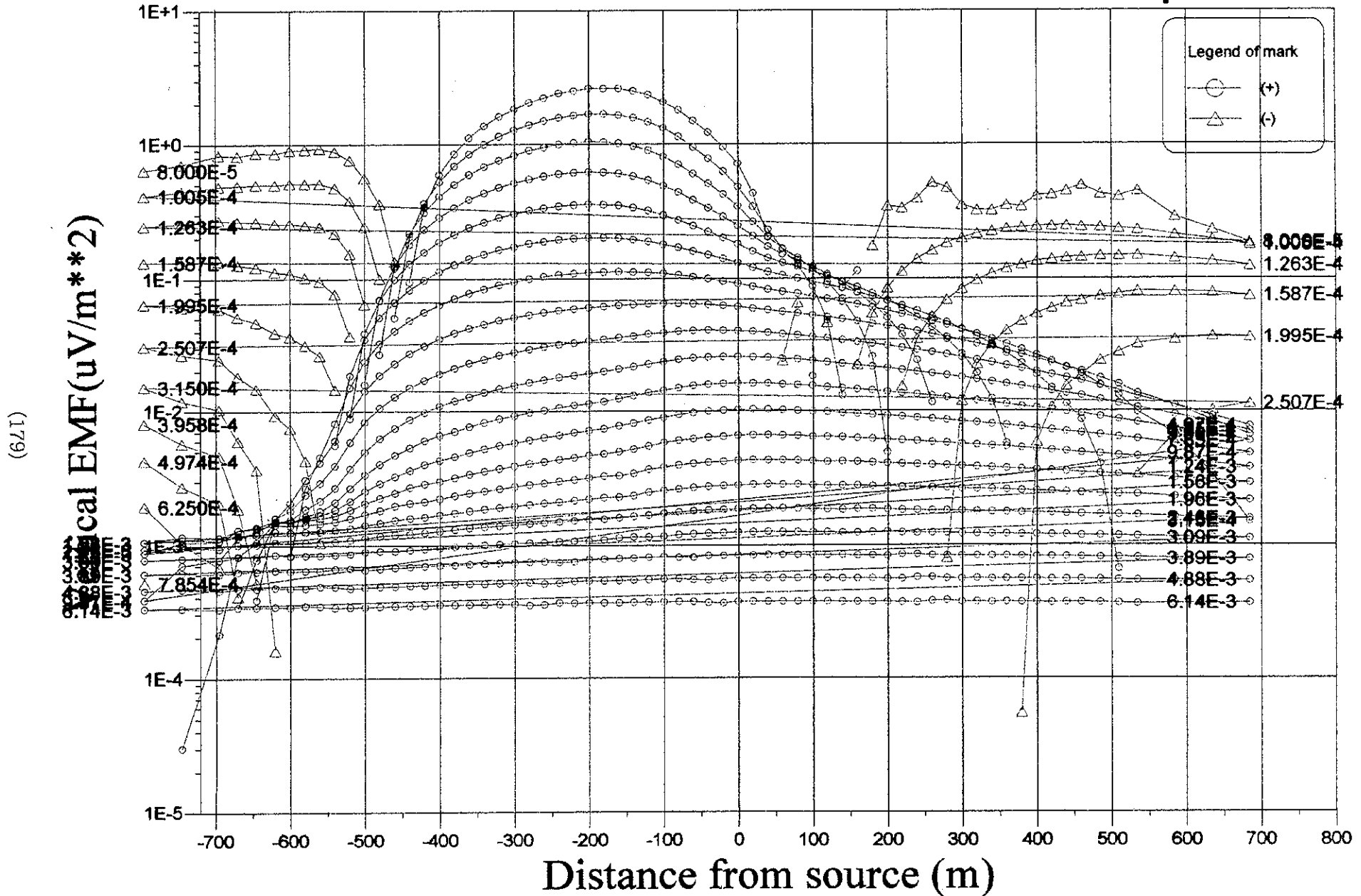
0

0

0

# MODEL a7-1

# z-component



5

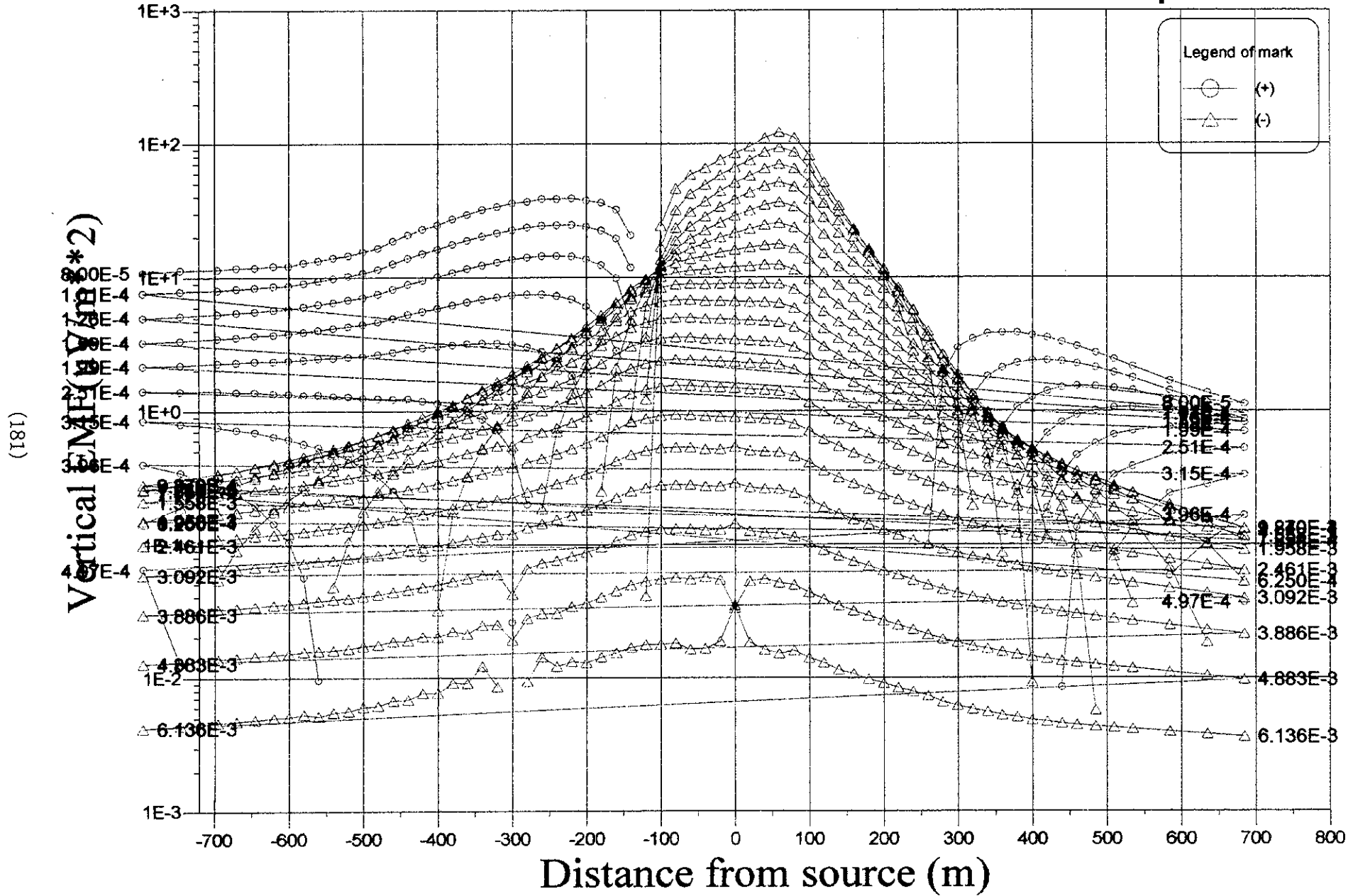
0

0



# MODEL a8-1

# x-component



0

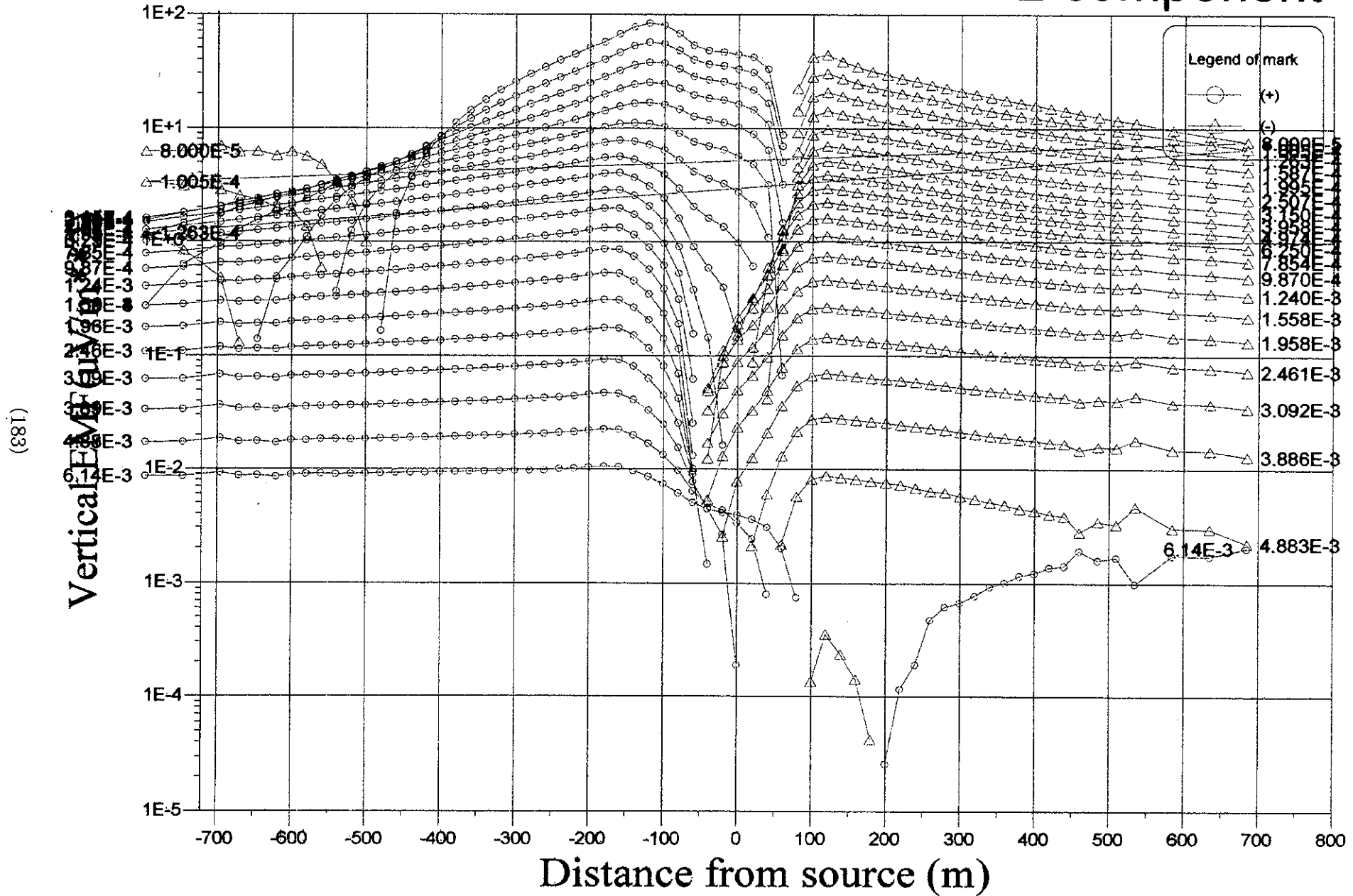
0

0

.....

# MODEL a8-1

# z-component



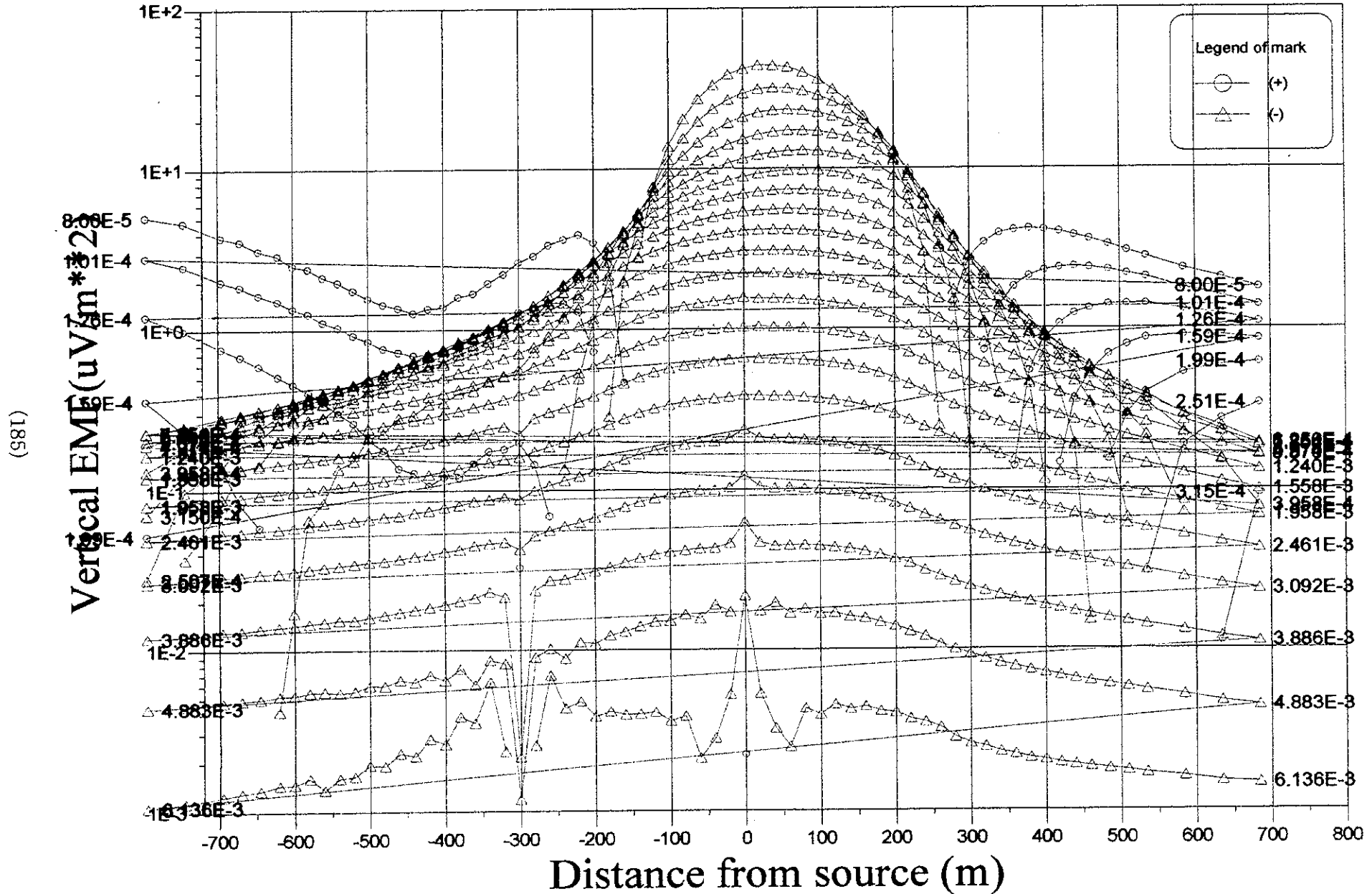
9

9

9

# MODEL a11-1

# x-component



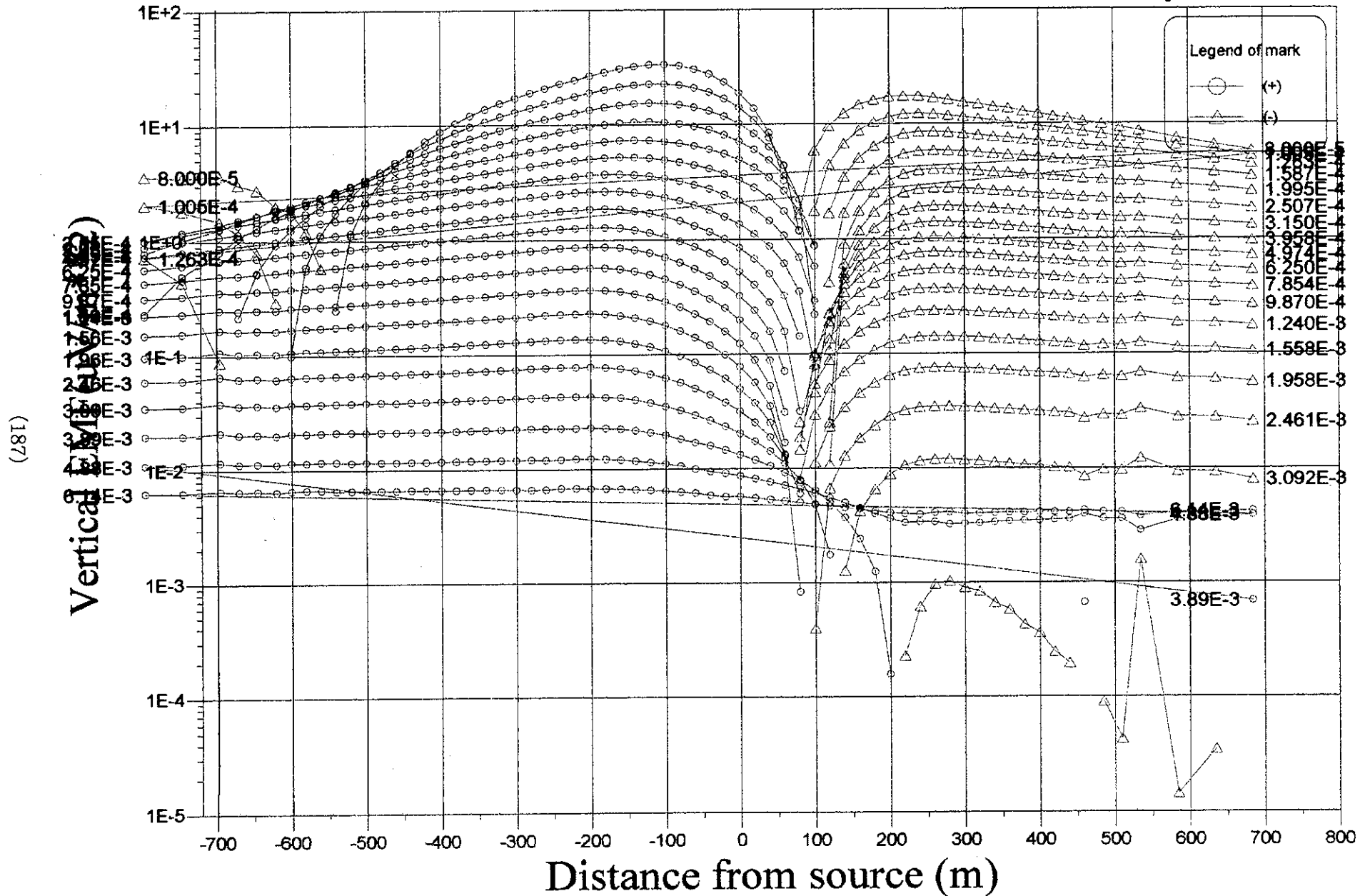
1

2

3

# MODEL a11-1

# Total H z-component

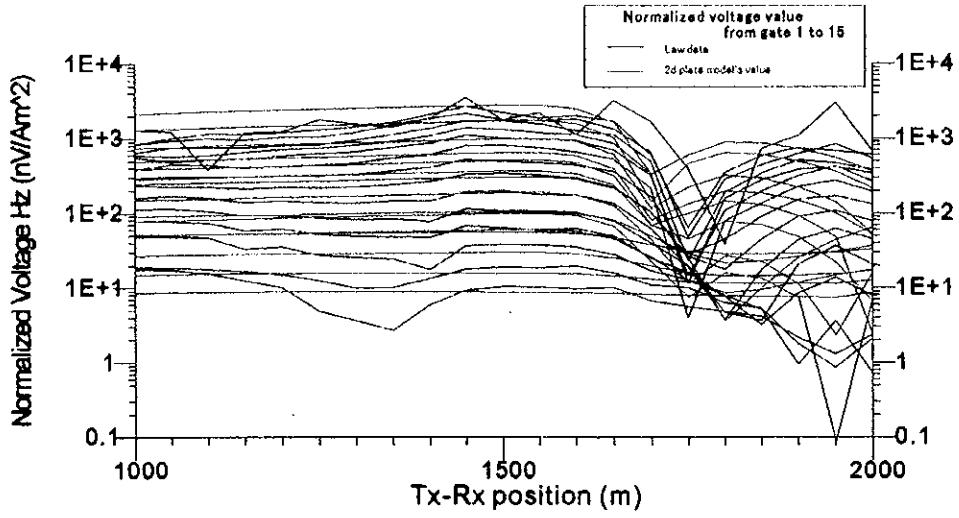




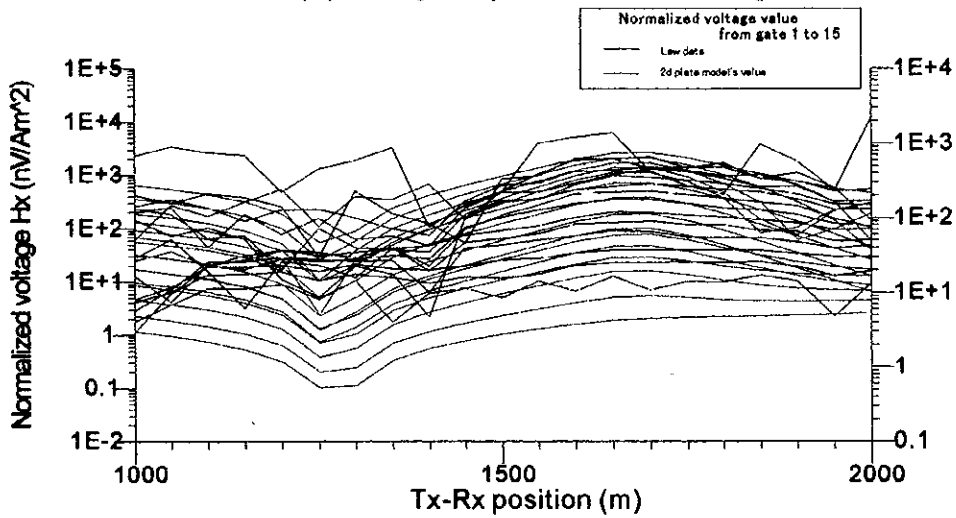


卷末資料 10 TEM 2次元プレート解析結果

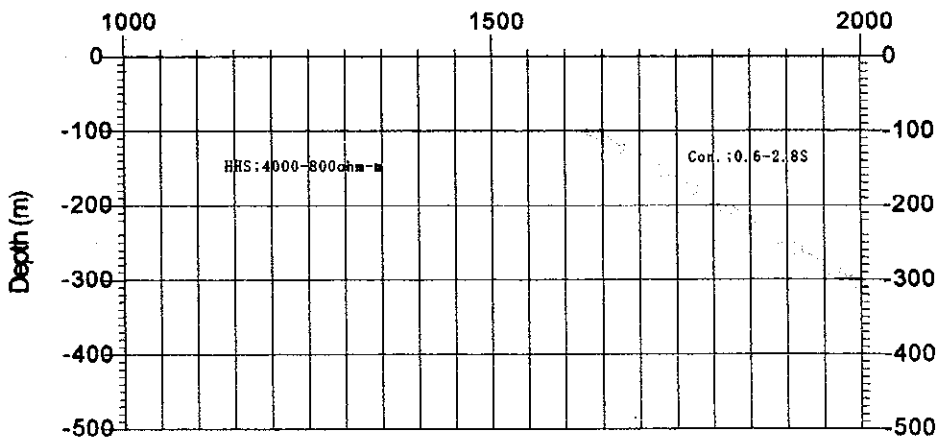




(a) Hz by 2d plate model analysis



(b) Hx by 2d plate model analysis



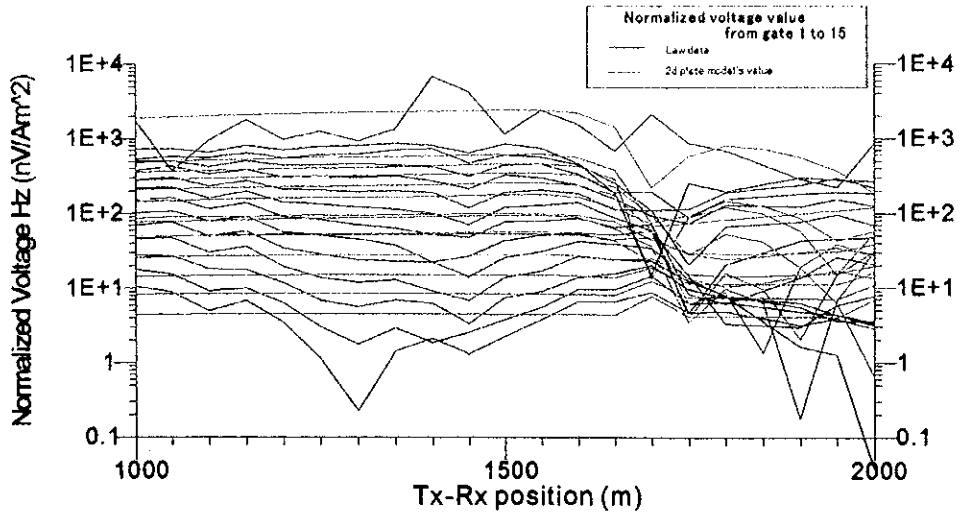
(c) Resistivity model

TEMプレートモデル解析結果(L2200)

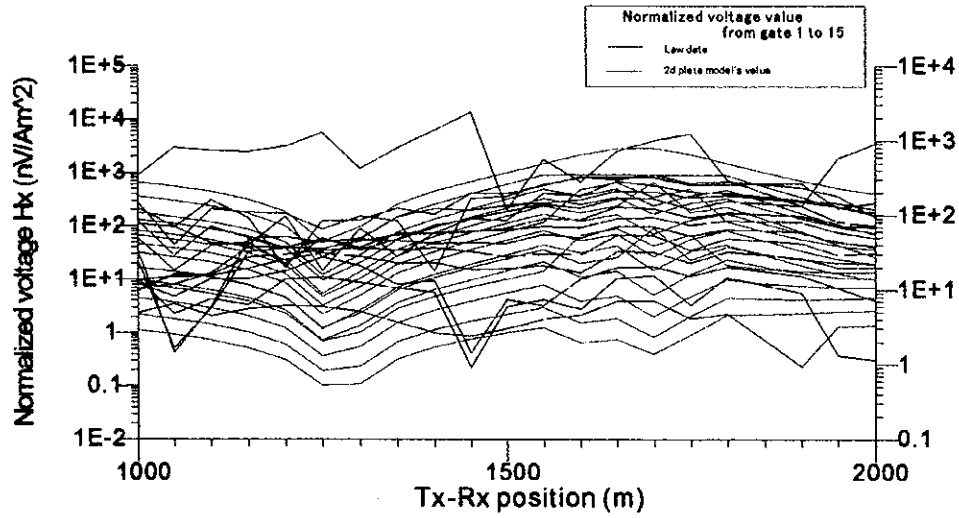
0

0

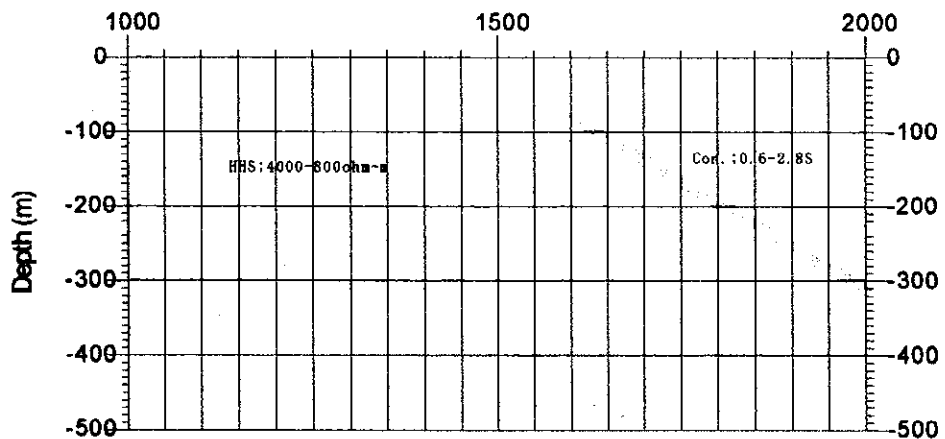
0



(a) Hz by 2d plate model analysis

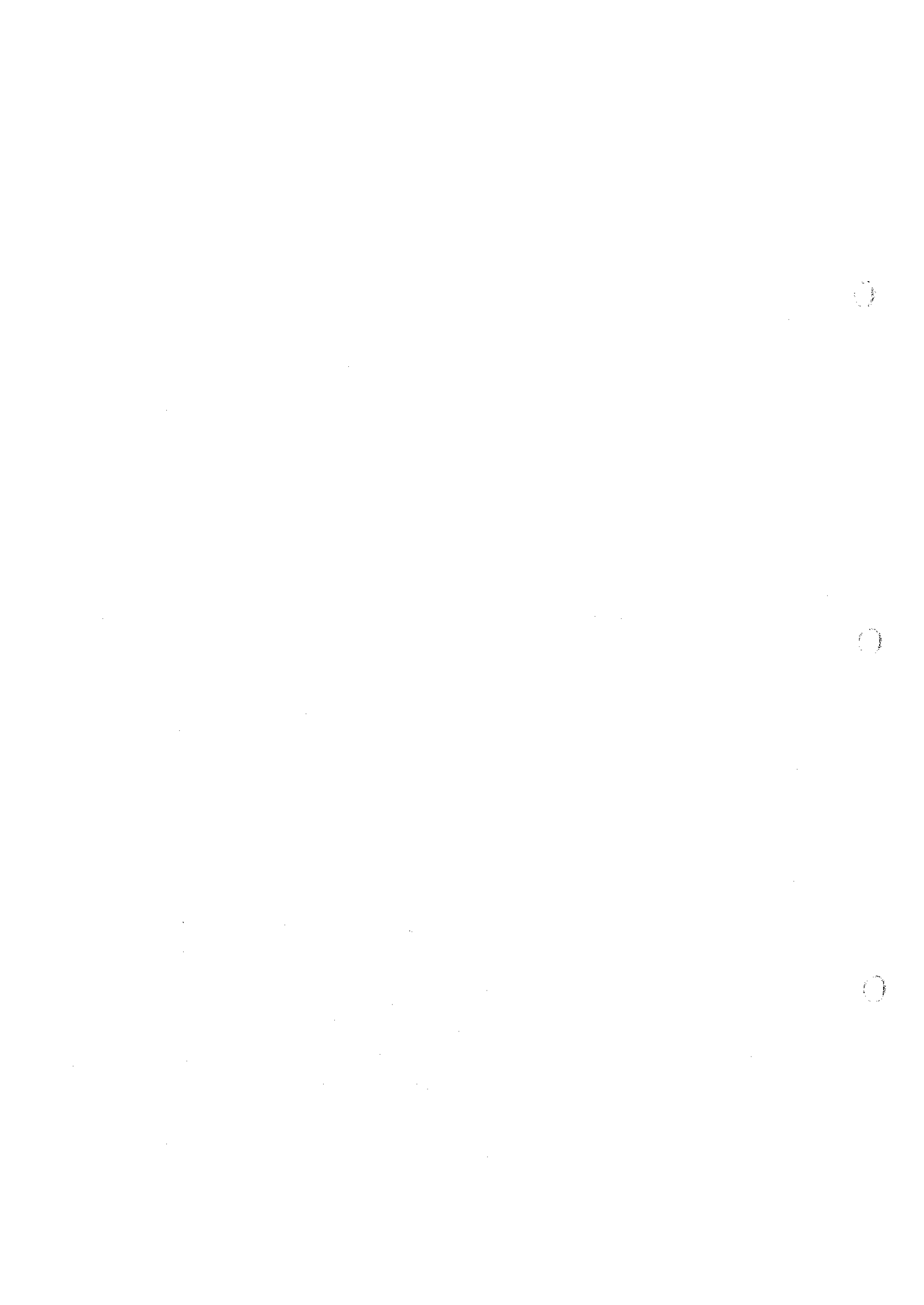


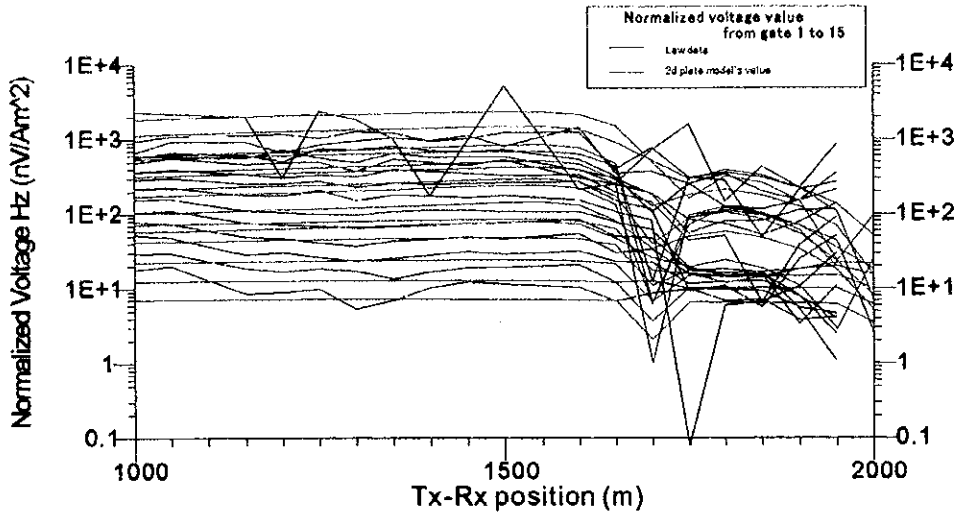
(b) Hx by 2d plate model analysis



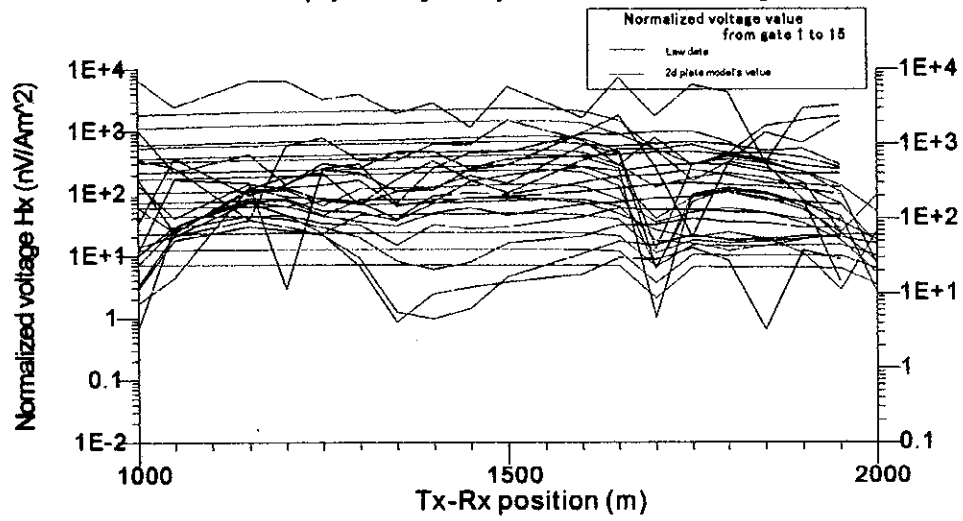
(c) Resistivity model

TEMプレートモデル解析結果(L2400))

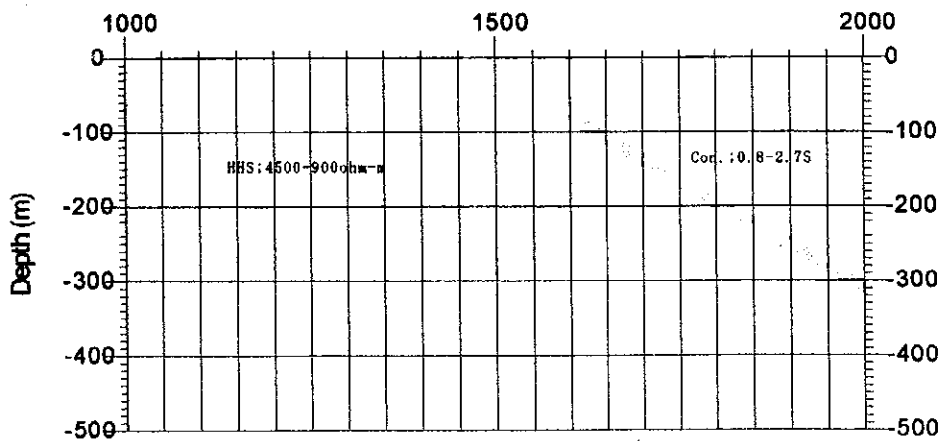




(a) Hz by 2d plate model analysis



(b) Hx by 2d plate model analysis

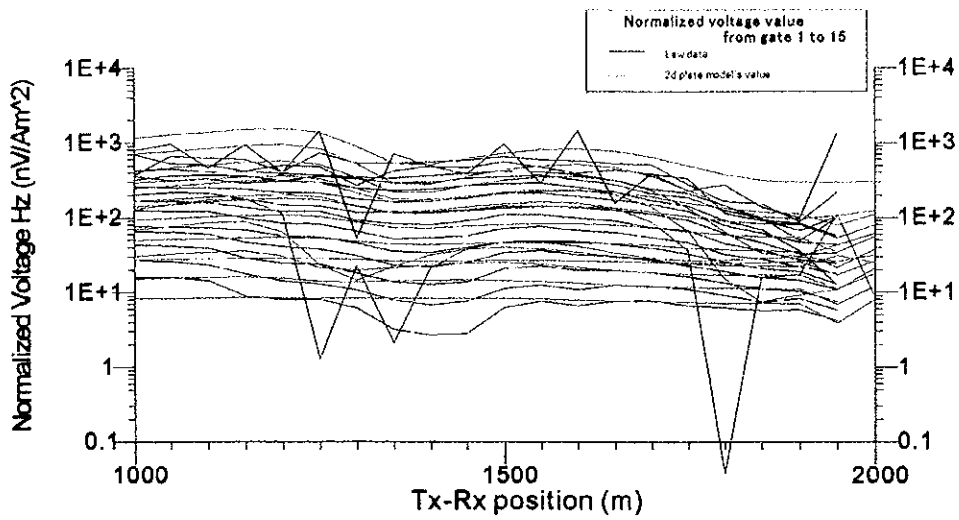


(c) Resistivity model

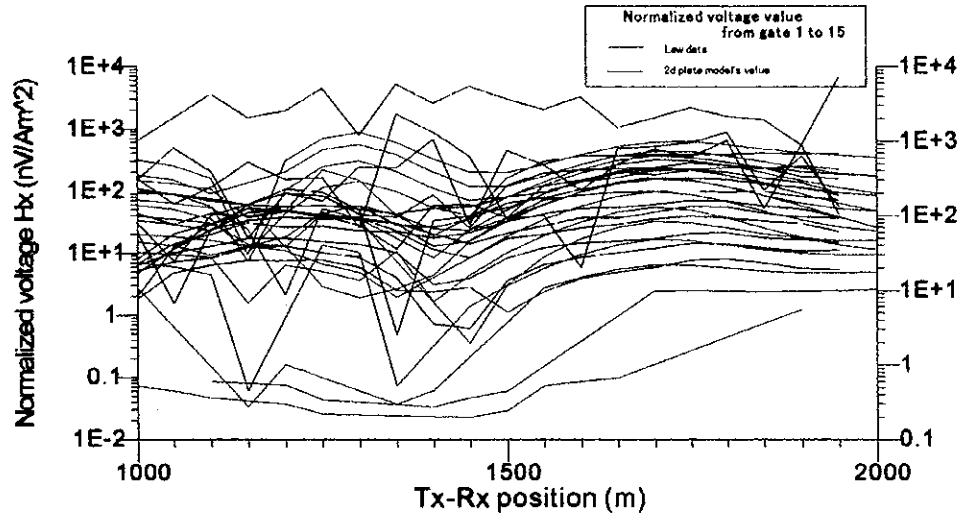
TEMプレートモデル解析結果(L2600)



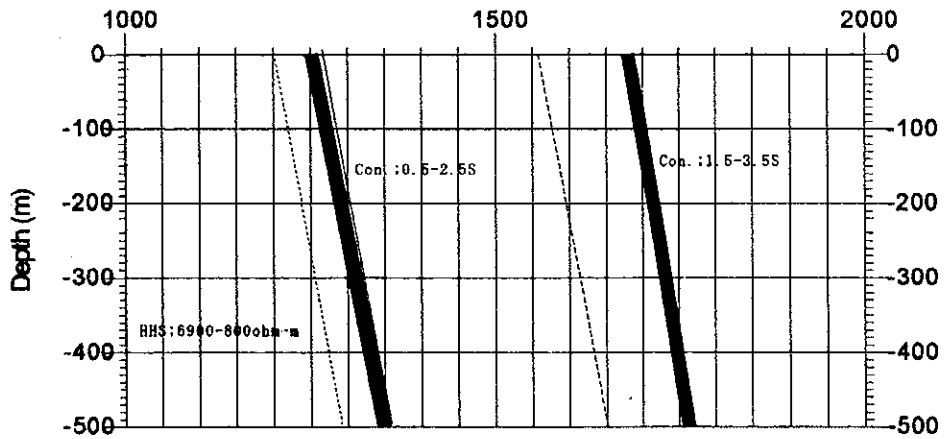




(a) Hz by 2d plate model analysis



(b) Hx by 2d plate model analysis



(c) Resistivity model

TEMプレートモデル解析結果(L2800)

0

0

0